

UNIVERSIDAD NACIONAL AUTÓNOMA DE MEXICO

FACULTAD DE INGENIERIA

**"ESTUDIO GEOLOGICO FINAL Y  
PRUEBAS DE PERMEABILIDAD  
DEL PROYECTO PARA PRESA DE  
ALMACENAMIENTO "CANOAS"  
MPIO. DE CANATLAN. EDO. DE  
DURANGO"**

**TESIS PROFESIONAL**  
**ISABEL GASCON VILLA**



**UNAM – Dirección General de Bibliotecas**

**Tesis Digitales**  
**Restricciones de uso**

**DERECHOS RESERVADOS ©**  
**PROHIBIDA SU REPRODUCCIÓN TOTAL O PARCIAL**

Todo el material contenido en esta tesis está protegido por la Ley Federal del Derecho de Autor (LFDA) de los Estados Unidos Mexicanos (Méjico).

El uso de imágenes, fragmentos de videos, y demás material que sea objeto de protección de los derechos de autor, será exclusivamente para fines educativos e informativos y deberá citar la fuente donde la obtuvo mencionando el autor o autores. Cualquier uso distinto como el lucro, reproducción, edición o modificación, será perseguido y sancionado por el respectivo titular de los Derechos de Autor.

# **TESIS CON FALLA DE ORIGEN**

I N D I C E.

	PAGINA.
I.- INTRODUCCION.	1
II.- ANTECEDENTES.	2
III.- SITUACION GEOGRAFICA Y VIAS DE COMUNICACION.	3
IV.- CLIMA, SUELOS Y VEGETACION.	4
V.- FISIOGRAFIA.	7
V.1.- GLOMORFOLOGIA.	10
V.1.1.- OROGRAFIA.	10
V.1.2.- HIDROGRAFIA.	11
V.2.- GEOMORFOLOGIA LOCAL.	15
VI.- GEOLOGIA REGIONAL.	17
VII.- GEOLOGIA DE LA BOQUILLA.	19
VIII.- PROGRAMA DE EXPLORACIONES.	22
VIII.1.- PROGRAMA DE EXPLORACIONES PRO- PUESTO.	23
VIII.2.- PROGRAMA DE EXPLORACIONES REA- LIZADO.	24
VIII.3.- POZOS A CIELO ABIERTO REALI- ZADOS SOBRE EL VERTEDOR.	25
IX.- RESULTADO DE LAS EXPLORACIONES.	26
IX.1.- RESULTADOS DE LAS EXPLORACIO- NES SOBRE EL EN DE LA BOQUI- LLA.	26
IX.2.- RESULTADO DE LOS POZOS A CIELO ABIERTO SOBRE EL VERTEDOR.	38
X.- PRUEBAS DE PERMEABILIDAD.	42
X.1.- RESULTADO DE LAS PRUEBAS DE PERMEABILIDAD.	44

PAGINA.

XI.-	CONCLUSIONES Y RECOMENDACIONES, - - - - -	54
	BIBLIOGRAFIA, - - - - -	58

## I.- INTRODUCCION.

El agua y la tierra han formado parte de los dioses del hombre. En diferentes manifestaciones culturales de los antiguos, se establece esta relación mítica entre el hombre y la naturaleza.

Las religiones primitivas con más lógica que las de mayor elaboración, consideraban a la tierra como diosa, lo mismo que el agua y partían de la idea elemental de que sin tierra y sin agua no se puede vivir. Se puede vivir sin imágenes, sin santos, sin virgenes, pero sin los elementos fundamentales de la naturaleza no; así razonaban los antiguos pueblosadores de la humanidad.....

## II.- ANTECEDENTES.

En el área del proyecto "Canoas", se efectuó con anterioridad el estudio geológico de la boquilla y el vaso de almacenamiento denominado "Caborca", sobre el mismo río "La Sauceda" a 1 km aguas abajo, fue desechada debido a que no reunía condiciones apropiadas, ya que resultó muy permeable la boquilla y la margen derecha del vaso, siendo el espesor máximo de los acarreos de 26.10 m, por lo que se cambió a la alternativa "Canoas".

Los datos generales del proyecto\* "Canoas", son los siguientes:

Tipo de cortina.- Materiales graduados.

Altura de la cortina.- 32.00 m.

Longitud de la cortina.- 360.25 m.

Capacidad de almacenamiento.- 47,000,000.00 m<sup>3</sup>.

Área por beneficiar.- 2,863 Has.

(\*).- Los datos del proyecto fueron proporcionados por la Residencia General de Obras Hidráulicas e Ingeniería Agrícola para el Desarrollo Rural de la Secretaría de Agricultura y Recursos Hidráulicos en el Estado.

### III.- SITUACION GEOGRAFICA Y VIAS DE COMUNICACION.

El área de estudio se localiza a 54 km al noreste directamente, en línea recta al Noroeste de la ciudad de Durango, con las coordenadas geográficas del sitio\*, con las siguientes:

Latitud Norte.. 24°51'

Lengitud al Oeste del Meridiano de Greenwich. 102°43'.

El acceso se efectúa partiendo de la ciudad de Durango hacia el Norte, por la carretera federal Núm. 45, hasta el km 1,001. De este punto se gira a la izquierda, tomandose la carretera federal Núm. 28, sobre la que se recorren 14 kms, hasta llegar al pueblo de Carrizalito de esta población, hacia el Noroeste y mediante un recorrido de 4,5 kms por una brecha, se llega a la boquilla por la maraña derecha.

(\*). Las coordenadas geográficas fueron tomadas del mapa de carreteras de la República Mexicana, escala 1:1000,000



EDO. DE DURANGO

CAPITAL

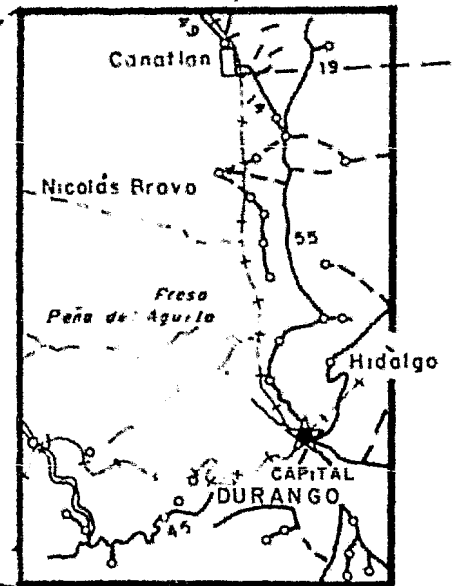
GOLFO  
DE  
MEXICO

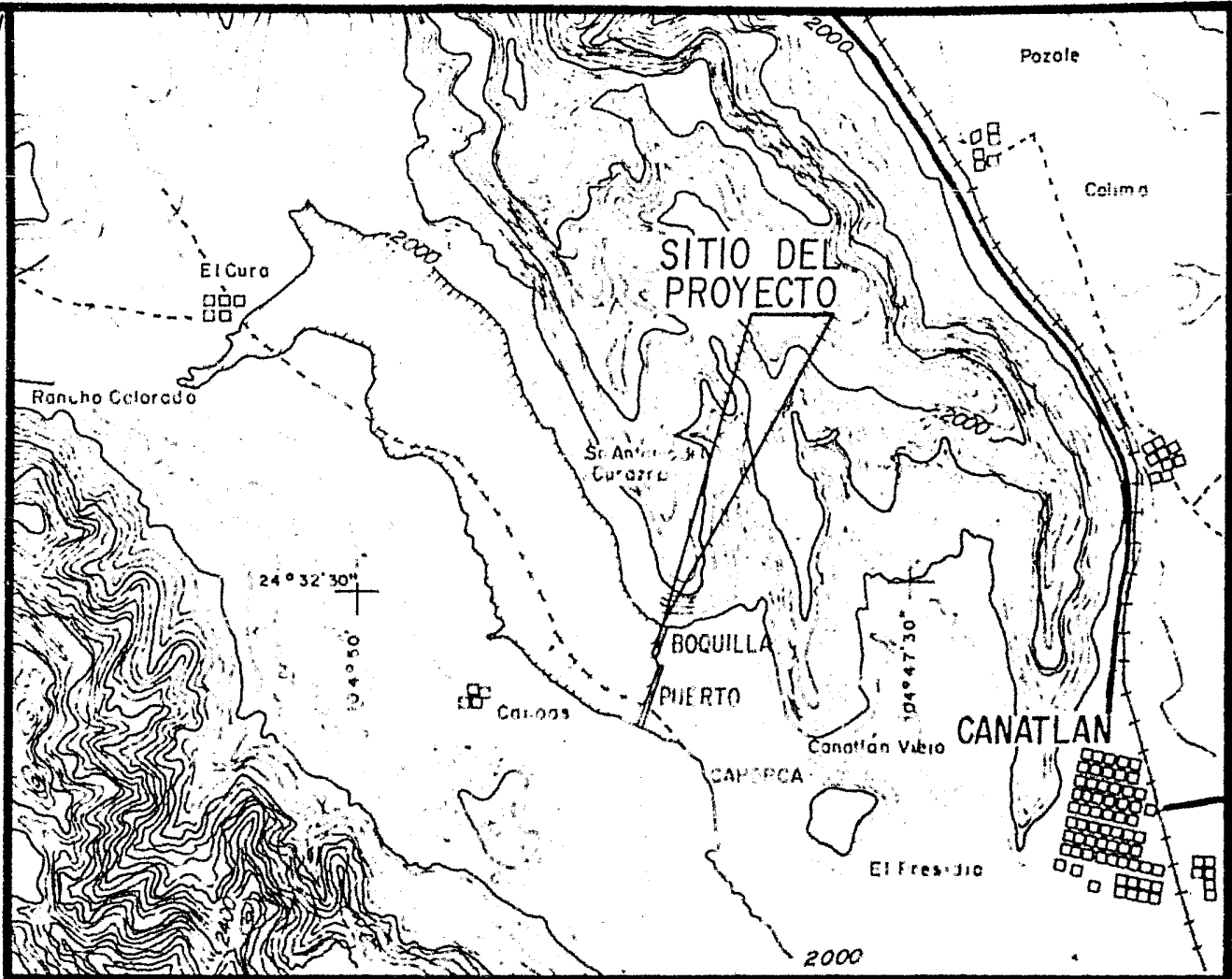
## SITIO DEL PROYECTO

SITIO DEL PROYECTO

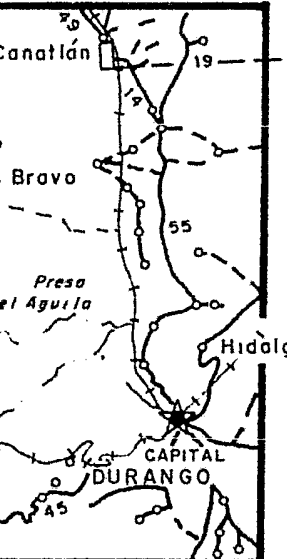
CAPITAL  
DURANGO

EDO. DE DURANGO





ESCALA 1:50.000



		UNIVERSIDAD NACIONAL AUTONOMA DE MEXICO		
FACULTAD DE INGENIERIA				
TESIS PARA OBTENER EL TITULO DE INGENIERO GEOLOGO				
PROYECTO "CANOAS" Mpio. de Canatlán, Dgo. LOCALIZACION				
REALIZO:		APROBO:		
ISABEL GASCON VILLA		ING. SALVADOR MARIN CORDOVA		
FECHA:		ESCALA:		PLANO No.

#### IV.- CLIMA, SUELOS Y VEGETACION.

El clima predominante en la zona de estudio es semiseco-templado, ya que la temperatura media anual es de 17°C, alcanzando la máxima extrema de 33° en el mes de mayo y la mínima extrema de -6° en el mes de diciembre. Existe una evapotranspiración promedio anual de 2,102 mm y una precipitación anual de 587 mm, lo que equivale sólo al 27.92% de lo que se evapora.\*

El número de meses al año con el suelo húmedo para cultivar la tierra, es de 7 meses (de julio a enero).

Los suelos localizados dentro del área de estudio, son de zonas áridas y semiáridas.

Sobre las márgenes, se encuentran suelos de espesores pequeños, aproximadamente de 10 cms sobre la roca, los cuales no son aptos para cultivos de ningún tipo y sólo pueden destinarse al pastoreo, ya que tiene una textura arenosa y contiene fragmentos de roca.

Sobre el cauce encontramos suelos de origen aluvial, -- ocasionalmente cubiertos con una capa superficial de color claro, que puede ser o no pobre en materia orgánica; tiene -

una textura lino-arenosa o lomosa con retención de agua y nutrientes, contiene fragmentos de rocas; su fertilidad es muy variable, ya que los cultivos en los suelos fértilles, dependen más del clima que de las características del suelo.

En la parte final del vaso, se encuentran suelos compuestos de una capa superficial blanca de color obscuro, su contenido de nutrientes es moderado. Con agua son capaces de generar una elevada producción agrícola.\*\*

La vegetación predominante es de tipo aramineido. Se encuentra en la zona de estudio como producto natural de los efectos del clima, del suelo y de las condiciones ecológicas del lugar.

Los pastizales cubren una franja angosta al pie de las sierras, en un suelo de textura lino-arenosa bien drenado, sobre los declives de baja pendiente.

Aunque la cubierta vegetal suaviza una amplia alfombra monótona que se extiende sobre las llanuras y las colinas, en realidad su composición y asociaciones menores varían en forma marcada dentro de ciertas áreas limitadas, como son el zacate navajita, el zacate banderilla, aña de gato, plantas de tipo arbustivo, especies catáceas bajas poco visibles entre las cepas de los zacates y las piedras.

En algunas márgenes de los arroyos, es posible observar álamos, sauce, nogales, manzanos, además de ahuecuetes.\*\*\*

(\*). Los datos climatológicos fueron obtenidos en el Meteorológico Nacional.

(\*\*). Los datos edafológicos fueron obtenidos en la Carta Edafológica realizada por DIFENAL.

(\*\*\*) .- Los datos sobre la vegetación fueron tomados del -  
Inventario Forestal Nacional de México, en el In-  
forme sobre el estado de Durango.

#### V.- FISIOGRAFIA.

El área de estudio se encuentra en la Provincia Fisiográfica y Geológica denominada Sierra Madre Occidental.

Esta provincia es una de las más grandes de la República Mexicana. Tiene una superficie aproximada de 250,000 kms<sup>2</sup> orientada en la dirección Noroeste-Sureste, en una longitud de 1,400 kms y con promedio de unos 200 kms de ancho, alcanzando en algunos lugares hasta 300 kms. Su altura media es más o menos 2,100 a 2,200 m, a excepción de picos hasta de 3,000 m sobre el nivel del mar.

La Sierra en México está limitada al Norte por la Línea Internacional con los Estados Unidos de Norteamérica, al Noroeste por la provincia Chihuahua y sub-provincia Sierra de Torreón-Monterrey, al Sureste por el Altiplano Mexicano (Me sa Central), al Sur por el Eje Neovolcánico, al Sur oeste por la Planicie Costera del Océano Pacífico, al Noroeste por la provincia Sonora.

En general, la Sierra Madre Occidental está formada principalmente por rocas ígneas extrusivas de edad Terciaria, cubriendo y sepultando otras masas ígneas más antiguas. La

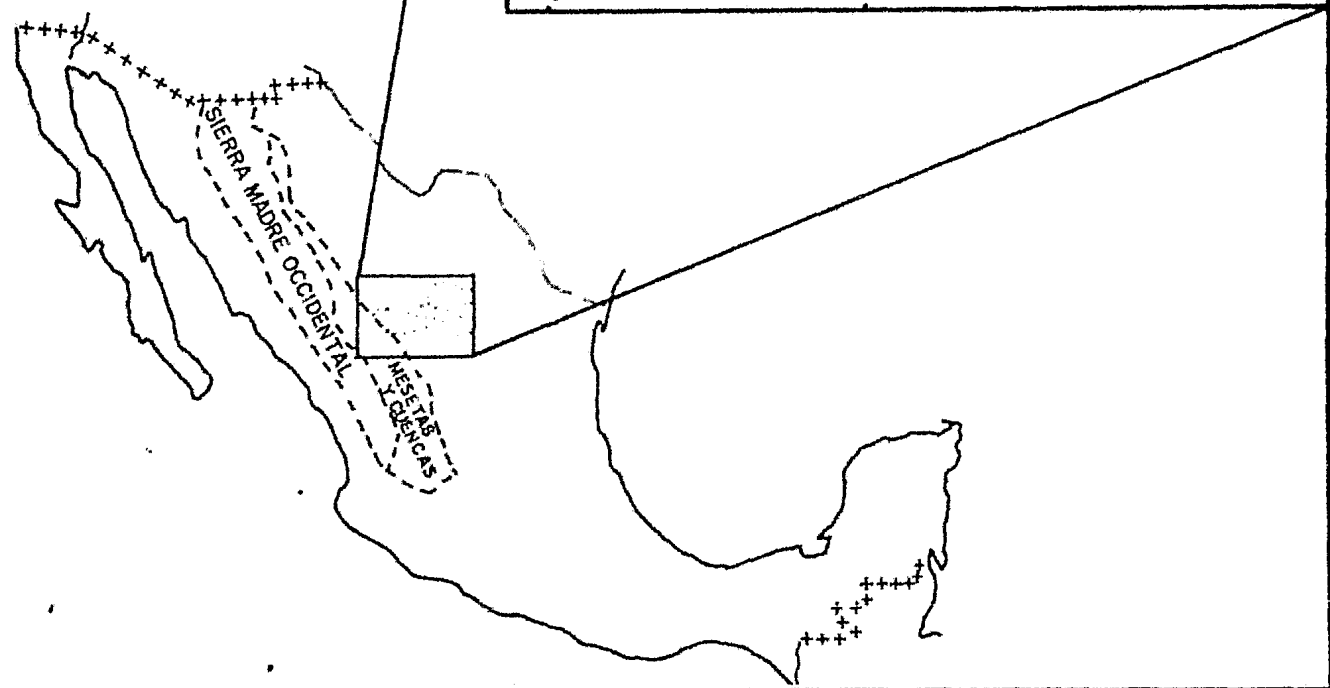
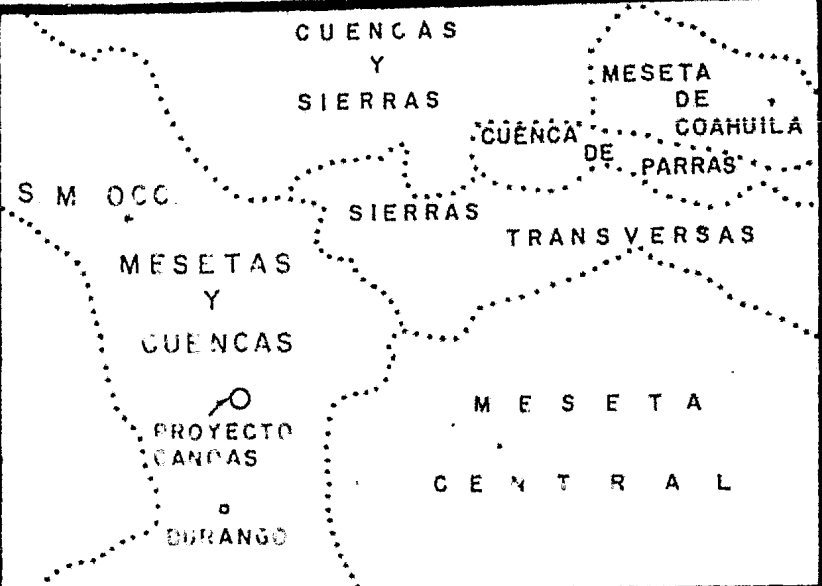
secuencia superior es dominante mente nictoclastica ríolítica y deben haberse formado grandes volúmenes de cineritas, debido a gruesos complejos de carderas volcánicas de forma circular, que generalmente estuvieron acompañadas de pequeñas erupciones de lava basáltica, como por ejemplo al Oeste de Durango entre el poblado de Navios a la ciudad de Parral.

Las Sierras componentes del sistema están muy próximas unas a otras con sus altas crestas paralelas u anidadas, separadas por cañones profundos, a veces con altos acantilados.

Partes de la cresta de esta cordillera son ligeramente redondeadas o forman mesas, de tal manera que son fácilmente accesibles desde la región central del País, pero la mayor parte de la ladera occidental está cortada profundamente por arroyos que fluyen al Océano Pacífico, siguiendo garanzas escarpadas.

Las acciones erosivas especialmente en las rocas más recientes, determinan una topografía incisiva en los cañones profundos que nacen en los bordes de las largas mesetas, que con frecuencia se extienden en las cimas de las sierras, aparecen como valles colgantes.

En general, la Sierra Madre Occidental constituye el parteaguas entre el Océano Pacífico y la Región de Bólgenes de la Mesa Central y Chihuahua, a excepción de las corrientes permanentes del río "Conchos", que atraviesa este último Estado por su parte central y va a desembocar al río "Bravo" junto a la población de Ciénega y del río "Nazas", que muere en la Región Lagunera de Torreón, el resto del drenaje corre hacia el Océano Pacífico.



UNIVERSIDAD NACIONAL  
AUTONOMA DE MEXICO

FACULTAD DE INGENIERIA

TESIS PARA OBTENER EL TITULO DE  
INGENIERO GEOLOGO

PROYECTO "CANOAS" Mpio. de Canatlán, Dgo..  
PROVINCIA FISIOGRAFICA

REALIZO:  
ISABEL GASCON VILLA

APROBO:  
ING. SALVADOR MARIN CORDOVA

FECHA:

ESCALA:

PLANO No.

3 - 2

El origen de todos estos aspectos geomorfológicos, debe atribuirse solamente a un gran levantamiento general a lo suficientemente rápido para permitir que todas las corrientes permanezcan en su etapa juvenil, o sea valles de grandes pendientes. Debe suponerse también que este levantamiento no ha sido uniforme en toda la provincia, sino es evidente que el efecto de erosión de arenas volcánicas, ha sido mayorizando hacia el Este, donde reflejan arenas pereceras de lo que actualmente es la Mesa Central. (Ver cuadro).

La provincia de La Sierra Baja Occidental, se encuentra dividida en tres subregiones:

1).- Sierras alargadas.

2).- Meseta riolítica.

3).- Mesetas u cuencas.

La zona de estudio se encuentra ubicada en la subregión de Mesetas u Cuencas, en cada se localiza a lo largo de toda la parte Este de la Sierra Baja Occidental.

Su morfología, como su nombre lo indica, está caracterizada en sus partes bajas con valles constituidos por materiales terciarios u cuaternarios fluviales, arenas y arenas. En sus partes altas en mesetas formadas por derrames basálticos y riolíticos, así como de sus correspondientes crecidas.

## V. I. GEOMORFOLOGIA.

## V. I. I. GEOGRAFIA.

La region más importante, tanto en el punto de vista orográfico, está representada por la Sierra Madre Occidental, macizo montañoso con algunas elevaciones mayores de 3,000 m sobre el nivel del mar, como son el cerro "Pristo", en el Municipio de Tancítlan, con una elevación de 3,322 m u el cerro "Tepazote", en el Municipio de Santiago Papasquiaro, con una elevación de 3,235 m, también sobre el nivel del mar.

Dentro de dicho macizo montañoso, sobresalen algunas serranías que son conocidas con diversos nombres en la región. Por ejemplo, al occidente de la ciudad de Durango, se desprenden las más grandes de estas estribaciones, la Sierra de la Cataría u la Sierra de la Magdalena.

### V.1.2.- HIDROGRAFIA.

La red hidrográfica Núm. 11 se localiza en la parte Noroeste de la República Mexicana, comprendida entre las latitudes  $21^{\circ}45'$  y  $25^{\circ}10'$  Norte y las longitudes  $103^{\circ}30'$  y  $106^{\circ}30'$  al Oeste del Meridiano de Greenwich, abarcando una superficie aproximada de  $52,000 \text{ kms}^2$ , incluyendo parte de los estados de Nayarit, Sinaloa y Durango.

Dentro de la región hidrológica, se distinguen perfectamente tres unidades fisiográficas:

- 1).- La planicie Costera.
- 2).- Sierra Madre Occidental.
- 3).- Altiplanicie Mexicana.

La hidrografía de la región está representada por siete corrientes principales, que descendiendo de los flancos de la Sierra Madre Occidental, desembocan en el Océano Pacífico, dichas corrientes mencionadas de Norte a Sur, son las siguientes:

- 1).- Río "Presidio".
- 2).- Río "Baluarte".
- 3).- Río "Cañas".
- 4).- Río "Acaponeta".
- 5).- Río "Merada".
- 6).- Río "Bejuco".
- 7).- Río "San Pedro".

El régimen de los escurrimientos, en cada uno de ellos, se caracteriza por tener más o menos defici-

do, tanto el período de avenidas como el de secas. El período de mayores escurrimientos, se inicia generalmente con la temporada de lluvias, a partir de los últimos días de junio y principios de julio terminando el mes de octubre, siendo casi siempre el mes de septiembre el más abundante. El período de estiaje, comprende, los meses de noviembre a mayo, en el que los escurrimientos son prácticamente nulos, con excepción de algunas avenidas de invierno que ocurren indistintamente en noviembre, diciembre, enero, febrero o marzo, dichas avenidas no se presentan todos los años, sino en forma irregular.

A continuación, se describen las características principales de la cuenca de la red hidrológica, a la cual pertenece la zona de estudio.

#### RÍO "SAN PEDRO".

La cuenca del río "San Pedro", se encuentra localizada entre las latitudes  $21^{\circ}45'$  y  $24^{\circ}35'$  Norte y las longitudes  $104^{\circ}00'$  y  $105^{\circ}35'$  al Oeste del Meridiano de Greenwich, limitada al Norte por las cuencas cerradas de la laguna de "Santiaguillo" y la cuenca del "Río San Juan", al Sur y al Este con la cuenca del río "Santiago" y al Oeste con el río "Acaponeta" y el Océano Pacífico.

Esta corriente es una de las más importantes de la región, a la vez que una de las más complejas, en

cuanto a su hidrografía, ya que originalmente no comprendía la parte que generaba dentro del Altiplano Septentrional, que era una cuenca cerrada, pero debido a un proceso de erosión regresiva, conocido con el nombre de captura, pudo desaguar en el Océano Pacífico por medio del río "San Pedro". El actual río "San Pedro", nace en el estado de Durango, con el nombre de río "La Sauveda" a 75 kms al Noroeste de la ciudad de Durango y a 30 kms al Oeste de la población de Canatlán, Dgo. Se inicia en el flanco Sureste de la Sierra de Magdalena y al Noreste de la Sierra de la "Cacaria", que forman parte de la Sierra Madre Occidental; en el cerro "Epazote", siguiendo una dirección Noroeste-Sureste, recibiendo por su margen derecha, después de un recorrido de 22 kms al río "Canatlán", uno de sus principales afluentes. Conservando la misma dirección, pasa por la población de Canatlán, Dgo. casi inmediatamente después parte de las aguas del río "la Sauveda", se almacenan en la pequeña presa "El Pino" y en la presa de "San Bartolo", tuerce al Sur bordeando al "Malpaís de Breña" y por la derecha recibe al arroyo del "Carpintero", en el sitio en que sus aguas son retenidas y almacenadas en la presa "Peña del AgUILA", aguas abajo de esta presa; el río penetra al valle de "Guadiana", por el que corre hacia el Sureste, por la derecha se

se unen los ríos "El Tunat" y "Santiago" para formar el río "Durango", el cual, junto con el río "Suchil", forman el río "Mezquital" o "San Pedro", que desemboca en el Océano Pacífico por la laguna de "Mezcaltitlán", en el estado de Nayarit.

## V.2.- GEOMORFOLOGIA LOCAL.

Geomorfológicamente, el área estudiada presenta un estado de juventud avanzada, representada por valles amplios u angostos, sierras escarpadas y cerros arredondados.

El área de la cuenca hasta el sitio de estudio, es de 643  $\text{Kms}^2$ .

La cuenca a la que pertenece la zona de estudio, configura una red hidrológica subparallela asimétrica, ya que las corrientes fluidales son casi paralelas unas a otras y asimétricas, porque los arroyos tributarios de las caderas de un lado, son más pequeños que del otro.

Estas redes pueden desarrollarse en terrenos que manifiestan una uniformidad, más o menos homogéneas, como en el material que rellena los valles.

La geomorfología que presenta la zona del proyecto, es la siguiente:

La margen izquierda está empotrada en una elevación de forma aguda y pendiente abrupta de dimensiones relativamente pequeñas en una sola orientación. La margen derecha en un terreno elevado y llano, de extensión considerable.

El cauce se encuentra dentro del valle formado en la boquilla por ambas márgenes, es decir, forma una depresión topográfica en él, la cual se va abriendo hacia la boca del vaso, extendiéndose su

sobre la margen derecha.

La corriente que fluye por el cauce, es subsecuente (río "La Sauceda"), ya que su disposición general es paralela a la margen izquierda que es la más larga y uniforme, constituyendo la línea dominante del drenaje, la cual se desarrolla a lo largo de fajas de estructura débil. Esta corriente es a su vez trenzada, ya que fluye en numerosos canales divididos que se vuelven a unir, originando dicha división de los canales, el obstáculo causado por los sedimentos depositados por la corriente.

Esta condición trenzada, indica una corriente fluida que se encuentra incapacitada para transportar toda la carga que contiene. Se produce por una sucesiva contribución de carga a la corriente principal, a causa de una pérdida de volumen de agua a través de filtraciones, evaporación, diversificación y/o pérdida de pendiente, teniendo como consecuencia la disminución de la capacidad de transporte.

Comunmente, los materiales depositados por una corriente trenzada son granulares, especialmente en las partes superiores de la corriente.

Los arroyos tributarios más próximos o pertenecientes al vaso de dicho estudio, se encuentran espaciados, lo que indica que se encuentran sobre rocas macizas, duras y resistentes o con rocas de alto drenaje interno como terrazas granulares.

## VI.- GEOLOGIA REGIONAL.

En la constitución geológica del estado, se hallan formaciones de origen ígneo, sedimentario y metamórfico, entre las que dominan las primeras.

**Formaciones ígneas:** se encuentran localizadas principalmente en el macizo de la Sierra Madre Occidental, que ocupa gran parte de la superficie del estado de Durango, está constituido por andesitas y riolitas (Terciarias), que se encuentran cubiertas por sus tobas y brechas respectivas o por basalto.

**Formaciones sedimentarias:** son de origen marino o continental y se distinguen principalmente en las zonas del Centro, Norte y Noroeste del Estado. las de origen marino están constituidas por calizas, margas y lutitas que pertenecen a los períodos Jurásico y Cretácico. Las formaciones sedimentarias de origen continental pertenecen al Cuaternario y están constituidas por depósitos de acarreo, arcillas, gravas, arenas, etc., estas rellenan los principales valles o se extienden en las llanuras que corresponden a la parte este del estado.

Formaciones de origen metamórfico: se encuentran representadas por gneises, esquistos y mica-pizarras, que ocupan una extensión superficial relativamente reducida, en la porción Noroeste del Estado límite con el estado de Sinaloa.\*

Al estado de Durango podemos dividirlo geológicamente en dos áreas: una al Oeste y la otra al Este.

La zona Oeste se encuentra constituida por rocas volcánicas principalmente y el área Este por rocas sedimentarias. El Estado presenta un fallamiento regional, principalmente en la zona Este, con dirección Noroeste-Sureste, formando en su mayoría fosas de forma alargada o bloques elevados, ambos limitados por fallas más o menos paralelas.

El área de estudio se encuentra localizada en la zona Oeste sobre rocas ígneas cercanas al límite con el área Este.

El afloramiento más cercano de rocas sedimentarias, se encuentra aproximadamente a 40 kms del proyecto, en línea recta con dirección Este, el cual se localiza dentro de una fosa delimitada por dos fallas y constituido por el conglomerado "Ahuichila". La falla regional más cercana a la zona del estudio, se encuentra al Este, aproximadamente a 1.5 km de distancia, con una dirección paralela al vaso.

(\*).- Ver columna estratigráfica.

# COLUMNA ESTRATIGRAFICA REGIONAL

LITOLOGIA		ROCAS SEDIMENTARIAS	ROCAS IGNEAS			ROCAS METAMORFICAS
EDAD			INTRUSIVAS	EXTRUSIVAS	ALTERADAS	
CUATERNARIO					+	
					+	
TERCIARIO		X X X X	X X X	+	+	
		X X X X	X X X	+	+	
MESOZOICO	CRETA CICO	SUPERIOR INFERIOR	X X X X	X X X X	+	V V V V
	JURASICO		X X X X	X X X X	+	V V V V
TRIASICO					+	W W W W

XX INTRUSIVAS      A ACIDA  
 ++ EXTRUSIVAS      I INTERMEDIA  
 PP BASICA

GRES  
 CONGLOMERADO  
 CALIZA  
 LUTITA  
 ARENISCA  
 YESO  
 PIZANERA  
 ESQUELETO

		UNIVERSIDAD NACIONAL AUTONOMA DE MEXICO	
FACULTAD DE INGENIERIA			
TESIS PARA OBTENER EL TITULO DE INGENIERO GEOLOGO			
PROYECTO "CANOAS" Mpio. de Canatlán, Dgo. COLUMNNA ESTRATIGRAFICA DEL EDO. DE DURANGO			
REALIZO:		APROBO:	
ISABEL GASCON VILLA		ING. SALVADOR MARIN CORDOVA	
FECHA:	ESCALA:	PLANO No.	

# COLUMNA ESTRATIGRAFICA REGIONAL

LITOLOGIA		ROCAS SEDIMENTARIAS	ROCAS INNEAS		ROCAS METAMORFICAS
EDAD			INTRUSIVAS	EXTRUSIVAS	
CENOZOICO	CUATERNARIO				+
	TERCIARIO	○ ○ ○ ○	X X + + +	+ + +	
MESOZOICO	CRETA SUPERIOR	— — — —	X X		V V V V
	INFERIOR	— — — —	X X		V V V V
JURASICO	— — — —	T T T			
	— — — —	T T T			
TRIASICO					W W W W

INTRUSIVA: { A - ACIDA  
 EXTRUSIVA: { I - INTERMEDIA  
 B - BASICA

- SUELO
- CONGLOMERADO
- CALIZA
- LUTITA
- ARENISCA
- YESO
- PIZARRA
- ESQUISTO

UNIVERSIDAD NACIONAL AUTONOMA DE MEXICO	
FACULTAD DE INGENIERIA	
TESIS PARA OBTENER EL TITULO DE INGENIERO GEOLOGO	
PROYECTO "CANOAS" Mpio. de Canatlán, Dgo. COLUMNA ESTRATIGRAFICA DEL EDO. DE DURANGO	
REALIZO ISABEL GASCON VILLA	APROBO: ING. SALVADOR MARIN CORDOVA
FECHA:	ESCALA:
	PLANO No.

C U A D R O

T I E N P O .

HISTORIA DE LA SIERRA MADRE OCCIDENTAL, EN RELACION A LA TECTONICA DE PLACAS.

EN VIRTUD DE QUE LAS DIVERSAS REGIONES DE LA SIERRA MADRE OCCIDENTAL, HAN DADO LUGAR A INTERPRETACIONES DIFERENTES, ESTA HA SIDO DIVIDIDA EN TRES PORCIONES: SIERRA MADRE OCCIDENTAL NOROESTE, SIERRA MADRE OCCIDENTAL OESTE-CENTRAL Y SIERRA MADRE OCCIDENTAL CENTRAL-ESTE. DONDE LAS LOCALIDADES GEOGRAFICAS COINCIDEN Y EN DONDE LAS INTERPRETACIONES SON SIMILARES, SE COMBINAN LOS RESUMENES DE VARIOS ESTUDIOSOS, A FIN DE DAR UN ENTENDIMIENTO MAS COMPLETO DE CADA AREA.

EL AREA DE ESTUDIO SE ENCUENTRA LOCALIZADA EN LA PORCIÓN SIERRA MADRE OCCIDENTAL CENTRAL-ESTE, SIENDO EN FORMA RESUMIDA SU HISTORIA GEOLOGICA LA SIGUIENTE:

PRE-PALEOCÍDICO.

Metamorfismo de rocas volcánicas riolíticas.

PALEOCÍDICO.

(230 - 600 m.a.)

Depósitos de lutitas, areniscas y dolomias; metamorfisados a esquistos.

TRIASICO.

(180 - 230 m.a.)

El rompimiento del supercontinente Pangaea ocurrió hace doscientos millones de años, durante el Triásico Medio formando el Norte de México, el noreste de Laurasia. Al mismo tiempo se formó una zanja incipiente al este de la costa, lo que ahora es baja California.

Vulcanismo con subsiguiente deformación.

Formación Nazas.- Lechos rojos y metasedimentos (interestriatificación de areniscas con lutitas de color rojo con zonas café).

## CUADRO

## DISCORDANCIA.

JURASICO.  
(130 - 170 m.a.)

En el Triásico Superior, -  
la costa fue bien estableci-  
da y a partir del océano -  
de las placas Farallón y -  
Amerílica, resultaron fuer-  
zas compresionales que plie-  
garon las rocas preneozólo-  
cas, a lo largo de la Cos-  
ta Occidental, formando --  
las partes elevadas del --  
pliegue llamado por sus di-  
mensiones Geoanticlinal Oc-  
cidental. Hacia el Este, -  
las partes bajas que for-  
man el pliegue de depre-  
sión, llamado por su fina-  
ño Geosinclinal Mexicano,  
estaba siendo invadido por  
un mar poco profundo.

CRETACICO.  
(70 - 130 m.a.)

Durante el Cretácico tem-  
prano, el Geosinclinal se  
hundió y recibió sedi-  
mentos clásticos del Geoanti-  
clinal Occidental, la masa  
línea formada a profundi-  
dad que en este tiempo  
alcanzó las capas más eleva-  
das de la tierra, al so-  
lidificarse por sus dimen-  
siones, forma y composi-  
ción es llamado Batólito -  
de granodiorita que al ubi-  
carse al Norte de Baja Ca-  
lifornia, las primeras ro-  
cas comenzaron a agruparse  
a lo largo de la Costa.

Efecto de socorro por transgresión marina.

Formación Zuleja.- Caliza arenosa de color -  
gris amarillo con bancos de  
caliza.

[Aguas de poca profundidad].  
Formación Gloria.- (Equivalente Zuleja). Carac-  
terizada por areniscas u con-  
glomerados, aunque constitui-  
dos de calizas de capas gra-  
sas a medianas [lítitos-luti-  
tas calcáreas]. [Depósito --  
marginal de aguas someras].

Formación La Casita.- Lutitas de colores que va-  
rían del gris oscuro a ne-  
gro interestratificadas -  
con capas delgadas de ca-  
liza amarillenta. [Aguas -  
cerceanas a la Costa].

Serie de transgresiones y regresiones.

Formación Taraises.- Caliza de grano fino se es-  
tratificación media de -  
color gris amarillento, pre-  
senta huellas de disolu-  
ción y vetillas de calcita  
(calizas arcillosas, cali-  
zas nodulares, lutitas ca-  
cáreas). [Aguas cercanas a  
la Costa].

Formación Cupido.- Caliza de estratificación media  
que contiene algunos nódulos de  
pedernal, huellas de disolución  
estilolitas [caliza arcillosa,-  
arrecifal]. [Aguas profundas y =  
someras].

Formación de La Peña.- Caliza arcillosa en capas -

La migración hacia el Este de la intrusión y el levantamiento ziso ciado hacia el final del Cretáci do, amplizaron el Geocantilinal y empujó al Geosinclinal hacia el Este. El material erosionado de área Oeste del Geocantilinal rápidamente comenzó a llenar el Geosinclinal. Para esta época la margen continental se desgarró y los sedimentos continentales - clásticos, así como los primeros sedimentos agregados, allí fueron asimilados.

folgadas y laminarse que al ternan con lutitas calcedo- res, contiene nódulos de pedernal. (Depósito de mediana profundidad).

Formación Viesca.- Caliza gris de rudistas, cavernosa en capas gruesas a masiva.

Formación Acatita.- Interestratificación de caliza, yeso, dolomita y anhidrita.

Formación Aurora.- Caliza de estratificación media a gruesa y ocasionalmente masiva con nódulos de pedernal. (Facie de cuenca, desarrollado alrededor de la plataforma).

Formación Cuesta del Cura.- Calizas onduladas - folgadas con pedernal negro, poco arenillosa intercaladas con lutitas. - (Calcarenitas recristalizadas, limolitas). (Desarrollo alrededor de la plataforma).

Durante el Cretácico Superior, hubo el levantamiento de la Sierra Madre Occidental. Este levantamiento marcó el inicio de la Orogenia Laramide.

Formación Indidura.- Interestratificación de lutitas y calizas resquebrajadas. (Calcilitas, calizas nodulares, limolitas). (Aguas someras).

Formación Caracol.- Alternancias de lutitas, lutitas calcáreas, limolitas, limolitas arenosas y areniscas calcáreas con escasas calcarenitas. (Aguas Someras)

7 1 5 2 0

DISCORDANCIA

TERCIARIO.  
(1 - 70'm.a.)

Las lavas riolíticas y andesíticas fueron expulsadas a través de la parte central de la Sierra Vizcaína Occidental. Los esfuerzos extensivos de compresión hacia el Este plegaron los sedimentos del Geosinclinal Mexicano muy cerradamente. Las erupciones más importantes finalizaron durante el Eoceno u Oligoceno Temprano, en tanto que los procesos magmáticos dentro de la tierra, continuaban a través de cuando menos el Oligoceno Medio. Un breve período de levantamiento y erosión permitió la deposición de lechos rojos constituidos de arenisca y conglomerado, de origen volcánico, en cuencas someras, tan lejos al Occidente como la línea divisoria actual entre Sinaloa y Durango. Los pliegues amplios en las rocas volcánicas pobemente consolidadas, pudieron haber sido causados por la compresión continua. Durante el Oligoceno tardío dio comienzo una erupción vigorosa de lavas riolíticas o litálticas, así como de tobas e ignimbritas. Hace aproximadamente doce millones de años, la última de las placas Far-

Deformación de las zonas sedimentarias con intrusiones ígneas, alguna mineralización. Liberación de roca, predominando las tensiones extensivas que producen las fallas de bloques (N-NW), donde suceden inversas las primeras rocas volcánicas del Terciario Medio. Erosión extensiva.

Rocas intrusivas ígneas.- Granito y diorita.

Rocas extrusivas ígneas.- Riolitas, andesitas, tobas y brechas.

Formación Ahuichila.- Está constituido de depósitos clásticos de origen continental, en forma de conglomerados y orecillas, dispuestos en bancos gruesos y masivos. El material está compuesto principalmente por fragmentos subredondeados y bien consolidados de caliza calcarenita y calcilita de diferentes tonos de grises y rosado. Contiene además, arenisca calcárea y pedernal, localmente contiene fragmentos de roca volcánica, la matriz es calcárea y el cemento calcáreo también, principalmente limolítico.

## C U A D R O

llón, fue consumida juntamente con el segmento zonante de la elevación del Pacífico, al Norte de la zona de fracturas Clarion. La asimilación terminó en esta época y la costa fue levantada e inclinada hacia el Occidente.

El vulcanismo sílico probablemente cesó en el consumo de la elevación del Pacífico.

Levantamiento y expulsión de cantidades pequeñas - de basaltos.

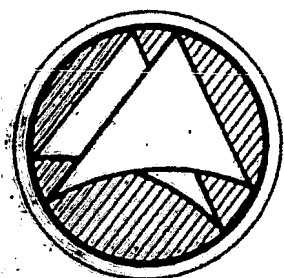
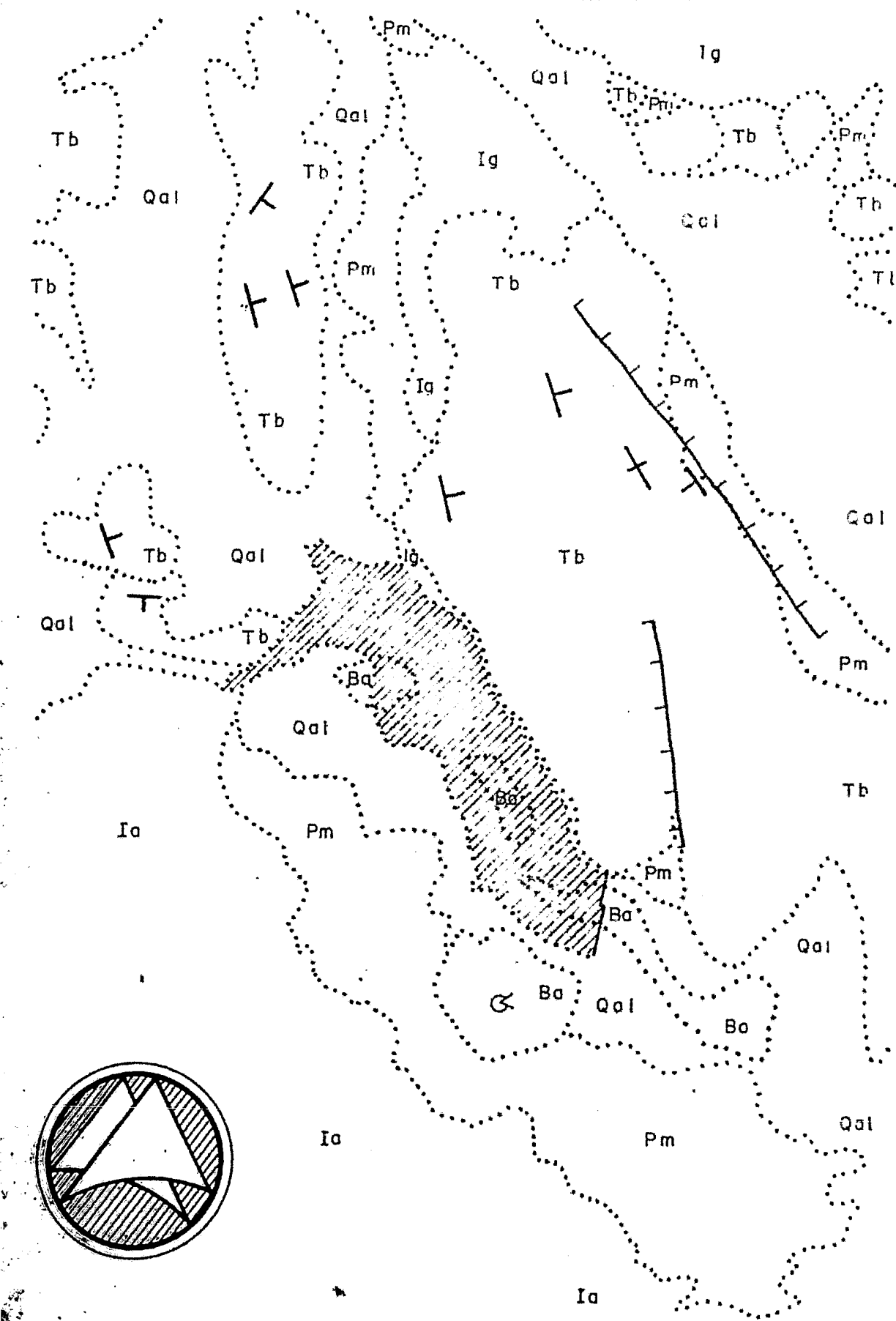
### CUATERNARIO.

Durante el Pleistoceno, la tensión regional reemplazó a la compresión y ocurrió fallamiento en bloques a lo largo de la cresta del Geosinclinal y durante un período de levantamiento rápido. Se desarrollaron fallas de buzamiento hacia el Occidente de ángulo grande, normales a lo largo del flanco del Geanticlinal.

Depósito de materiales aluviales en las cuencas.

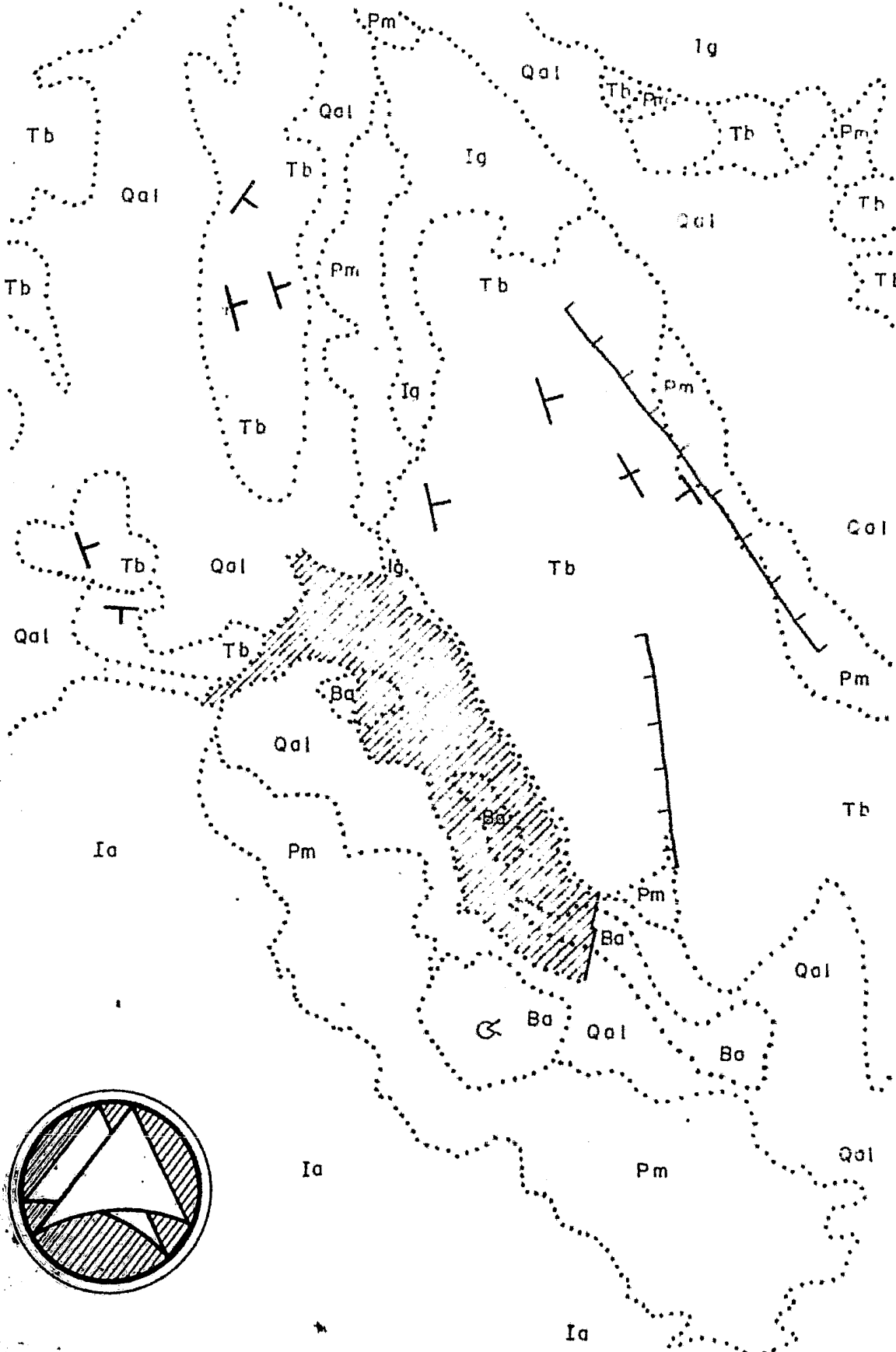
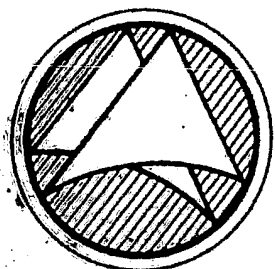
# SIMBOLOGIA

Qal	Aluvión (C)
Pm	Pie de montaña
Ba	Basalto
Ig	Ignimbrita
Tb	Toba
Ia	Ignea ácea
	Vaso de flama
Q	Cono volcánico
↖	Rumbo y eje

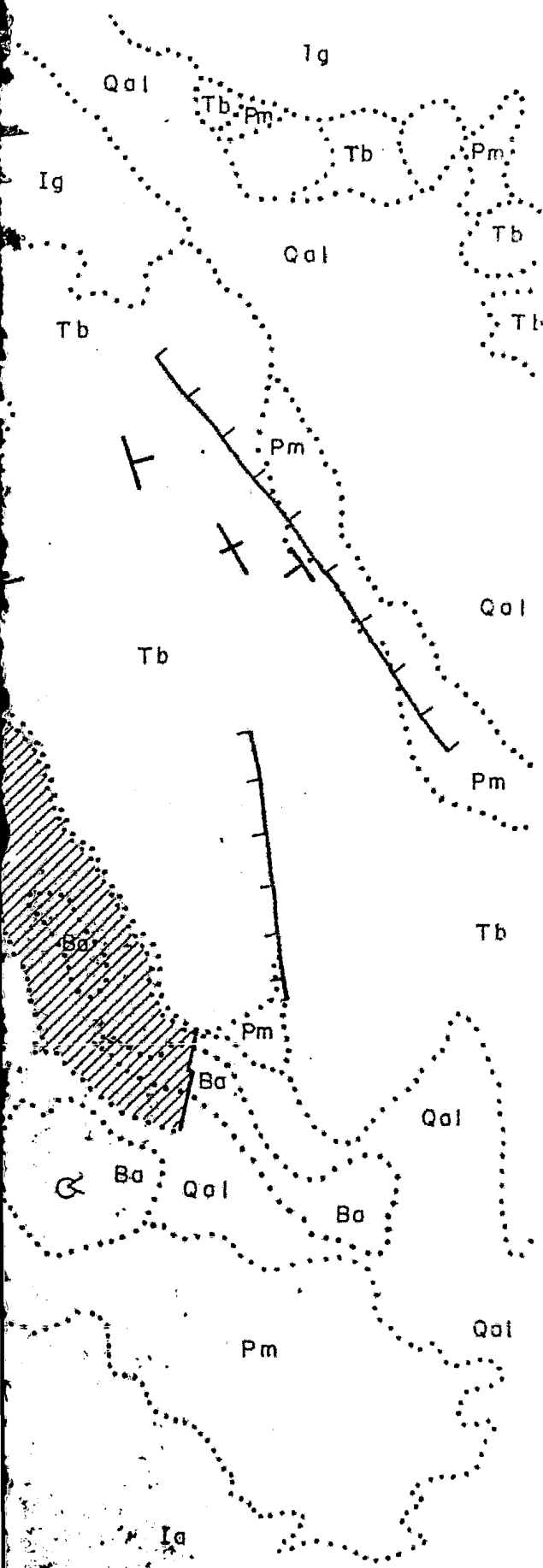


# SIMBOLOGIA

Qal	Aluvión (Cuarzo)
Pm	Pie de montaña
Ba	Basalto
Ig	Ignimbrita
Tb	Toba
Ia	Ignea árida
	Vaso de vino
Q	Cono volcánico
X	Rumbo y eje



UNIVERSIDAD AUTÓNOMA DE COSTA RICA
FACULTAD DE INGENIERÍA
TESIS PARA OBTENER EL GRADO DE INGENIERO
PROYECTO "CANOA"
REALIZÓ:
ISABEL GASCON VILLA
FECHA:



# SIMBOLOGIA

Qal	Aluvión (Cuaternario)
Pm	Pie de monte (Depósito de talud)
Ba	Basalto
Ia	Ignimbrita
Tb	Toba
Ia	Ignea ácida
	Vaso de la presa
Q	Cono volcánico
↖	Rumbo y echado de estratos

UNIVERSIDAD NACIONAL  
AUTONOMA DE MEXICO

FACULTAD DE INGENIERIA

TESIS PARA OBTENER EL TITULO DE  
INGENIERO GEOLOGO

PROYECTO "CANOAS" Mpio. de Canatlán, Dgo.  
FOTOGEOLOGIA

REALIZO:  
ISABEL GASCON VILLA

APROBO:  
ING. SALVADOR MARIN CORDOVA

FECHA:

ESCALA:  
1: 50000

PLANO No.

## VII.- GEOLOGIA DE LA BOQUILLA.

El área donde se encuentra ubicada la zona de estudio, está constituida de una sucesión de rocas volcánicas, formada, tanto por derrames como por material piroclástico.

Aguas abajo, en la margen derecha del eje donde se proyecta construir la cortina de la presa, se observa una secuencia de tobas riolíticas, de color gris claro que interpenetra en un color casi blanco, sobreyaciéndole y aflorando un basalto denso de color gris, interestratificado con basalto vesicular de color gris oscuro y con tobas brechoides compuestas de fragmentos de basalto vesicular, discordantemente le subyace y aflora sobre la margen izquierda una ignimbrita de color rosa, sobreyaciéndole a su vez y aflorando sobre el nivel de la cota de embalse, una serie de tobas riolíticas interestratificadas de color rosa, blanco y gris.

La boquilla es topográficamente asimétrica, ya que presenta mayor pendiente la margen derecha que la izquierda.

Litológicamente la boquilla está constituida por:

Margen izquierda: se encuentra labrada en ignimbrita riolítica compacta de color rojizo, presenta una estructura

fluidal y un fracturamiento en tres direcciones preferenciales perpendiculares entre sí, con rumbos Noreste y Noroeste ( $N10^{\circ}-20^{\circ}E$ ,  $NO\pm 10^{\circ}W$  y  $N70^{\circ}-80^{\circ}W$ ) con echados casi verticales ( $70^{\circ}-90^{\circ}$ ) y un tercer plano horizontal ( $0^{\circ}-10^{\circ}$ ) dando una apariencia columnar y en bloques. (Ver gráficas). La mayoría de las fracturas son cerradas y aunque se tienen algunas abiertas de dimensiones que van de 1 mm a 10 cms, se encuentran rellenas de material arcilloso. En algunas partes de la boquilla, la ignimbrita presenta oquedades que alcanzan una profundidad de 1 m y 0.30 cms de diámetro, las cuales fueron formadas por erosión, debida al golpeteo del agua cargada de fragmentos.

Petrográficamente la roca presenta una textura eutaxítica, ya que los cristales de cuarzo, oligoclasa y sanidino, así como los fragmentos de roca, presentan una orientación bandeada o fluidal dentro de una matriz microcristalina.

Esta ignimbrita se encuentra cubierta en algunas zonas por depósitos de talud de la misma composición.

Cauce: está constituido en su mayor parte de tierra vegetal, teniendo aluvión de composición riolítica y basáltica, cuyos tamaños van desde limo hasta bloques de 1 m. diámetro, provenientes de las rocas que componen ambas márgenes, el cual sólo se encuentra en el lecho del río.

Margen derecha: está labrada en un basalto de color gris oscuro, el cual intemperiza a un color gris azuloso, presentando una estructura columnar con su fracturamiento clásico, prácticamente hexagonal y un plano de fracturamien-

to casi horizontal (0°-10° de inclinación) [ver gráficas], siendo en su mayor parte cerrado u algunas fracturas abiertas se encuentran llenas de material arcilloso o cuarzo. También se encuentran fracturas de gravedad formadas por el mismo peso de la roca.

Petrográficamente el basalto presenta una textura piroclástica con fenocristales de augita, olivino, magnetita [gran cantidad], presentando una matriz compuesta de microlitos de labradorita y andesina, observándose también vidrio volcánico y materiales arcillosos, así como la presencia de óxidos.

El basalto se encuentra cubierto en algunas partes por depósito de talud de composición basáltica y tierra vegetal, así como de una delgada capa de suelo, producto de la alteración del mismo, encontrándose en este, fragmentos angulosos de basalto sin alterar.

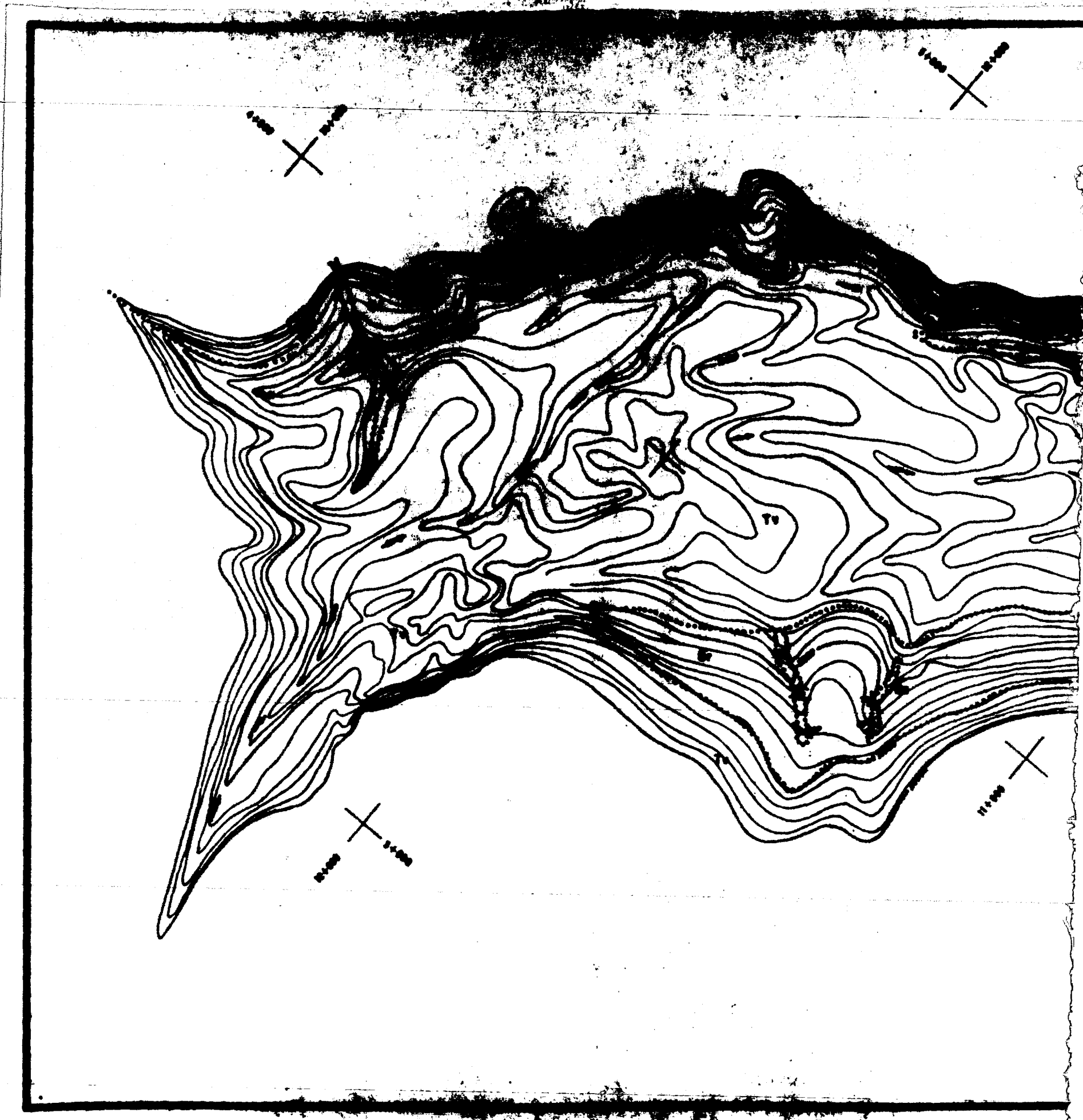
El Vaso se encuentra formado por las mismas rocas descritas en la boquilla, encontrándose fracturas de gravedad en la ignimbrita.

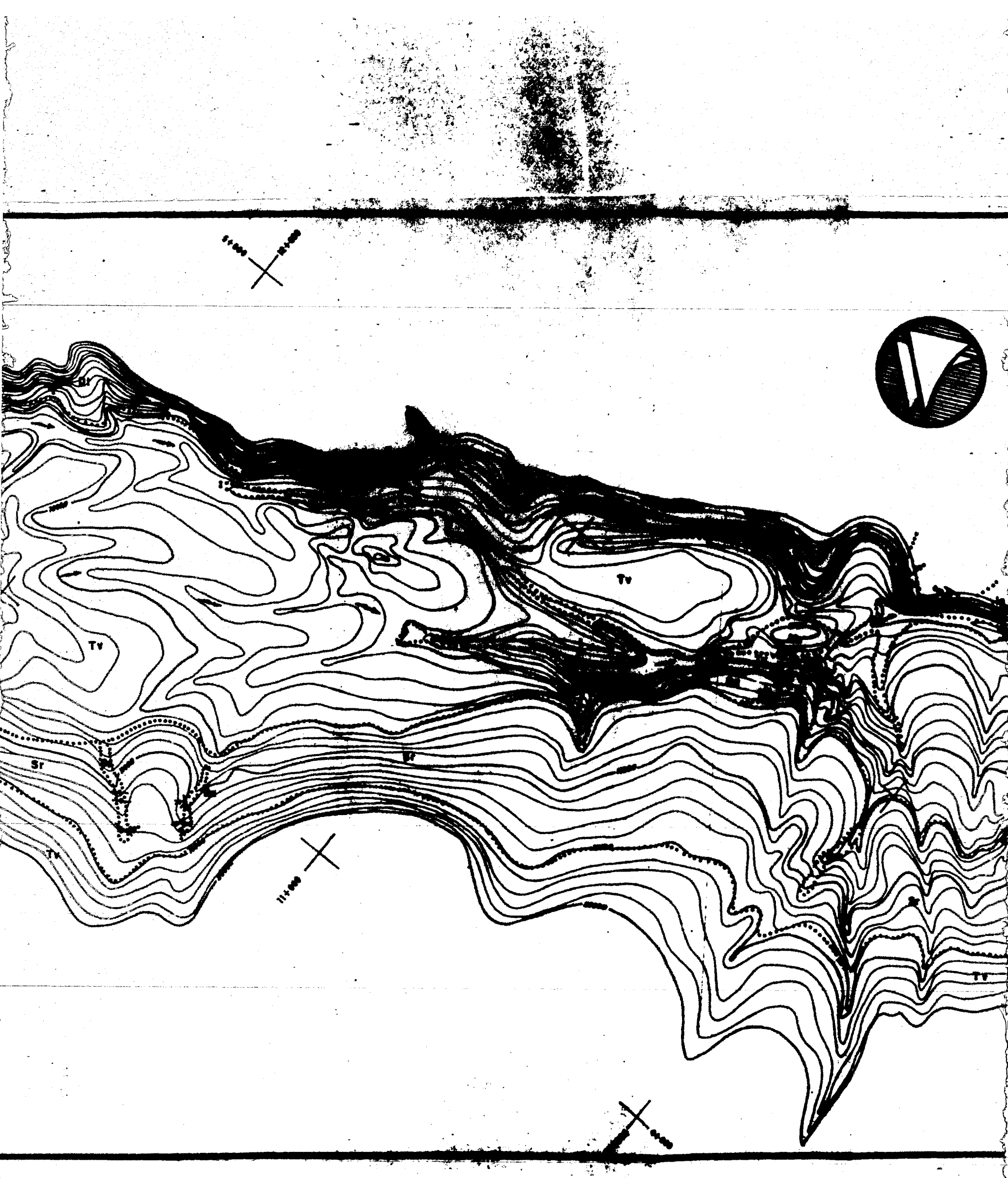


1970-1971

2000

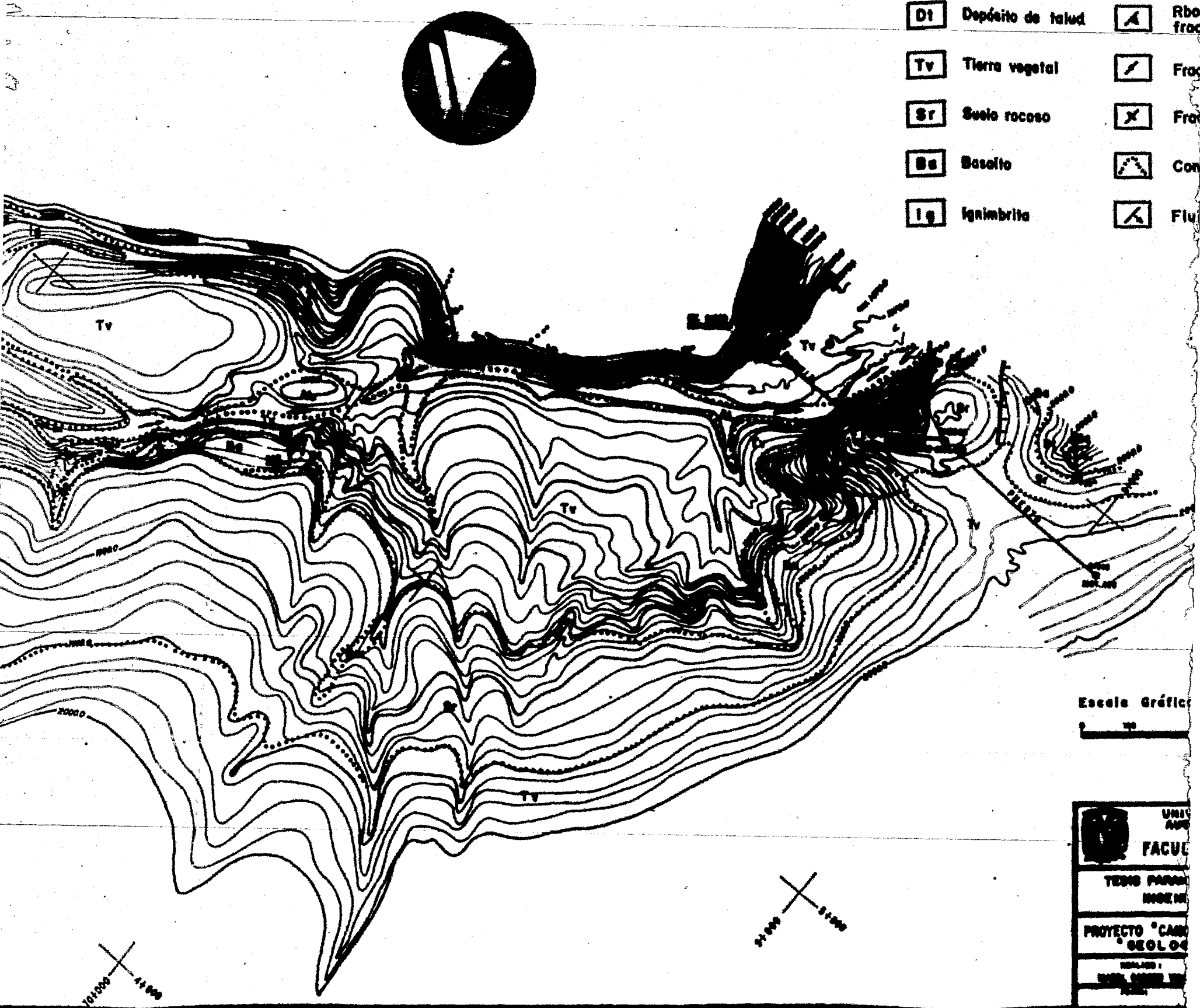
2001





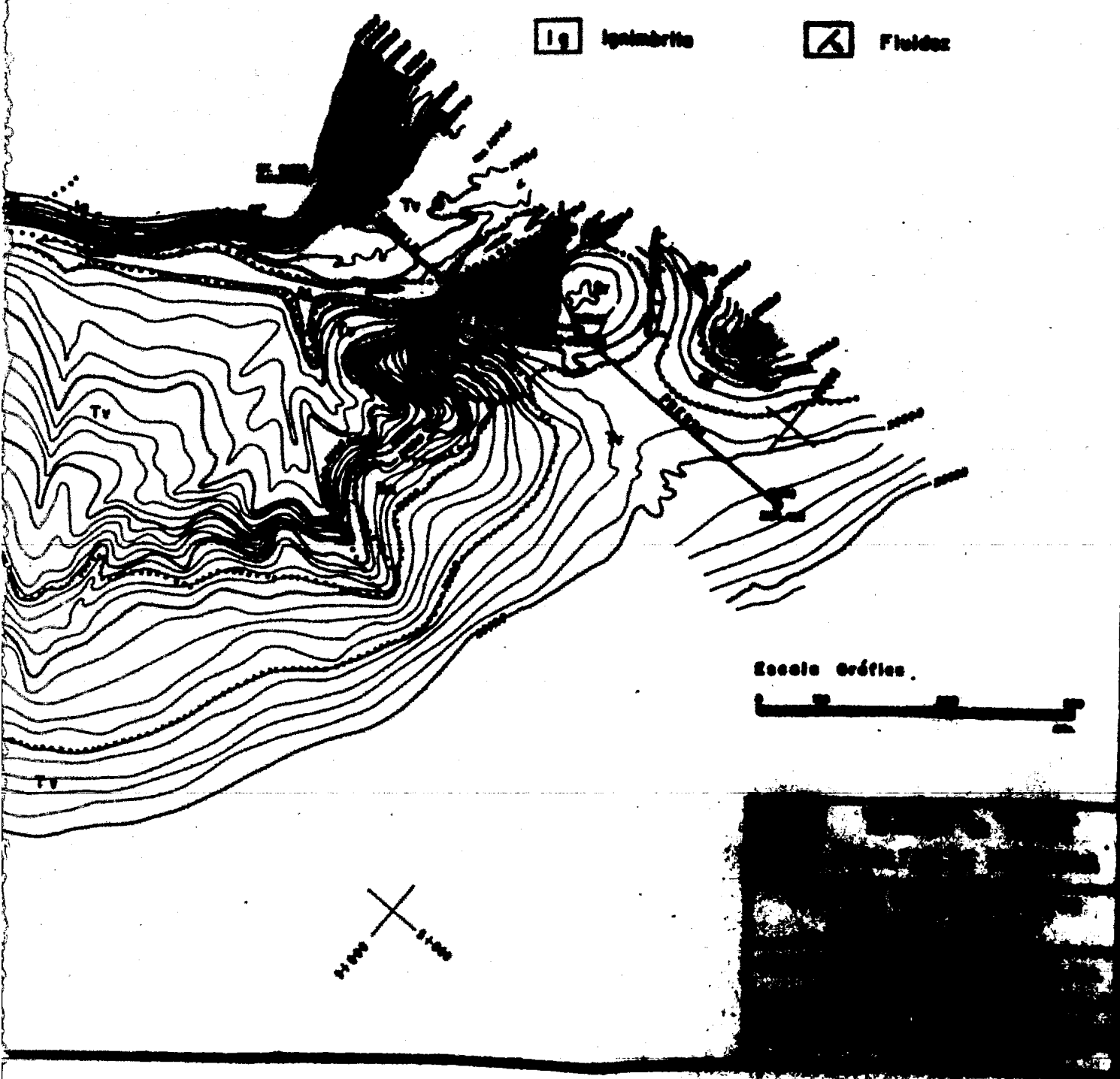
## SIMBOLOGIA

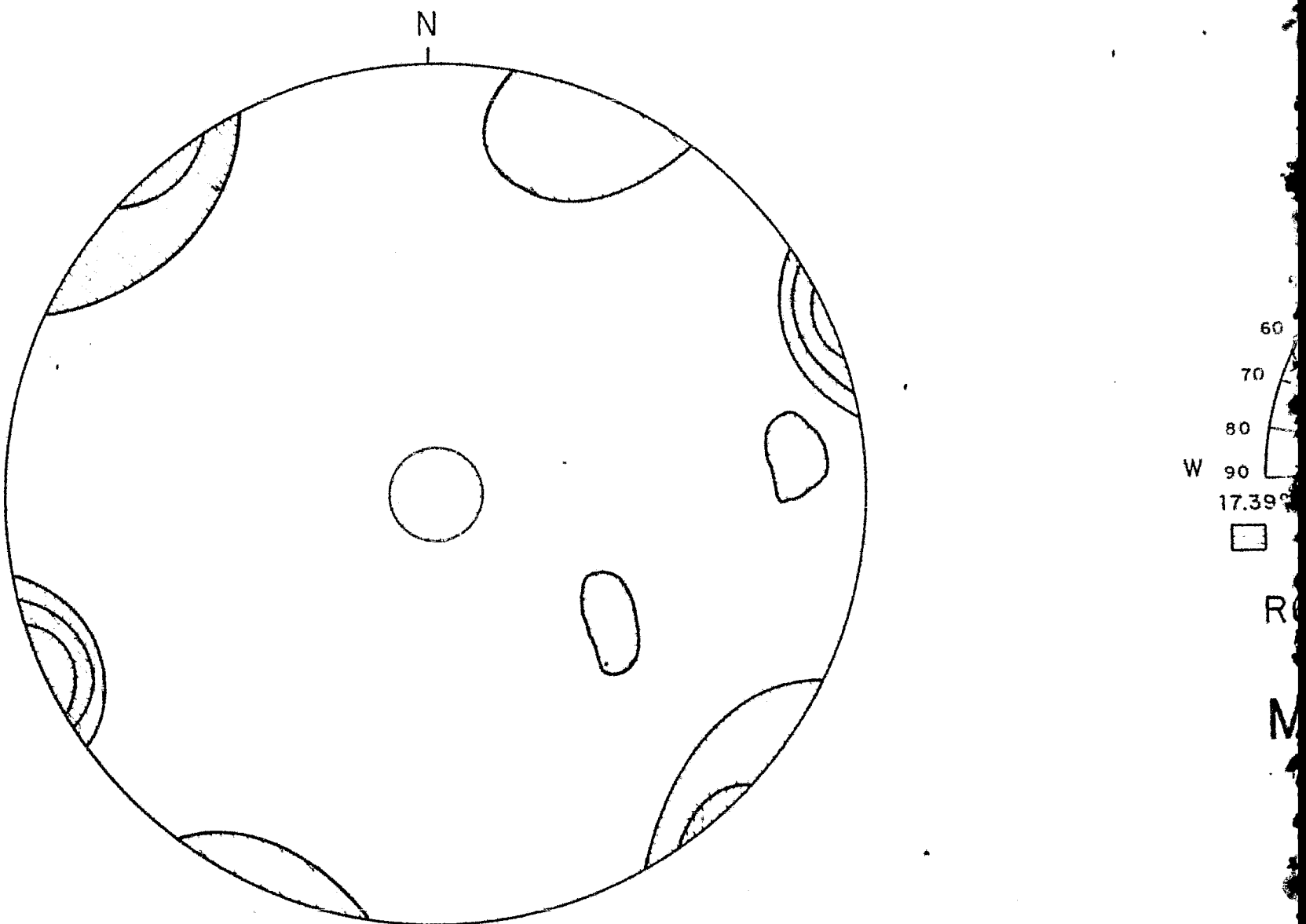
AL	Aluvión	F	Fall
D1	Depósito de talud	A	Ribe fro
TV	Tierra vegetal	X	Fro
SR	Suelo rocoso	X	Fro
BS	Basalto	C	Con
Ig	Iguimbrita	X	Flu



## SÍNTESE CARTOGRAFICA

AL	Alevisón	F	Folias
DF	Dipolito de fósiles	Fr	Fractura de preferencia
Tv	Tierra vegetal	H	Fractura vertical
Sr	Suelo rocoso	X	Fractura horizontal
Bs	Bosque	C	Contacto
Ig	Iguanabolla	K	Fluidos



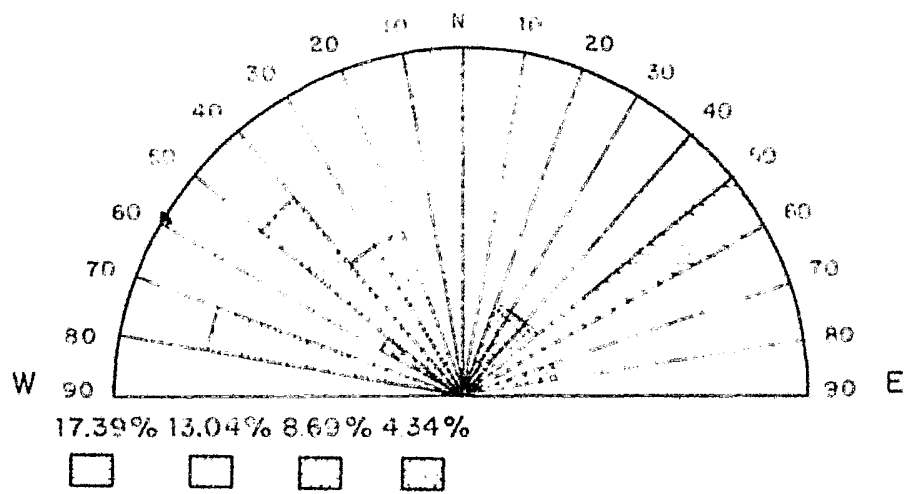


## DIAGRAMA ESTADISTICO DE FRACTURAMIENTO (METODO DE SCHMIDTH )

### POSICIONES PREDOMINANTES

- 1º [N 23° E] = (85°-90°)  
     [S 23° W]  
 2º [N 66° E] = (85°-90°)  
     [S 06° W]  
 3º [N 50° W] = (85°-90°)  
     [S 50° E]

<input type="checkbox"/>	4 34 %
<input type="checkbox"/>	8 69 %
<input type="checkbox"/>	13 04 %



## ROSETA DE FRACTURAMIENTO

### MARGEN DERECHA

BASALTO

IENTO

34 %

9 %

4 %

UNIVERSIDAD NACIONAL  
AUTONOMA DE MEXICO

FACULTAD DE INGENIERIA

TESIS PARA OBTENER EL TITULO DE  
INGENIERO GEOLOGO

PROYECTO "CANOAS" Mpio. de Canatlán, Dgo.  
ROSETA DE FRACTURAMIENTO

REALIZO:

RAFEL GALLARDO VILLA

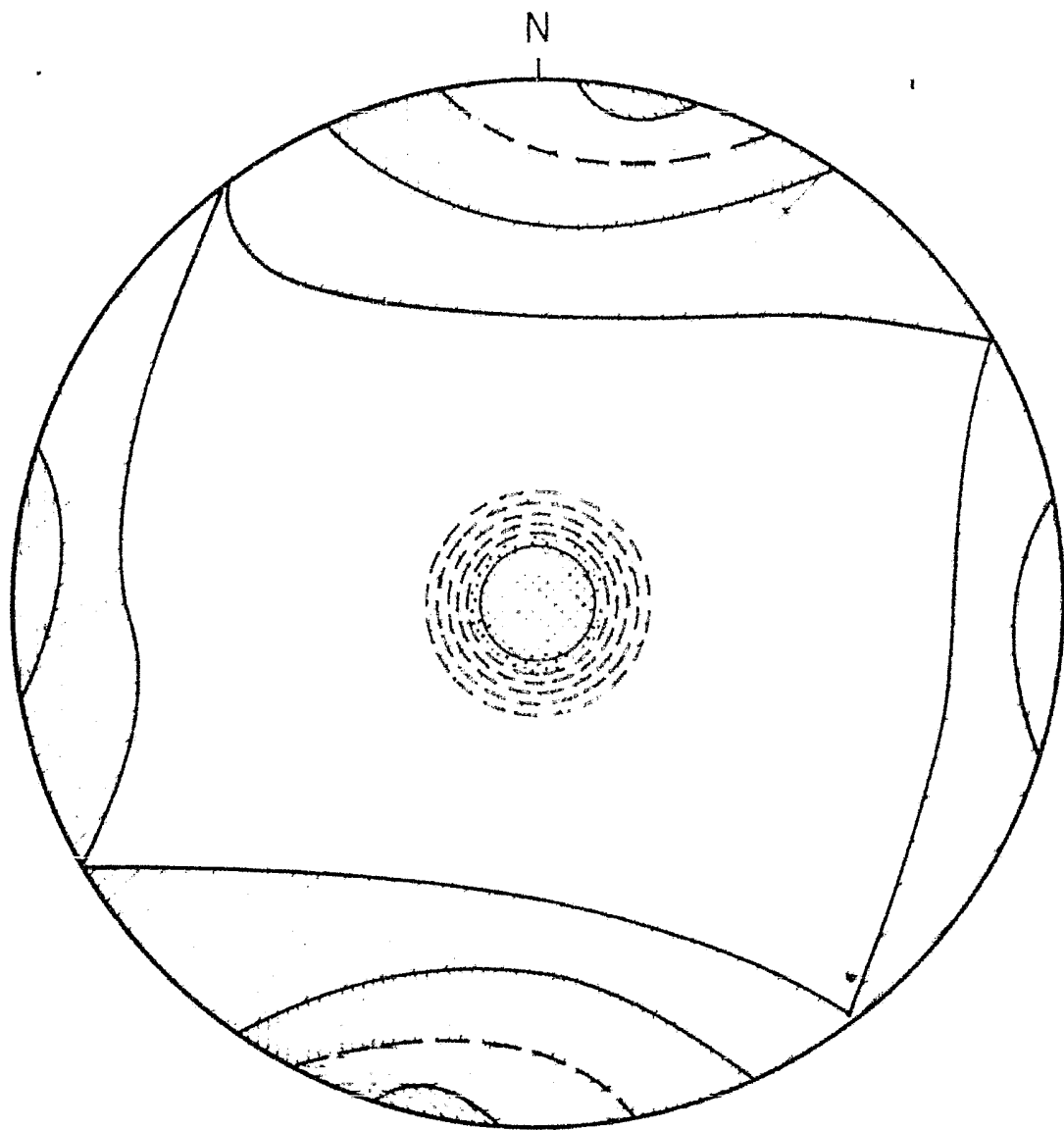
A.F.P.G.B.O.

ING. SALVADOR MARIN CORDOVA

FECHA

ESCALA

PLANO No



50  
 60  
 70  
 80  
 W 90  
 11.53%  
 ROS  
 MA

## DIAGRAMA ESTADISTICO DE FRACTURAMIENTO (METODO DE SCHMIDTH )

### POSICIONES PREDOMINANTES

1 ≈ Horizontal

3.84 %

2 ≈ [N 78° W]-(85° 90°)

7.69 %

3 ≈ [N 06° E]-(85° 90°)

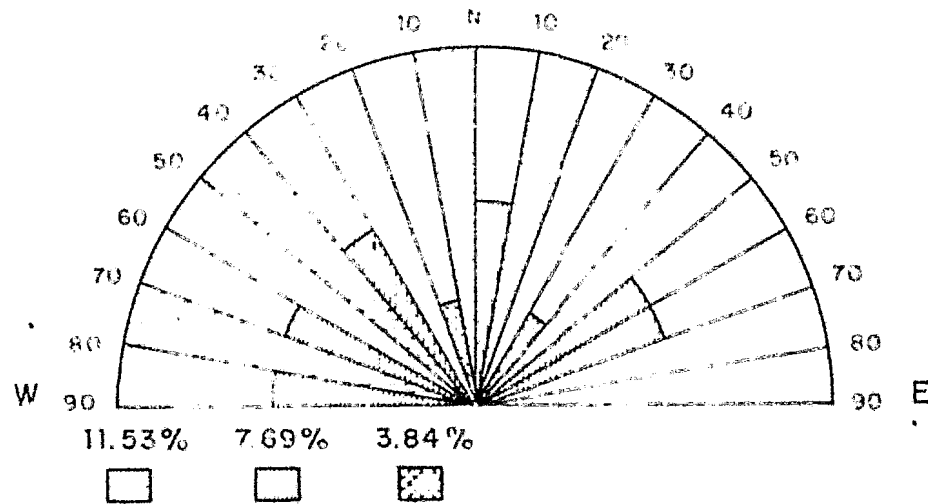
11.53 %

[S 06° W]

15.38 %

19.23 %

23.07 %



ROSETA DE FRACTURAMIENTO

MARGEN IZQUIERDA

IGNIMBRITA

NTO

%

%

%

%

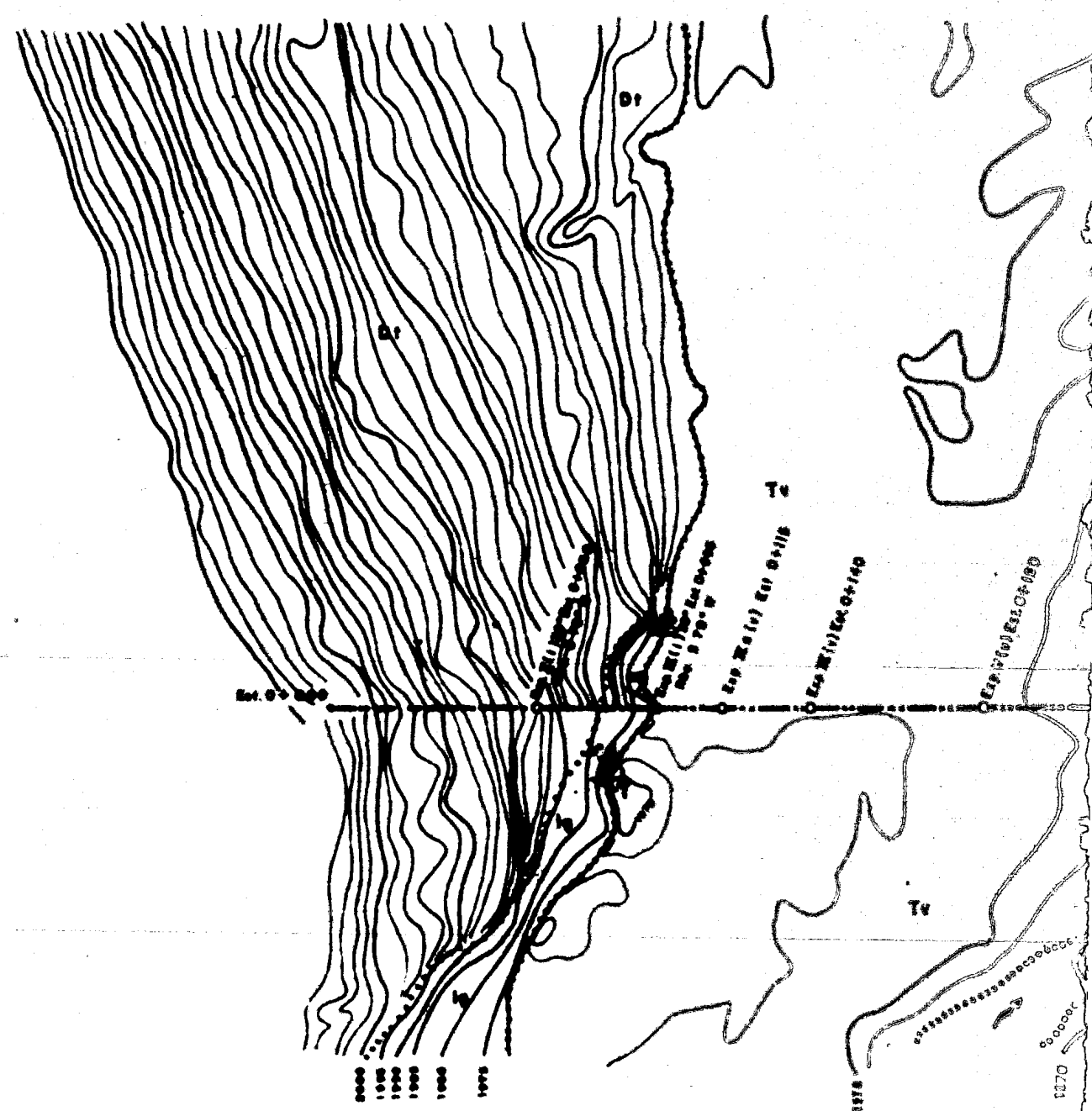
%

%

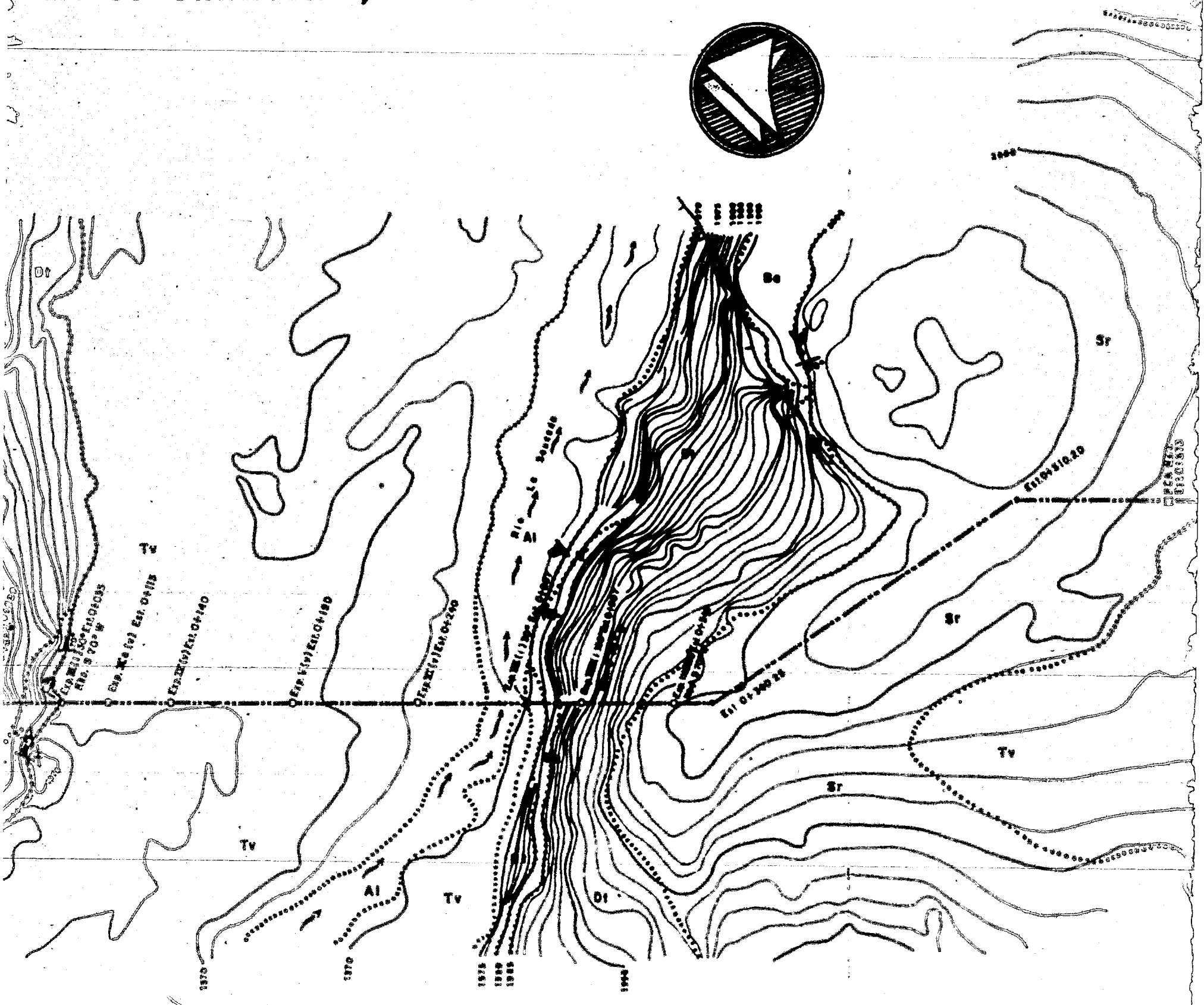
		UNIVERSIDAD NACIONAL AUTONOMA DE MEXICO	
FACULTAD DE INGENIERIA			
TESIS PARA OBTENER EL TITULO DE INGENIERO GEOLOGO			
PROYECTO "CANOAS" Mpio. de Canatlán, Dgo. ROSETA DE FRACIURAMIENTO			
REALIZO :		APROBO :	
ISABEL GASCON VILLA		ING. SALVADOR MARIN CORDOVA	
FECHA:		ESCALA:	
		PLANO No.	

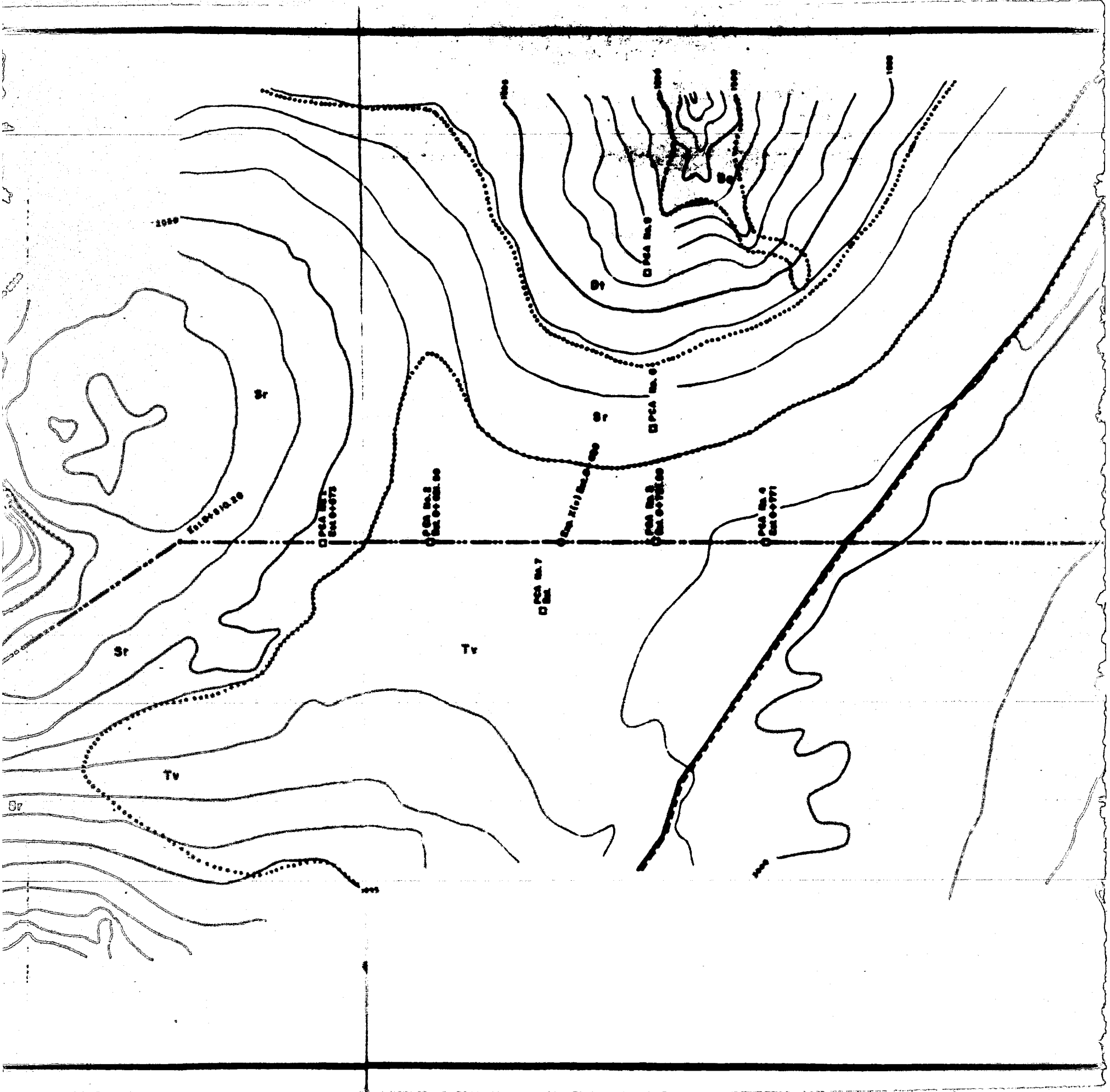


# PLANTA DEL PROYECTO "CANGAS" MPIO. CANATLAN



## **MPIO. CANATLAN, DGO.**





## SÍMBOLOGIA

- [Symbol] A1 Aluvión
- [Symbol] D1 Depósito de talud
- [Symbol] T1 Tierra vegetal
- [Symbol] S1 Suelo rocoso
- [Symbol] E1 Basalto
- [Symbol] I1 Ignimbrita
- [Symbol] Z1 Rampa y estadio  
de trementina
- [Symbol] P1 Piedras
- [Symbol] C1 Contacto geológicos
- [Symbol] F1 Falle
- Exploración
- P.C.A.

xxxxx Camino

Escala Gráfica



UNIVERSIDAD NACIONAL AUTÓNOMA DE MÉXICO	
FACULTAD DE INGENIERÍA	
TIPO PARA OBTENER EL TÍTULO DE INGENIERO GEÓLOGO	
PROYECTO "CARRERA" Mpio. de Cuernavaca, Dgo. COLONIA DE LA BOQUILLA	
Nombre:	Apellido:
Apellido:	Nombre:
Apellido:	Nombre:
Apellido:	Nombre:

## VIII. PROGRAMA DE EXPLORACIONES.

Con la finalidad de conocer las condiciones existentes a profundidad, bajo el eje de la boquilla, se programó una serie de perforaciones con máquina muestreadora Long Year 34 serie IPW 00719, así como pruebas de permeabilidad tipo Leffran y Lugeon, probando tramos no mayores de 5 m de longitud. Los criterios para las profundidades de las perforaciones fueron dadas en función de la altura de la cortina (32 m), haciendo hincapié que estas no deberían de terminarse en un tramo permeable, sino profundizarlas hasta encontrar dos tramos continuos de impermeable a poco permeable.

VIII.1.- PROGRAMA DE EXPLORACIONES PROGRESO:

Exploración.	Cadenamiento.	Elevación m.s.n.m.	Profundidad metros.	Observaciones.
I (i) 30° hacia - - aguas - - arriba.	0+020	1998,00	20,00	Margen izquierda.
II (i) 30° hacia - - aguas - - arriba.	0+060	1988,00	20,00	Margen izquierda.
III (i) 30° hacia - - aguas - - arriba.	0+095	1972,00	20,00	Margen izquierda.
IV (v)	0+140	1970,50	30,00	Cauce.
V (v)	0+190	1970,10	30,00	Cauce.
VI (v)	0+240	1969,20	30,00	Cauce.
VII (i) 30° hacia - - aguas - - arriba.	0+287	1971,80	20,00	Margen derecha.
VIII (i) 30° hacia - - aguas - - arriba.	0+307	1987,70	20,00	Margen derecha.
IX (i) 30° hacia - - aguas - - arriba.	0+345	1999,60	20,00	Margen derecha.
X (v)	0+680	1998,00	15,00	Vertedor.

Como todo programa de exploraciones propuesto estuvo sujeto a modificaciones, dependiendo de los resultados obtenidos, durante el avance de la perforación.

## VIII.2.- PROGRAMA DE EXPLORACIONES REALIZADO:

Exploración.	Cadenamiento.	Elevación m.s.n.m.	Profundidad metros.	Observaciones.
I (i)	30°** 0+020	1998,00	6.50	Margen izquierda.
	S70°W rumbo.			
II (i)	30° 0+060	1988,00	19.00	Margen izquierda.
	S70°W rumbo.			
III (i)	30° 0+095	1972,00	19.00	Margen izquierda.
	S70°W rumbo.			
IIIa (v)	0+115	1970,80	12.30	Cauce.
IV (v)	0+140	1970,50	21.00	Cauce.
V (v)	0+190	1970,10	31.00	Cauce.
VI (v)	0+240	1969,20	35.00	Cauce.
VII (i)	30° 0+287	1971,80	27.50	Margen derecha.
	S70°W rumbo.			
VIII (i)	30° 0+307	1987,70	22.50	Margen derecha.
	S70°W rumbo.			
IX (i)	30°** 0+345	1999,60	37.00	Margen derecha.
	S70°W rumbo.			
IXa (v)**	0+460	2000,80	19.00	Vertedor.
IXb (v)**	0+580	1999,00	6.50	Vertedor.
X (v)	0+680	1998,00	12.50	Vertedor.
XII (v)**	20 m aguas abajo de la estación 0+190	1970,10	13.00	Cauce.

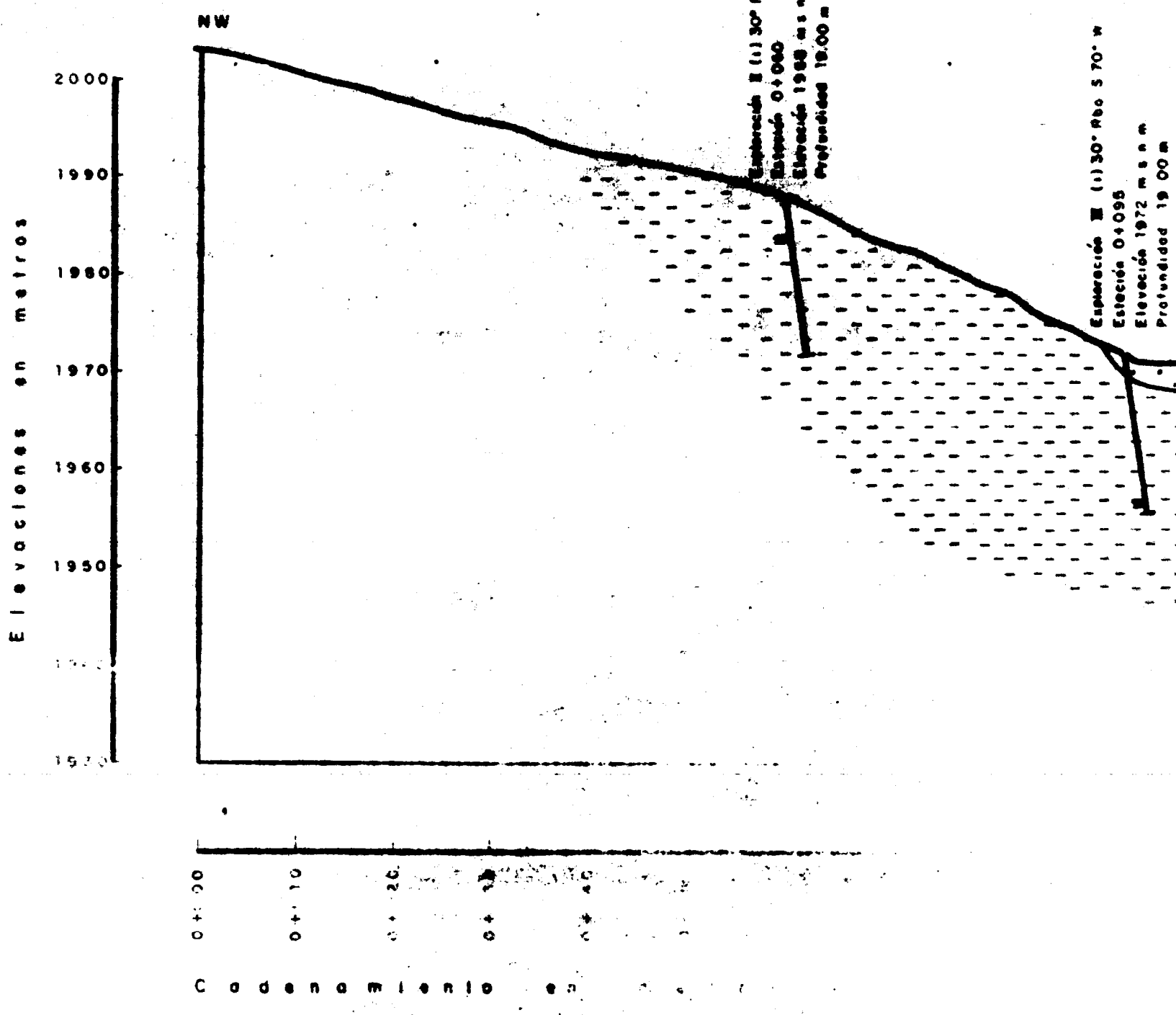
(\*\*) .- Estos barrenos fueron clasificados por personal de la Subdirección Norte.

VIII.3.- POZOS A CIELO ABIERTO REALIZADOS SOBRE EL VERTEDOR.

Pozo a cielo -- abierto.	Estación.	Profundidad en metros.
1	0+573	0.65
2	0+621.50	0.55
3	0+721.50	0.45
4	0+771.00	0.45
5	Aguas abajo de la estación. 0+721.50 120 m.	0.75
6	Aguas abajo de la estación. 0+721.50 50 m.	0.35
7	Aguas arriba de la estación. 0+671.50 30 m.	0.95

# CORTE

92  
111



# CAMBIAS MPIO. DE C

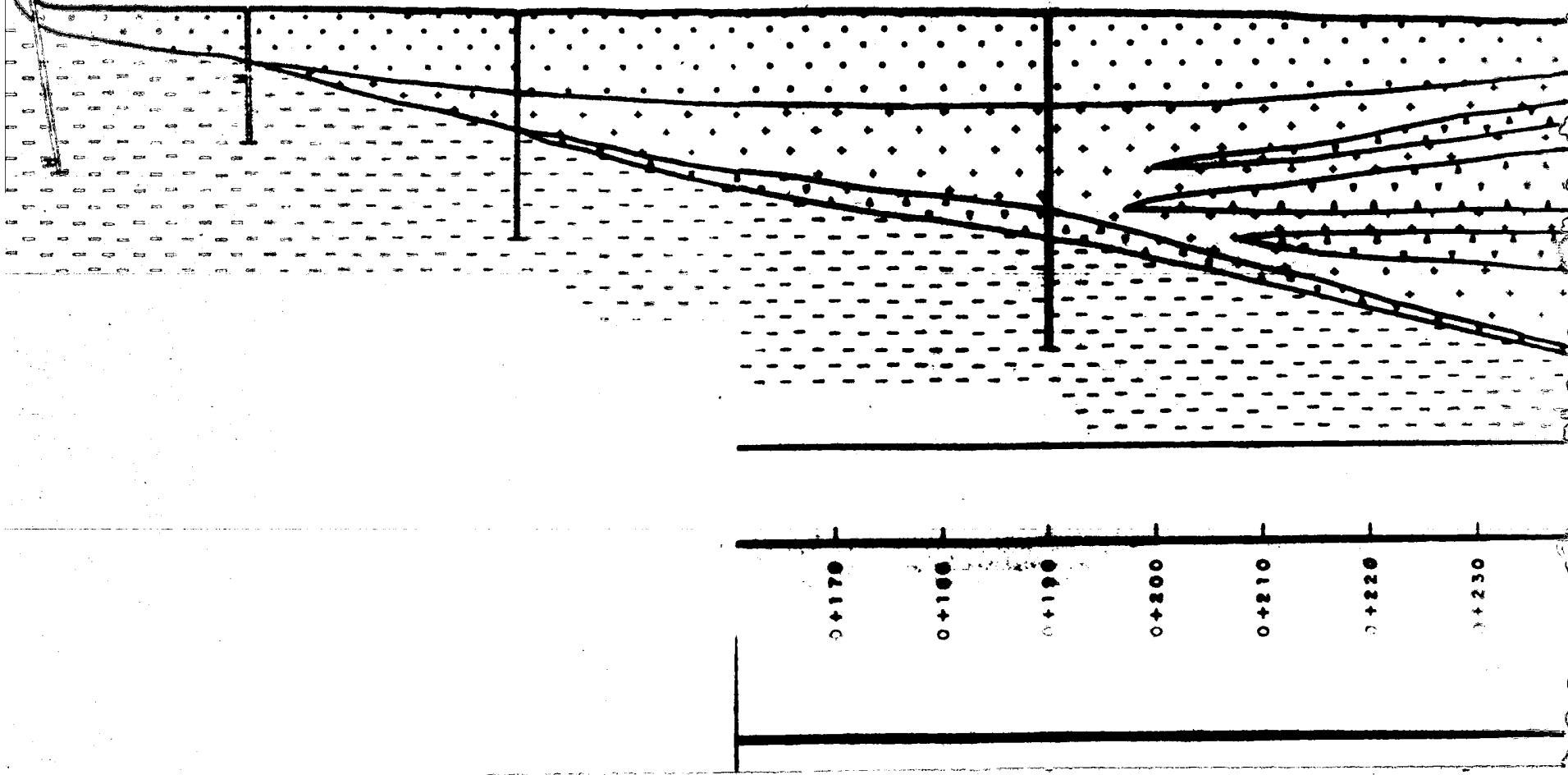
Elevación: 1970.80 m.s.n.m  
Estación: 0+115  
Profundidad: 19.00 m

Exploración III o (v)  
Estación: 0+115  
Elevación: 1970.80 m.s.n.m  
Profundidad: 12.30 m

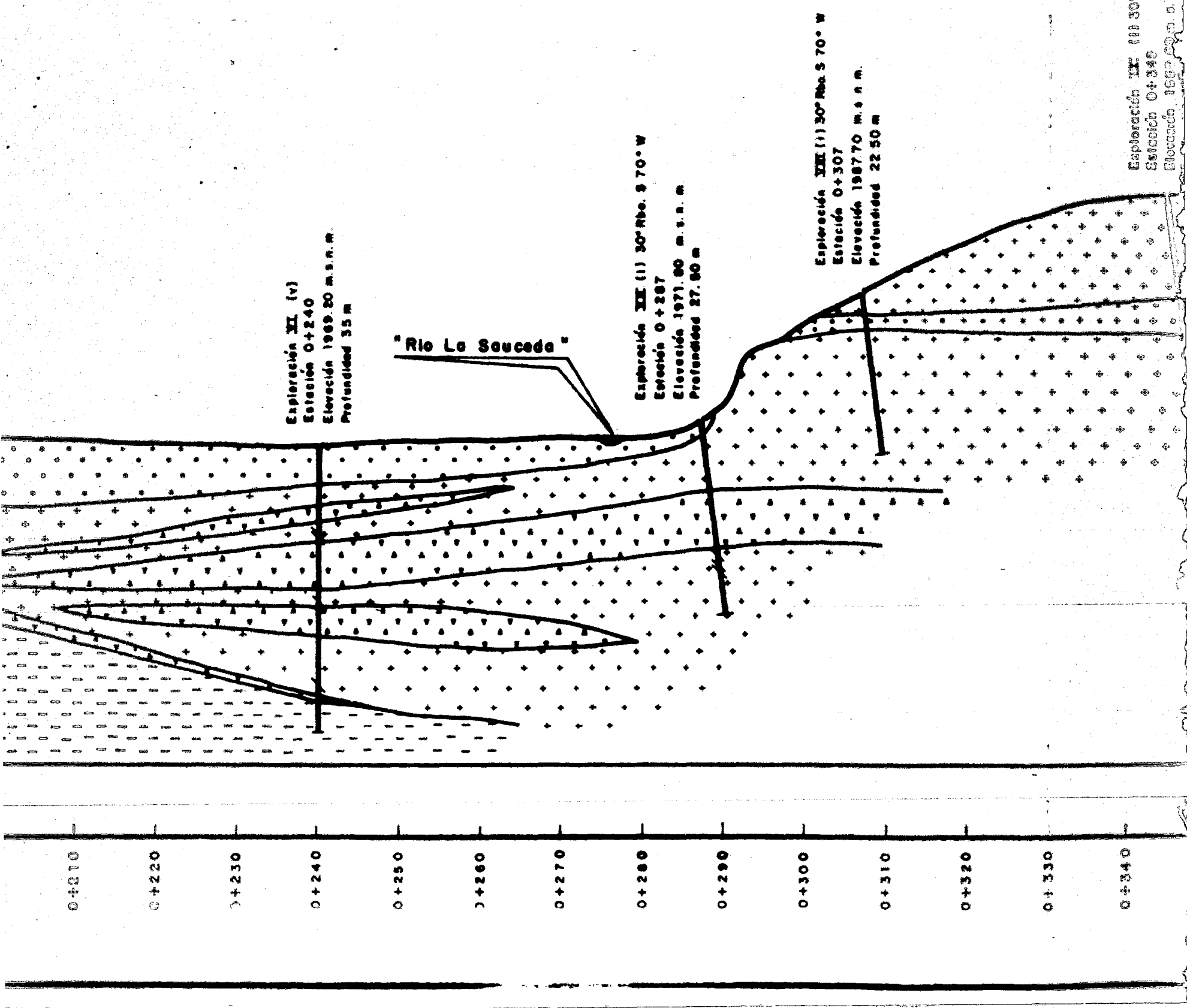
Exploración III o (v)  
Estación: 0+140  
Elevación: 1970.90 m.s.n.m  
Profundidad: 21.00 m

Exploración II (v)  
Estación: 0+190  
Elevación: 1970.10 m.s.n.m  
Profundidad: 31.00 m

Exploración II (v)



# PIÓ. DE CANATLÁN, DGO.



Exploración XII (II) 30° Rdo. S 70° W  
Estación O + 287  
Elevación 1971.80 m.s.n.m.  
Profundidad 27.50 m

Exploración XIII (II) 30° Rdo. S 70° W  
Estación O + 307  
Elevación 1987.70 m.s.n.m.  
Profundidad 22.50 m

Exploración XII (II) 30° Rdo. S 70° W  
Estación O + 345  
Elevación 1998.60 m.s.n.m.  
Profundidad 37.00 m

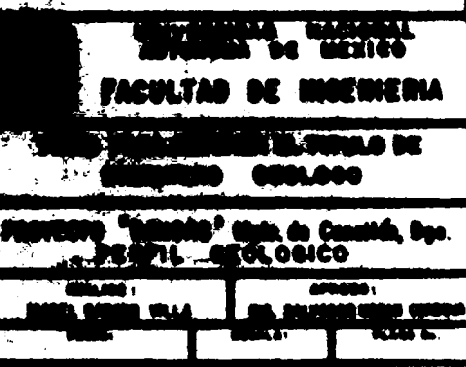
SE

## SIMBOLOGIA

- [Symbol: Dots] Aluvión
- [Symbol: Horizontal lines] Ignimbrita riolítica
- [Symbol: Crosses] Basalto
- [Symbol: Dots with cross] Toba brecholita basáltica
- [Symbol: Vertical lines] Basalto vesicular
- [Symbol: Dashed line] Contacto litológico
- [Symbol: Diagonal lines] Exploración
- [Symbol: X] Espejo de falla

Rumbo de Sección NW 07° SE

Escala Gráfica



O + 280      O + 300      O + 310      O + 320      O + 330      O + 340      O + 350      O + 360

## IX.- RESULTADO DE LAS EXPLORACIONES.

### IX.1.- RESULTADOS DE LAS EXPLORACIONES SOBRE EL EJE DE LA BOQUILLA.

Exploración I (i)  $30^{\circ}$  rumbo  $S70^{\circ}W^{**}$ .

Estación 0+020

Elevación 1998.00 m sobre el nivel del mar.

Profundidad 6.50 m.

Profundidad en m.	Litología.
de a	

0.0	6.50	Teba riolítica de color - café claro con textura <u>holo</u> - <u>cristalina</u> con matriz - afanítica poco fracturada, presentando <u>fenocristales</u> de cuarzo. En los planos de fractura, presencia de óxidos de Fe y leves trazas de <u>caoliniza</u> - ción.
-----	------	----------------------------------------------------------------------------------------------------------------------------------------------------------------------------------------------------------------------------------------------------------------------------------------------

Se además el tramo de 0.00 a 1.50 m de profundidad.

Exploración II - Canto hasta 3700

Estación 3 + 1

Elevación 100 m.s.n.m. respecto del mar.

Profundidad 100 m.



Tephrita con tramas sanas, fracturadas  
y muy fracturadas.

El porcentaje de recuperación fue de 38%, siendo el índice de calidad de roca de 18%, estando considerada esta recuperación como pobre.

Exploración II (i) 30° rumbo S70°W.

Estación 0+060.

Elevación 1988.00 m sobre el nivel del mar.

Profundidad 19.00 m.

Profundidad en m. de a		Litología.
0.0	5.0	Ignimbrita muy fracturada.
5.0	8.0	Ignimbrita sana con una fractura longitudinal de 5.50 a 6.25, la cual contiene caolín.
8.0	9.0	Ignimbrita fracturada.
9.0	10.8	Ignimbrita sana.
10.8	19.0	Ignimbrita muy fracturada.

PORCENTAJE DE RECUPERACION 40.3%

INDICE DE CALIDAD DE LA ROCA 12.42% (muy malo).

Se ademó el tramo comprendido de 0.00 a 3.00 m de profundidad.

Exploración III (i) 30° rumbo S70°W.

Estación 0+095.

Elevación 1972.00 m sobre el nivel del mar.

Profundidad 19.00 m.

Profundidad en m. de a		Litología.
0.0	2.8	Aluvión constituido de -

<i>Profundidad en m.</i>	<i>de a</i>	<i>Litología.</i>
		Fragmentos de basalto e ignimbrita.
2.8	4.5	Ignimbrita muy fracturada.
4.5	7.0	Ignimbrita fracturada.
7.0	17.2	Ignimbrita muy fracturada.
17.2	19.0	Ignimbrita fracturada.

PORCENTAJE DE RECUPERACION 34,81%

INDICE DE CALIDAD 5.06% (muy malo).

Se ademó el tramo comprendido de 0.00 a 3.00 m de profundidad.

#### Exploración IIIa (v).

Estación C+115.

Elevación 1910,80 m sobre el nivel del mar.

Profundidad 12.30 m.

<i>Profundidad en m.</i>	<i>de a</i>	<i>Litología.</i>
0.0	5.0	Aluvión constituido de -- fragmentos de basalto e ignimbrita.
5.0	7.0	Ignimbrita sana.
7.0	11.0	Ignimbrita muy fracturada, encontrándose alterada a arcilla en las zonas donde se localizan las -- fracturas.
11.0	12.3	Ignimbrita fracturada.

PORCENTAJE DE RECUPERACION 54,10%

INDICE DE CALIDAD DE LA ROCA 8.49% (muy malo).

Se ademó el tramo comprendido de 0,00 a 5,50 m de profundidad.

Exploración IV (v).

Estación 0+140

Elevación 1970,50 m sobre el nivel del mar.

Profundidad 21,00 m.

Profundidad en m.                                    litología.

0,0	7,7	Aluvión constituido por fragmentos de basalto e ignimbrita.
7,7	8,0	Basalto sano.
8,0	11,0	Basalto muy fracturado.
11,0	15,4	Ignimbrita muy fracturada.
15,4	16,0	Ignimbrita fracturada.
16,0	21,0	Ignimbrita muy fracturada.

PORCENTAJE DE RECUPERACION:

Basalto 21,51%

Ignimbrita 20,93

INDICE DE CALIDAD:

Basalto 0% (muy malo).

Ignimbrita 0% (muy malo).

Se ademó el tramo comprendido de 0,00 a 5,00 m de profundidad.

Exploración V (v).

Estación 0+190

Elevación 1970,10 m sobre el nivel del mar.

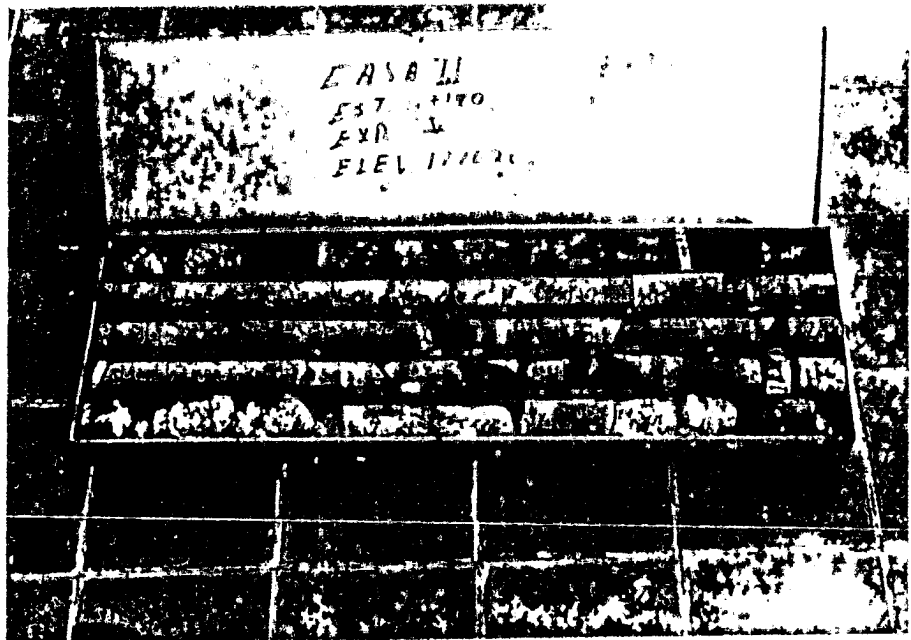
Profundidad 31,00 m.

Exploración Volcán

Estación 1000 m.

Llevado al laboratorio para examen del manto.

Profundidad 21 m.



Basalto sano con toba brecciolita de composición basáltica muy fracturada.

Profundidad en m. de a		Litología.
0.0	8.5	Aluvión constituido de -- fragmentos de basalto e -- ignimbrita.
8.5	16.0	Basalto muy fracturado.
16.0	18.35	Basalto sano con espejo de falla a los 18.10 m de -- profundidad con 45° de <u>in</u> <u>clinación.</u>
18.35	21.0	Toba brechoide de composi <u>ción</u> basáltica muy fractu <u>rada.</u>
21.0	26.0	Ignimbrita muy fracturada.
26.0	31.0	Ignimbrita fracturada.

PORCENTAJE DE RECUPERACION:

Basalto 49.54%

Ignimbrita 41.9%

Toba brechoide 33.58%

INDICE DE CALIDAD DE LA ROCA:

Basalto 26.80% (malo).

Ignimbrita 17.10% (muy malo).

Toba brechoide 6.03% (muy malo).

Se ademó el tramo comprendido de 0.00 a 6.00 m de  
profundidad.

Exploración VI (v).

Estación 0+240

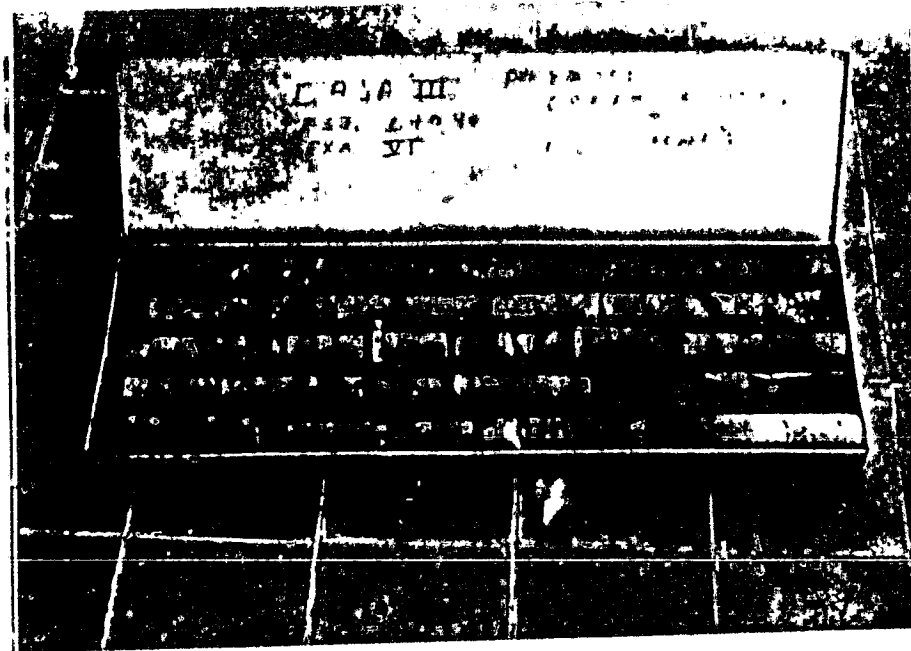
Elevación 1969.20 m sobre el nivel del mar.

Exploración VI-10

Estación 9 + 740

Elevación 1900,70 m. sobre el nivel del mar.

Profundidad 35 m.



Toba brechóide de composición basáltica  
sana u basalto fracturado.

Profundidad 35,0 m.

Profundidad en m. de a		Litología.
0.0	4.8	Aluvión constituido de -- fragmentos de basalto e - ignimbrita.
4.8	7.4	Basalto muy fracturado.
7.4	9.8	Toba brechoide de composi ción basáltica.
9.8	12.0	Basalto sano con espejos de falla con 60° de incli nación y horizontal.
12.0	15.0	Toba brechoide de composi ción basáltica muy fractu rada.
15.0	17.7	Toba brechoide de composi ción basáltica fracturada.
17.7	20.0	Basalto fracturado.
20.0	23.45	Toba brechoide de composi ción basáltica sana.
23.45	28.0	Basalto sano con una frac tura vertical de 25.47 a 26.51 m de profundidad.
28.0	31.0	Basalto muy fracturado - con un espejo de falla.
31.0	31.5	Toba brechoide de composi ción basáltica fracturada.
31.5	35.0	Ignimbrita muy fracturada.

PORCENTAJE DE RECUPERACION:

Basalto 77.10%

Ignimbrita 23.42%

Toba brechoide 34.18%

INDICE DE CALIDAD DE LA ROCA:

Basalto 41.31% (malo).

Ignimbrita 0% (muy malo).

Toba brechoide 34.85% (malo).

Se ademó el tramo comprendido de 0,00 a 4,00 m de profundidad.

Exploración VII (i) 30° rumbo S70°W.

Estación 0+287.

Elevación 1971,80 m sobre el nivel del mar.

Profundidad 27,50 m.

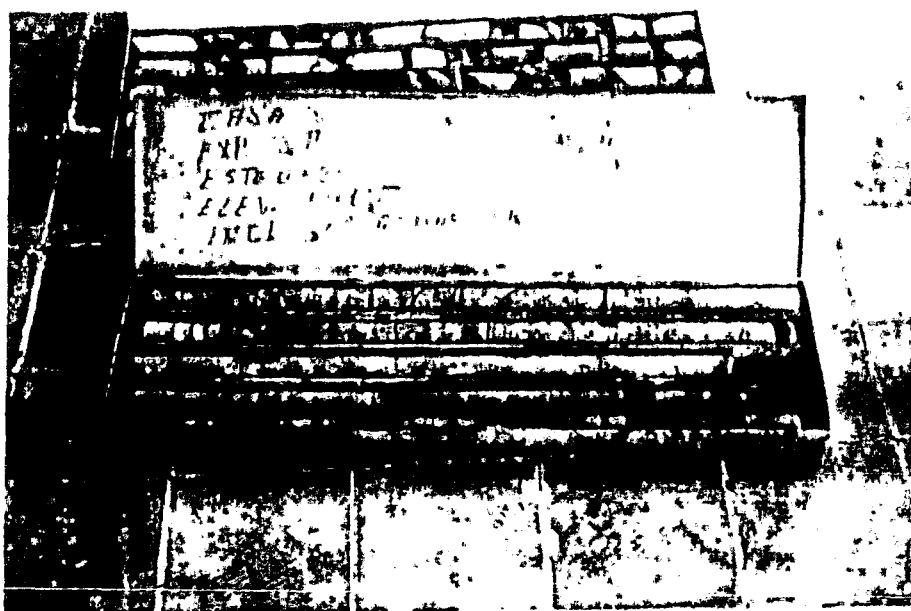
Profundidad en m. de a		Litología.
0,0	2,0	Aluvión constituido de -- fragmentos de basalto e - ignimbrita.
2,0	7,5	Basalto sano.
7,5	10,0	Basalto fracturado.
10,0	12,5	Toba brechoide de composi ción basáltica muy fractu rada.
12,5	18,5	Toba brechoide de composi ción basáltica fracturada.
18,5	22,5	Basalto fracturado con es pejos de falla cuyas in-

Exploración VII (i) 30° rumbo S70°W.

Estación 0 + 261.

Elevación 1971,80 m sobre el nivel del mar.

Profundidad 27,50 m.



Basalto Sano.

Profundidad en m. de a	Litología.
	clinaciones con respecto al eje longitudinal de la perforación son: 45°, 70°, vertical y horizontal.
22.5      27.5	Basalto sano.

## PORCENTAJE DE RECUPERACION:

Basalto 89.11%

Toba brechoide 57.73%

## INDICE DE CALIDAD DE LA ROCA:

Basalto 56.72% (regular).

Toba brechoide 10.40% (muy malo).

Se ademó el tramo comprendido de 0.00 a 1.50 m de  
profundidad.

Exploración VIII (i) 30° rumbo S70°W.

Estación 0+307

Elevación 1987.70 m sobre el nivel del mar.

Profundidad 22.50 m.

Profundidad en m. de a	Litología.
0.0      3.0	Basalto muy fracturado.
3.0      5.0	Basalto vesicular altera- do muy fracturado.
5.0      7.5	Basalto sano.
7.5      20.0	Basalto fracturado, conte- niendo una fractura longi- tudinal de los 12.30 a -- 12.50 m de profundidad.

Profundidad en m. Litología.  
de a

20.0 22.50 Basalto sano.

PORCENTAJE DE RECUPERACION:

Basalto 74.73%

Basalto vesicular 65%

INDICE DE CAITPAP DE LA ROCA:

Basalto 29.41% (malo).

Basalto vesicular 0% (muy malo).

Exploración IX (i) rumbo S70°W.

Estación 0+345

Elevación 1999.60 m sobre el nivel del mar.

Profundidad 37.00 m.

Profundidad en m. Litología.  
de a

0.0 5.0 Basalto muy fracturado.

5.0 10.0 Basalto fracturado.

10.0 13.0 Basalto muy fracturado.

13.0 14.8 Basalto fracturado.

14.8 19.8 Basalto vesicular alterado fracturado.

19.8 22.0 Basalto fracturado.

22.0 27.0 Basalto sano.

27.0 32.5 Basalto fracturado.

32.5 37.0 Basalto sano.

PORCENTAJE DE RECUPERACION:

Basalto 71.5%

Basalto vesicular 60.0%

INDICE DE CALIDAD DE LA ROCA:

Basalto 25.34% (malo).

Basalto vesicular 4.4% (muy malo).

Exploración Ixa (v) \*\*

Estación 0+460

Elevación 2000.80 m sobre el nivel del mar.

Profundidad 19.00 m.

Profundidad en m. Litología.  
de a

0.0 9.0 Basalto de color gris obscuro con textura holocrísalina en una matriz afganítica, poco fracturado; en los planos de fractura se encuentran trazas de óxidos de Fe.

9.0 19.0 Basalto compacto de color gris oscuro, con textura holocrísalina en una matriz afganítica con fenocristales de olivino; poco fracturado; en los planos de fractura, leves trazas de óxidos de Fe.

En esta exploración el promedio de las muestras extraídas fue de 10%, siendo el índice de calidad de la roca de 12.11%, estando considerado dentro de los rangos como muy pobre.

Exploración IXb (v) \*\*

Estación 0+580

Elevación 1999.00 m sobre el nivel del mar.

Profundidad 6.50 m.

Profundidad en m.                          Litología.  
de                                            a

0.0	6.5	Basalto de color gris oscuro fracturado, con textura holocristalina en una matriz afanítica, encontrándose en los planos de fractura óxidos de Fe.
-----	-----	----------------------------------------------------------------------------------------------------------------------------------------------------

En esta exploración, el promedio de las muestras extraídas fue de 18.69%, siendo el índice de calidad de roca de -- 31.69%, estando considerado dentro de los rangos como pobre.

Exploración X (v)

Estación 0+680

Elevación 1998.00 m sobre el nivel del mar.

Profundidad 12.50 m.

Profundidad en m.                          Litología.  
de                                            a

0.0	3.0	Basalto muy fracturado.
3.0	7.5	Basalto fracturado.
7.5	10.5	Basalto sano.
10.5	12.5	Basalto muy fracturado.

PORCENTAJE DE RECUPERACION: 56.16%

INDICE DE CALIDAD DE LA ROCA: 20.48 (muy malo).

## Exploración XII (v)\*\*

Estación 20 m aguas abajo del cednamiento

0+190

Elevación 1910.10 m sobre el nivel del agua.

Profundidad 13.00 m.

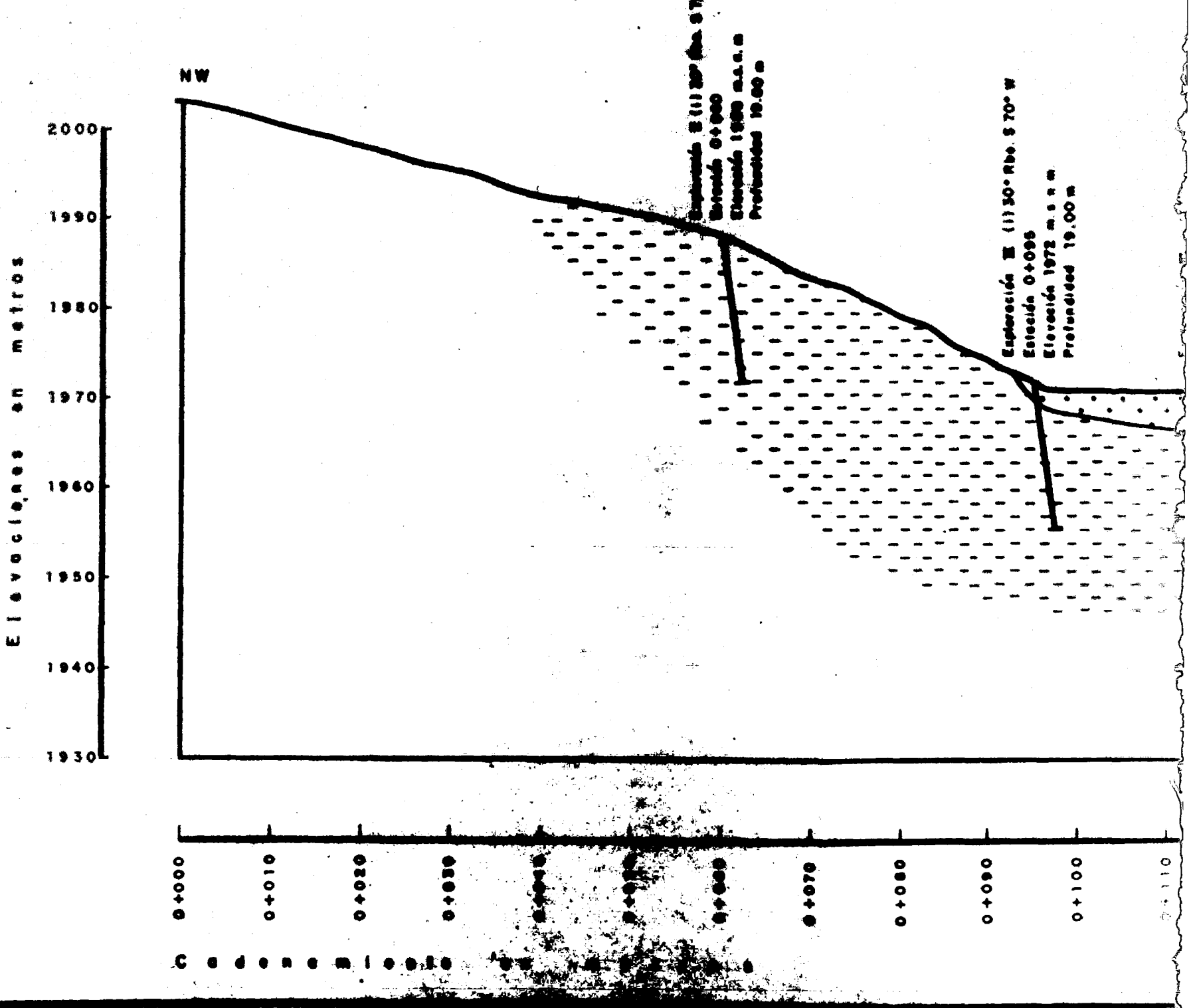
Profundidad en m. de	Litología.
-------------------------	------------

0.0	7.5	Material de acarreo cons- tituido por fragmentos de basalto y de toba rioliti- ca.
1.5	13.0	Basalto fracturado de co- lor gris oscuro, con tex- tura holocristalina en -- una matriz afanítica.

Se ademó de 0.00 a 7.50 m, el espejo del agua de prueba se abatió a la profundidad de 3.50 m.

En esta exploración, el promedio de las muestras extraídas fue de 70.62%, siendo el índice de calidad de la roca, - de 13.43%, estando considerada dentro de los rangos como muy pobre.

# CORTE GEOLOGICO



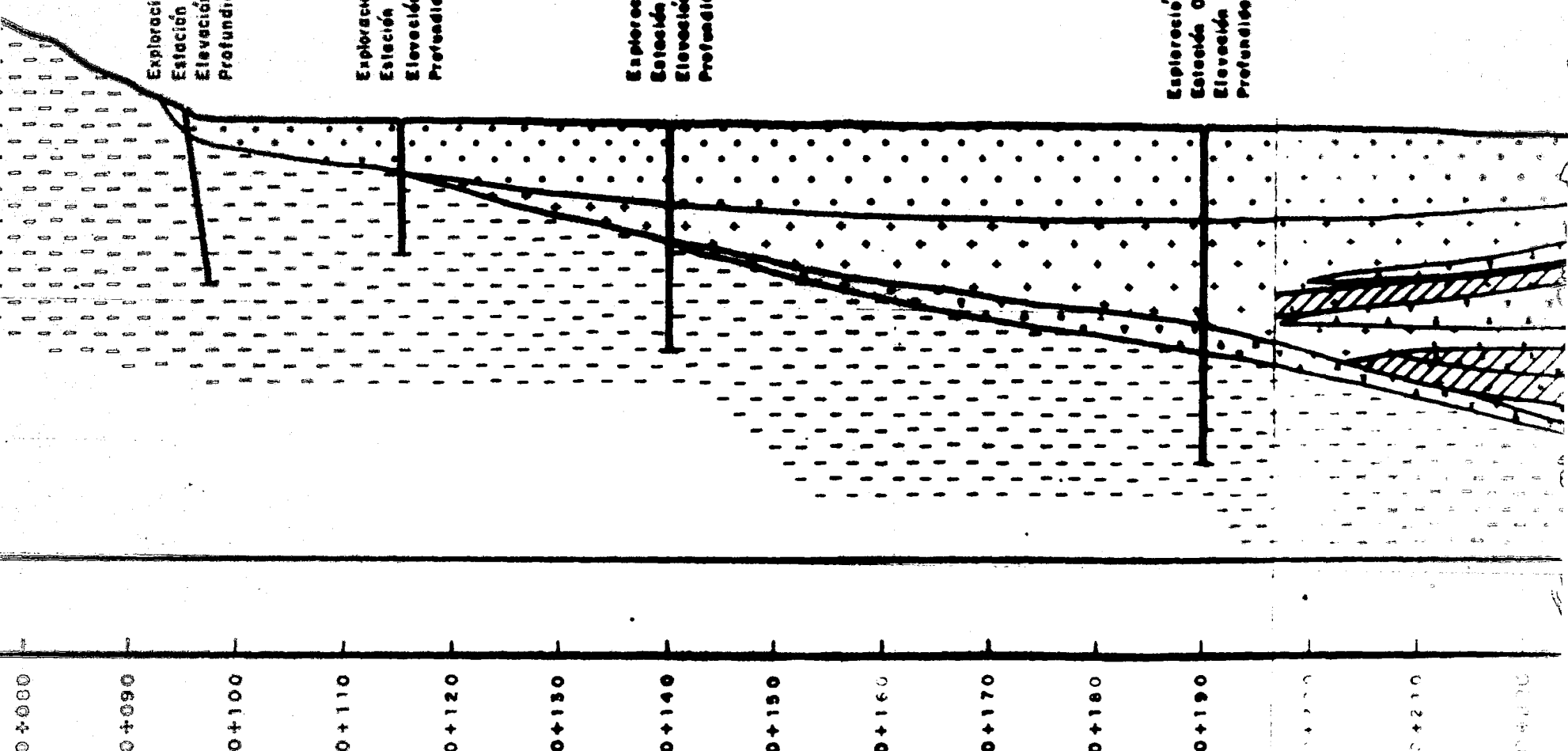
# ESTE GEOLOGICO PROYECTO CANOAS MPIO.

Exploración III (II) 30° Rdo. S 70° W  
Estación Q+095  
Elevación 1972 m.s.n.m.  
Profundidad 19.00 m

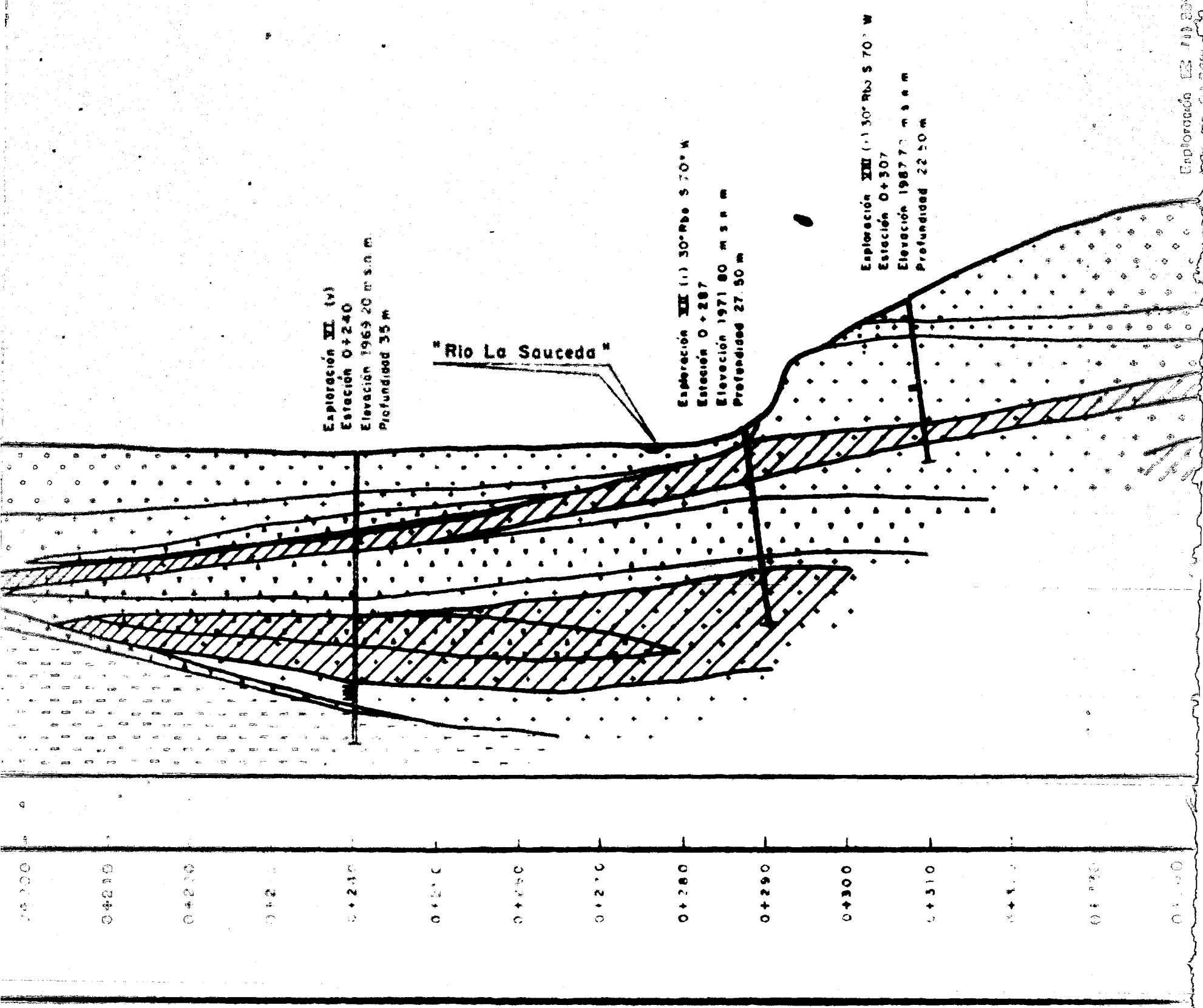
Exploración III (IV)  
Estación Q+115  
Elevación 1970.80 m.s.n.m.  
Profundidad 12.30 m

Exploración III (V)  
Estación Q+140  
Elevación 1970.80 m.s.n.m.  
Profundidad 21.00 m

Exploración III (VI)  
Estación Q+190  
Elevación 1970.10 m.s.n.m.  
Profundidad 31.00 m



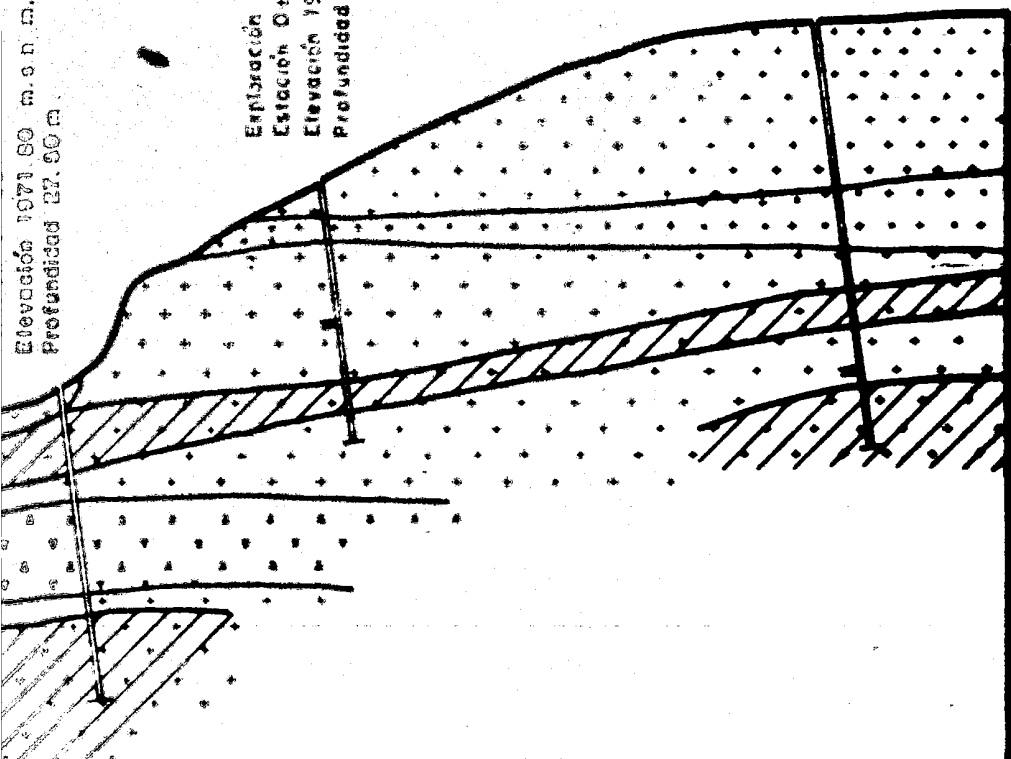
# MPIO. DE CANATLAN, DGO.



Elevación 1071.80 m.s.n.m.  
Profundidad 22.50 m  
Estación Q1 343  
Elevación 1980.70 m.s.n.m.  
Profundidad 22.50 m

Exploración 11130° Rdo S 70° W  
Estación Q1 343  
Elevación 1999.60 m.s.n.m.  
Profundidad 17.00 m

SE

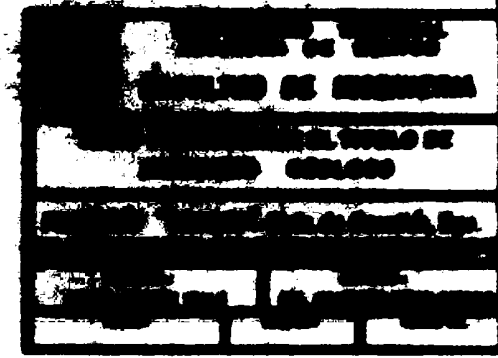
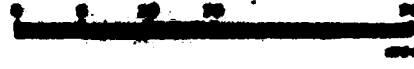


## SÍMBOLOS

- Aluvio
- Sedimentos fluviales
- Basalto
- Tubo Breccia basáltica
- Basalto volcánico
- Contacto litológico
- Exploración
- Excepción de tallo
- Fractura longitudinal
- Muy seco y seco (0%-50%)
- Humedo (50%-100%)

## Rueda de Escala NW-SE

### Escala Gradas



IX.2.

RESULTADO DE LOS POZOS A CIELO ABIERTO SOBRE EL --  
VERTEBOR.

Pozo a cielo abierto Núm. 1.

Estación 0+573.

Profundidad 0.65 m.

Profundidad en m.  
de a

Litología.

0.0 0.2 Tierra vegetal arcillo-li  
mosa, de color café rojizo.

0.2 0.65 Basalto sano de color gris  
oscuro, de textura porfí  
dica, encontrándose frac  
turado.

Pozo a cielo abierto Núm. 2.

Estación 0+621.50

Profundidad 0.55 m.

Profundidad en m.  
de a

Litología.

0.0 0.3 Tierra vegetal arcillo-li  
mosa.

0.3 0.55 Basalto vesicular de co  
lor gris oscuro, de tex  
tura porfídica, encontrán  
dose poco fracturado.

Pozo a cielo abierto Núm. 3.

Estación 0+721.50

Profundidad 0.45 m.

Profundidad en m. de a		Litología.
0.0	0.25	Tierra vegetal arcillosa de color café.
0.25	0.45	Basalto de color gris claro, que intemperiza en color gris oscuro, tiene una textura porfídica, encontrándose poco fracturado.

Pozo a cielo abierto Núm. 4.

Estación 0+771.00

Profundidad 0.45 m.

Profundidad en m. de a		Litología.
0.0	0.30	Tierra vegetal arcillosa de color café.
0.30	0.45	Basalto de color gris claro, intemperiza en color gris oscuro, tiene una textura porfídica, encontrándose poco fracturado.

Pozo a cielo abierto Núm. 5.

Estación 120 m aguas abajo del cednamiento -

0+721.50

Profundidad 0.75 m.

Profundidad en m. de a		Litología.
0.0	0.25	Tierra vegetal arenoso-arcí

Profundidad en m. de a		Litología.
0,25	0,75	Basalto de color gris clá- ro, que intemperiza en co- lor gris oscuro, tiene - textura porfídica, encon- trándose fracturado.
Pozo a cielo abierto Núm. 6.		
Estación 50 m aguas abajo del cedamiento		
0+721.50		
Profundidad 0,35 m.		
Profundidad en m. de a		Litología.
0,0	0,15	Tierra vegetal arenosa llosa de color café.
0,15	0,35	Basalto de color gris clá- ro, que intemperiza de co- lor gris oscuro, tiene - una textura porfídica, en contrándose poco fractura- do.
Pozo a cielo abierto Núm. 7.		
Estación 30 m aguas arriba del cedamiento		
0+671.50		
Profundidad 0,95 m.		
Profundidad en m. de a		Litología.
0,0	0,45	Tierra vegetal arcillosa

Profundidad en m. de a		Grado de Permeabilidad.
15,0	21,0	Zona IMPERMEABLE, no hubo gasto.
El nivel del espejo de agua, se localizó a la profundidad de 5,20 m.		
Exteración 5 (el).		
Estación 6+120		
Elevación 1970,10 m sobre el nivel del mar.		
Profundidad 51,00 m.		
Profundidad en m. de a		Grado de Permeabilidad.
0,0	1,5	Zona POCO PERMEABLE con $8.22 \times 10^{-5}$ em/seg.
1,5	4,5	Tramo no probado, considerando como ALTAMENTE PERMEABLE, ya que no se pudo levantar el nivel del espejo de agua.
4,5	8,5	Zona PERMEABLE con $7.44 \times 10^{-4}$ em/seg.
8,5	11,0	Zona PERMEABLE con 19,83 u.L.
11,0	16,0	Zona POCO PERMEABLE con 10,2 u.L.
16,0	21,0	Zona IMPERMEABLE, no hubo gasto.
21,0	26,0	Zona POCO PERMEABLE con 4,5 u.L.

## X.- PRUEBAS DE PERMEABILIDAD.

Las pruebas de permeabilidad que se practicaron en el sitio donde se pretende construir la cortina y el vertedor de la presa, fueron en su mayoría de tipo Lugeon, ya que las rocas que se probaron son compactas con permeabilidad secundaria, adquirida principalmente por fracturamiento.

Las pruebas de tipo Lebrane, fueron practicadas en el material de acarreo, que se encuentra sobre el cauce de La Boquilla, siendo estas de flujo horizontal variable de descenso, de esta forma se obtienen valores más reales de la permeabilidad del sitio, debido a que el mayor flujo de una corriente subterránea, tiende a ser horizontal.

En base a que la cortina proyectada tiene una altura de 32.00 m, lo que equivale a que la columna de agua ejeriera una presión de  $3.2 \text{ kg/cm}^2$ , las pruebas fueron realizadas con una presión que varió, según el comportamiento del agua en la roca, dentro de un rango de  $2.79 \text{ kg/cm}^2$  hasta  $7.22 \text{ kg/cm}^2$  siendo la media  $4.95 \text{ kg/cm}^2$ .

Por lo expuesto, durante la interpretación de las pruebas de tipo Lugeon, hubo necesidad de interpolar los valores

para la presión de  $10 \text{ kg/cm}^2$ , ya que es condición existente en la medida de las unidades Lugeon, que 1 U.L. (unidad Lugeon), es igual al consumo de un litro de agua por un minuto, en un metro, aplicando una presión de  $10 \text{ kg/cm}^2$ .

Dicha interpolación se realizó después de haber analizado el comportamiento del agua dentro de la roca, tomándose como punto de referencia aquel que tuviera una mayor tendencia a la permeabilidad.

X.I. - RESULTADOS DE LAS PRUEBAS DE PERMEABILIDAD.

Exploración I (i) 30° rumbo S70°W\*\*

Estación 0+000

Elevación 1998,00 m sobre el nivel del mar.

Profundidad 6,50 m.

Profundidad en m. de	a	Grado de Permeabilidad.
-------------------------	---	-------------------------

0,0	1,5	Tramo no probado por no sellar empaques.
-----	-----	------------------------------------------

1,5	6,5	Tramo IMPERMEABLE con 2,9 H.L. a una presión de prueba de 1,3 $\text{kilom}^2$ a un gasto de 2 $\text{litros/min/m}$ , no levantando más presión hidrostática, debido a fugas superficiales.
-----	-----	----------------------------------------------------------------------------------------------------------------------------------------------------------------------------------------------

Exploración II (i) 30° rumbo S70°W.

Estación 0+000

Elevación 1988,00 m. sobre el nivel del mar.

Profundidad 19,00 m.

Profundidad en m. de	a	Grado de Permeabilidad.
-------------------------	---	-------------------------

0,0	4,0	Tramo no probado por no sellar empaques.
-----	-----	------------------------------------------

4,0	9,0	Zona IMPERMEABLE con 0,0 H.L.
-----	-----	-------------------------------

\*\*. Este barreno fue clasificado por personal técnico de la Subdirección Regional Norte de la S.A.R.H.

Profundidad en m.,      Grado de Permeabilidad.  
de                            a

9,0      14,0      Zona PERMEABLE con 0,0,

U.L.

14,0      19,0      Zona IMPERMEABLE con 0,0,  
                              U.L.

Exploración III (c) 80° rumbo S70°W.

Estación 0+095

Elevación 1972,00 m sobre el nivel del mar.

Profundidad 19,00 m.

Profundidad en m.,      Grado de Permeabilidad.  
de                            a

0,0      4,0      Tramo no probado por no  
                              tener empaques.

4,0      9,0      Zona POCO PERMEABLE con -  
                              3,45 U.L.

9,0      14,0      Zona IMPERMEABLE con 1,44  
                              U.L.

14,0      19,0      Zona IMPERMEABLE con 1,18  
                              U.L.

Exploración IIIa (vi).

Estación 0+115.

Elevación 1910,80 m sobre el nivel del mar.

Profundidad 12,30 m.

Profundidad en m.,      Grado de Permeabilidad.  
de                            a

0,0      3,0      Zona IMPERMEABLE con 1,56  
                               $\times 10^{-6}$  cm/seg.

3,0      5,0      Tramo no probado, conside-  
                              rándolo como ALTAMENTE --  
                              PERMEABLE, ya que no se -

Profundidad en m.      Grado de Permeabilidad.  
de                          a

pudo subir el nivel del  
espejo de agua.

5,0      11,0      Zona PERMEABLE con 23 U.L.

11,0      12,3      Zona IMPERMEABLE, no hubo  
gasto.

El nivel del espejo de agua se localizó a la pro-  
fundidad de 3,40 m.

#### Exploración IV (v)

Estación 0+140

Elevación 1970,50 m sobre el nivel del mar.

Profundidad 21,00 m.

Profundidad en m.      Grado de Permeabilidad.  
de                          a

-      0,0      3,0      Tramo no probado, conside-  
rándolo ALTAMENTE PERMEA-  
BLE, ya que no se pudo le-  
vantar el nivel del espe-  
jo de agua.

3,0      5,0      Tramo no probado, conside-  
rándolo como ALTAMENTE --  
PERMEABLE, ya que no se  
pudo levantar el nivel  
del espejo de agua.

5,0      11,0      Tramo no probado por no  
sellarse empaques.

11,0      16,0      Zona IMPERMEABLE con 0,0  
U.L.

Profundidad en m.      Grado de Permeabilidad.  
de                          a

16.0      21.3      Zona IMPERMEABLE, no hubo  
gasto.

El nivel del espejo de agua, se localizó a la pro-  
fundidad de 3.20 m.

Exploración V (v).

Estación 0+190

Elevación 1970.10 m sobre el nivel del mar.

Profundidad 31.00 m.

Profundidad en m.      Grado de Permeabilidad.  
de                          a

0.0      1.5      Zona POCO PERMEABLE con -  
                               $8.22 \times 10^{-5}$  cm/seg.

1.5      4.5      Tramo no probado, consideré  
                              rándolo como ALTAMENTE --  
                              PERMEABLE, ya que no se -  
                              pudo levantar el nivel --  
                              del espejo de agua.

4.5      8.5      Zona PERMEABLE con  $7.44 \times$   
                               $10^{-4}$  cm/seg.

8.5      11.0      Zona PERMEABLE con  $19.83$  U.L.

11.0      16.0      Zona POCO PERMEABLE con -  
                              10.2 U.L.

16.0      21.0      Zona IMPERMEABLE, no hubo  
gasto.

21.0      26.0      Zona POCO PERMEABLE con -  
                              4.5 U.L.

Profundidad en m. de a	Grado de Permeabilidad.
25,0 - 27,0	Zona IMPERMEABLE con 0,0 u.l.
27,0 - 30,0	Zona IMPERMEABLE con 0,0 u.l.

El nivel del estrato de agua, se localizó a los 2,60 m de profundidad.

#### Exploración VI (v).

##### Estación 6770

Elevación 1969,20 m sobre el nivel del mar.

Profundidad 35,00 m.

Profundidad en m. de a	Grado de Permeabilidad.
0,0 - 1,5	Zona POCO PERMEABLE con $1,42 \times 10^{-5}$ cm/seg.

1,5 - 3,0	Zona PERMEABLE con $2,90 \times 10^{-4}$ cm/seg.
3,0 - 5,0	Zona POCO PERMEABLE con $1 \times 10^{-5}$ cm/seg.

5,0 - 10,0	Zona IMPERMEABLE con 0,58 u.l.
10,0 - 15,0	Zona IMPERMEABLE con 0,12 u.l.

15,0 - 20,0	Zona POCO PERMEABLE con 9 u.l.
20,0 - 25,0	Zona IMPERMEABLE con 0,62 u.l.

25,0 - 30,0	Zona IMPERMEABLE con 0,45 u.l.
-------------	-----------------------------------

Profundidad en m.,      Grado de Permeabilidad,  
de                            g.

50,0      35,0      Zona IMPERMEABLE con 0,35  
                              U.L.

El nivel del espejo de agua se localizó a los 0,35  
m de profundidad y descendió hasta los 3,50 m, se-  
gún avanzó la perforación.

Exploración VII (i) 30° rumbo S70°W.

Estación 0+287

Elevación 1971,50 m sobre el nivel del mar.

Profundidad 27,50 m.

Profundidad en m.,      Grado de Permeabilidad,  
de                            g.

0,0      2,5      Tramo no probado por ser  
                              acantilados.

2,5      7,5      Zona IMPERMEABLE con 0,44  
                              U.L.

7,5      12,5      Zona IMPERMEABLE con 0,27  
                              U.L.

12,5      17,5      Zona PERMEABLE con 16,90  
                              U.L.

17,5      22,5      Zona POCO PERMEABLE con  
                              8,5 U.L.

22,5      27,5      Zona IMPERMEABLE con 0,21  
                              U.L.

Exploración VIII (i) 30° rumbo S70°W.

Estación 0+307

Elevación 1987,70 m sobre el nivel del mar.

Profundidad 22,50 m.

Profundidad en m. de a		Grado de Permeabilidad.
0.0	2.5	Tramo no probado por no sellar empaques.
2.5	7.5	Tramo no probado, considerando lo como ALTAMENTE -- PERMEABLE, ya que no le- vantó presión.
7.5	12.5	Zona MUY PERMEABLE con -- 36.25 U.L.
12.5	17.5	Zona POCO PERMEABLE con -- 8.9 U.L.
17.5	22.5	Zona IMPERMEABLE con 1.1 U.L.

Exploración IX (i) 30° rumbo S70°W.

Estación 0+345

Elevación 1999.60 m sobre el nivel del mar.

Profundidad 37 m.

Profundidad en m. de a		Grado de Permeabilidad.
0.0	5.0	Tramo no probado por no sellar empaques.
5.0	10.0	Zona POCO PERMEABLE con -- 4.52 U.L.
10.0	15.0	Zona ALTAMENTE PERMEABLE con 46.5 U.L.
15.0	20.0	Zona PERMEABLE con 14.0 - U.L.

Profundidad en m. de a		Grado de Permeabilidad.
20,0	22,0	Tramo no probado ALTAMENTE PERMEABLE, ya que no levantó presión.
22,0	27,0	Zona IMPERMEABLE con 0,29 u. L.
27,0	32,0	Zona IMPERMEABLE con 0,40 u. L.
32,0	37,0	Zona IMPERMEABLE con 0,28 u. L.

*Exploración IXa (v) \*\**

*Estación 0+460*

*Elevación 2000,80 m sobre el nivel del mar.*

*Profundidad 19,00 m.*

Profundidad en m. de a		Grado de Permeabilidad.
4,0	9,0	Tramo MUY PERMEABLE con 30,5 u. L.
9,0	14,0	Tramo PERMEABLE con 19,5 u. L.
14,0	19,0	Tramo POCO PERMEABLE con 7,3 u. L.

*Exploración IXb (v) \*\**

*Estación 0+580*

*Elevación 1999,00 m sobre el nivel del mar.*

*Profundidad 6,50 m.*

Profundidad en m.      Grado de Permeabilidad.  
 de                        a

2.0	6.5	Tramo MUY PERMEABLE con - 24.91 U.L.
-----	-----	-----------------------------------------

*Exploración X (v)*

*Estación 0+680*

*Elevación 1998.00 m sobre el nivel del mar.*

*Profundidad 12.50 m.*

Profundidad en m.      Grado de Permeabilidad.  
 de                        a

0.0	2.5	Tramo no probado por no - sellar empaques.
-----	-----	-----------------------------------------------

2.5	7.5	Zona PERMEABLE con 15.6 - U.L.
-----	-----	-----------------------------------

7.5	12.5	Zona IMPERMEABLE con 0.37 U.L.
-----	------	-----------------------------------

*Exploración XII (v)\*\**

*Estación 20 m aguas abajo de la estación - - -  
0+190*

*Elevación 1970.10 m sobre el nivel del mar.*

*Profundidad 13.00 m.*

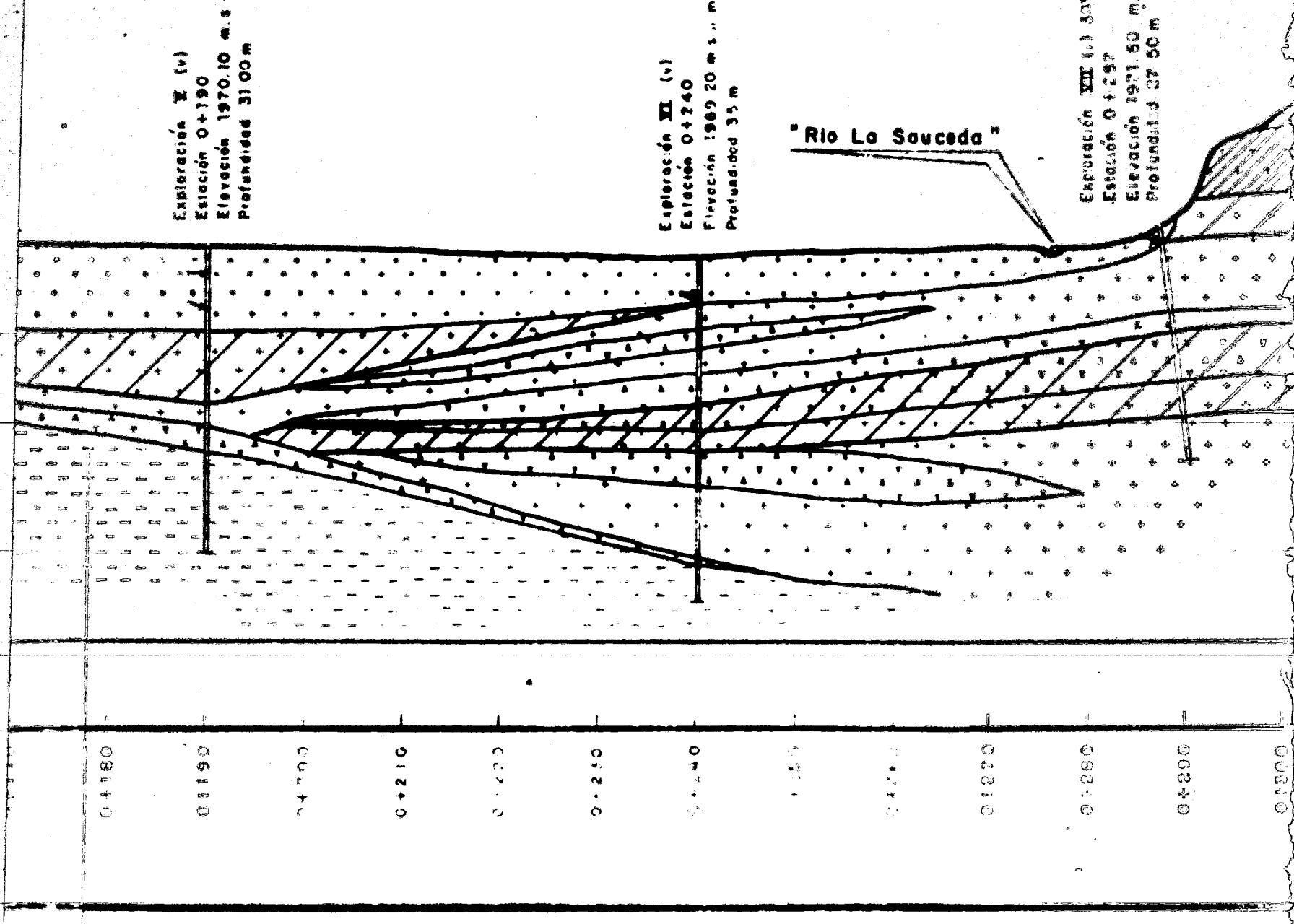
Profundidad en m.      Grado de Permeabilidad.  
 de                        a

0.0	3.0	Tramo PERMEABLE con un -- coeficiente de permeabili - dad, de $K=2.04 \times 10^{-4}$ - - cm/seg.
-----	-----	------------------------------------------------------------------------------------------------------------

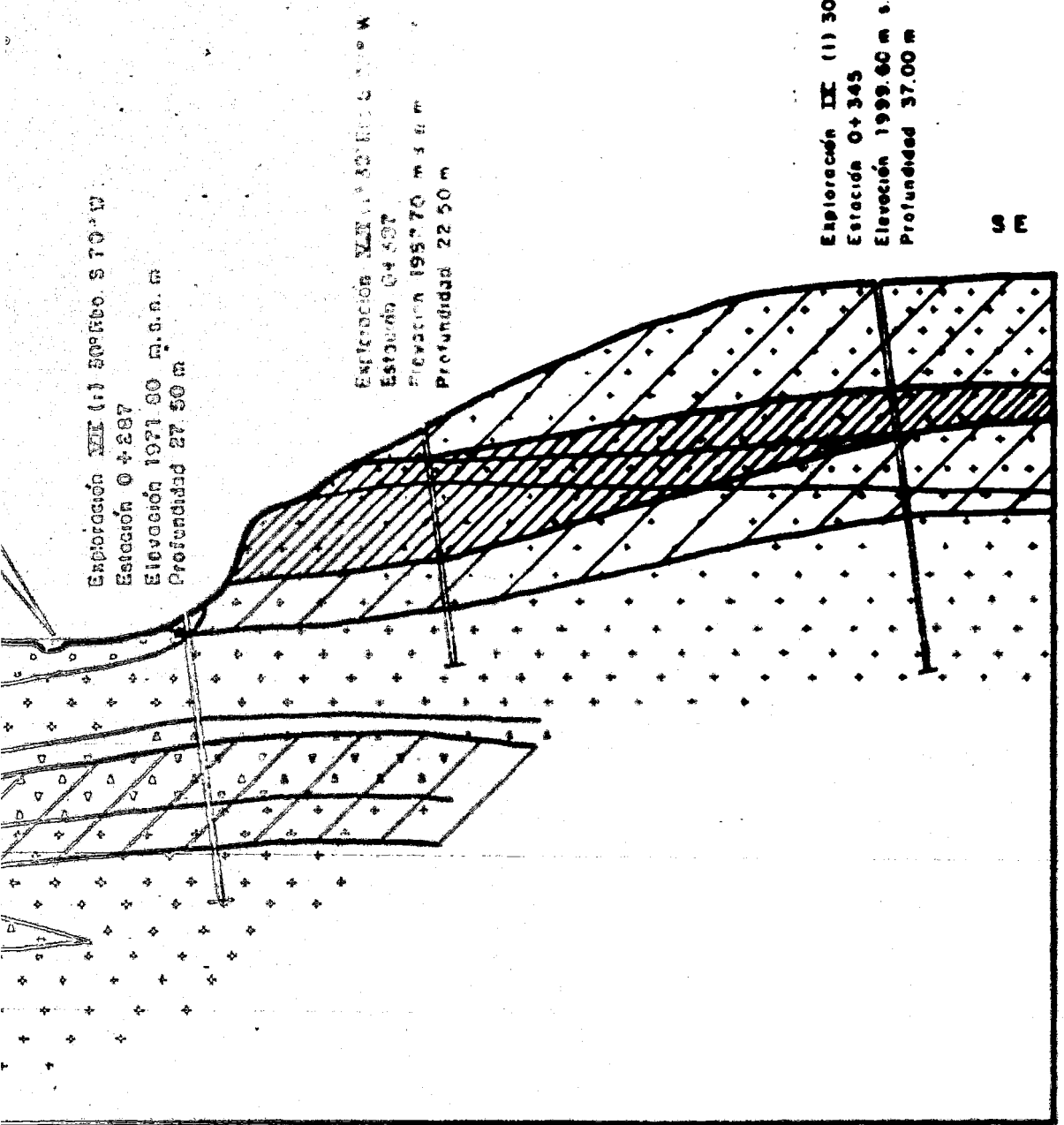
3.0	4.50	Tramo PERMEABLE con un -- coeficiente de permeabili - dad de $K=1.18 \times 10^{-4}$ - - cm/seg.
-----	------	-----------------------------------------------------------------------------------------------------------

<i>Profundidad en m.</i>	<i>de a</i>	<i>Grado de Permeabilidad.</i>
4.5	8.0	Tramo PERMEABLE con un -- coeficiente de permeabili- dad de $K = 2.92 \times 10^{-1}$ cm/seg.
8.0	13.0	Tramo muy PERMEABLE con -- 26.42 u.L.

# A N D A S M P I O . D E C A N A T L A N , D E C .



D.G.E.



## SIMBOLOGIA

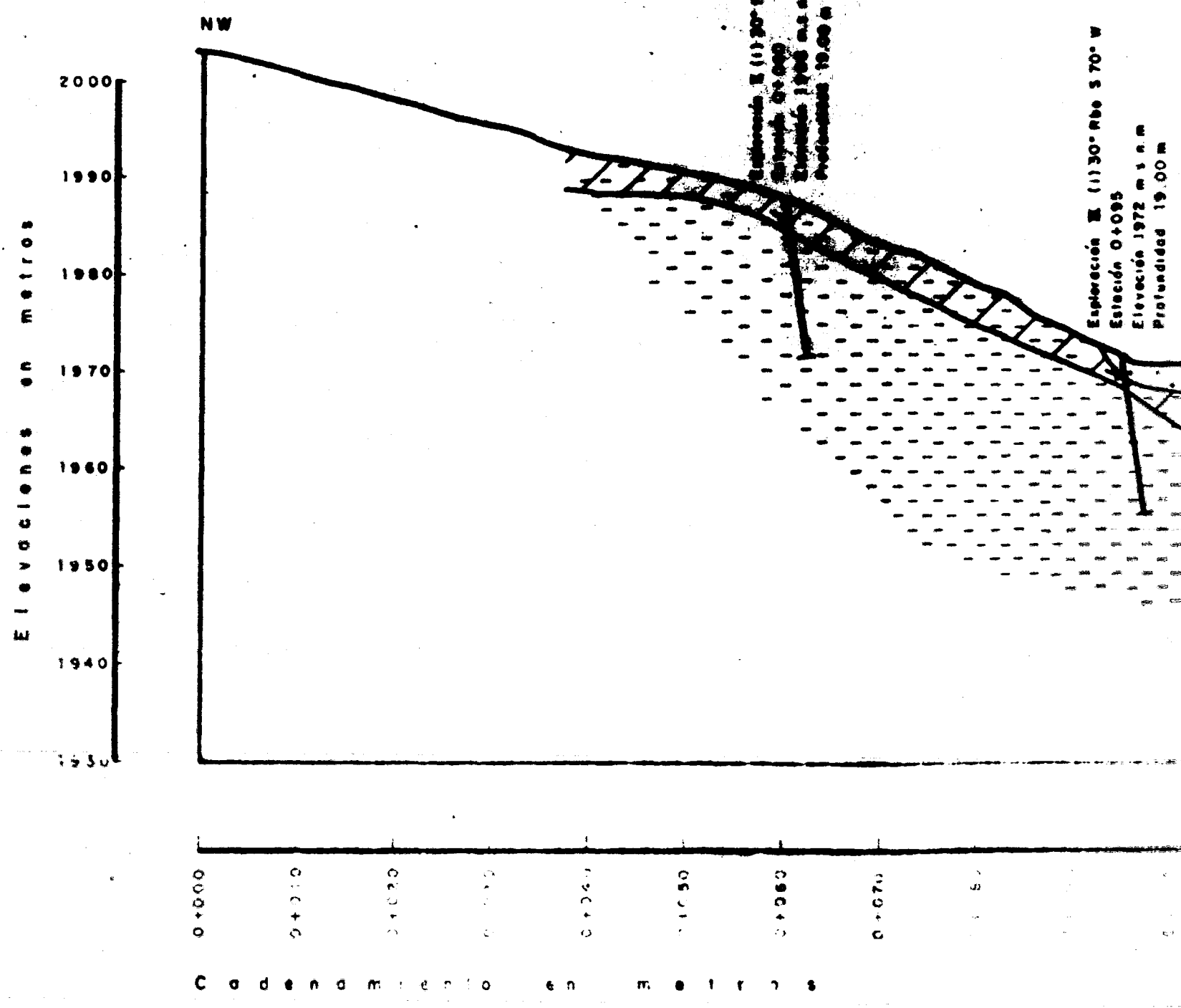
- [Symbol: Dots] Aluvión
- [Symbol: Horizontal lines] Ignimbrita riolítica
- [Symbol: Cross-hatch] Basalto
- [Symbol: Vertical lines] Toba brecholita basáltica
- [Symbol: Dotted lines] Basalto vesicular
- [Symbol: Dashed lines] Contacto litológico
- [Symbol: Diagonal lines] Exploración
- [Symbol: Crossed lines] Espejo de agua
- [Symbol: Hatched area] Muy permeable (38 U.L. a 47 U.L.) y altamente permeable
- [Symbol: Diagonal lines] Permeable (8 U.L. a 23 U.L.) y poco permeable
- [Symbol: White area] Impermeable (0 U.L. a 3.5 U.L.)
- [Symbol: Vertical line with cross] Profundidad del adamo
- [Symbol: Horizontal line with cross] Nivel del espejo de agua

Rumbo de Sección NW 07° SE

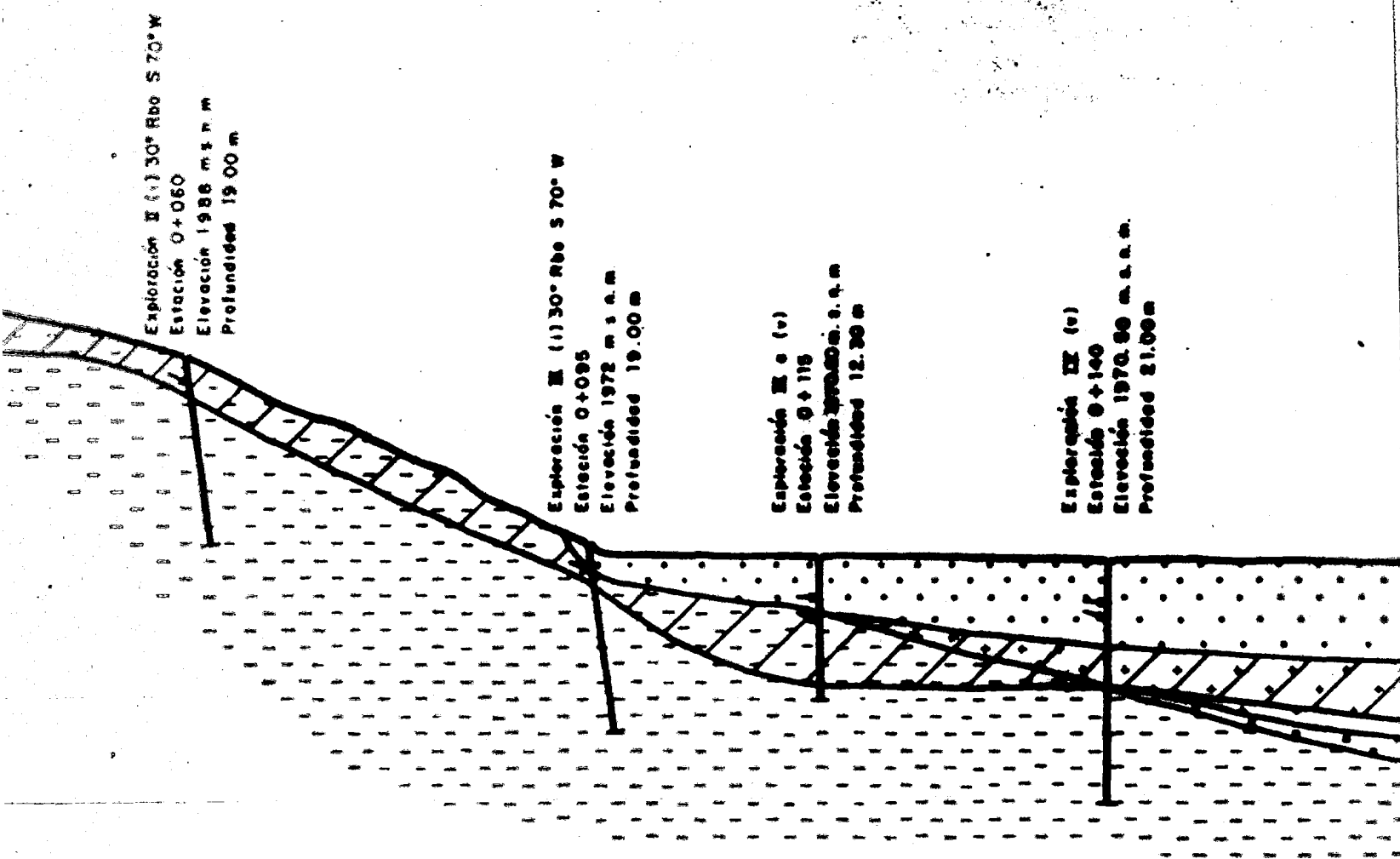
Escala Gráfica  
0 5 10 15 20  
mts.

UNIVERSIDAD NACIONAL AUTÓNOMA DE MÉXICO	
FACULTAD DE INGENIERIA	
TÍTULO PARA OBTENER EL TÍTULO DE INGENIERO GEOLOGO	
PROYECTO "Cerro de la Cima" ESTACIÓN: 0+345 ELEVACIÓN: 1999.80 m.s.n.m. PERIODICIDAD: ANUAL	
FECHA:	ESTADÍSTICA:
ESTADÍSTICA:	FECHA:

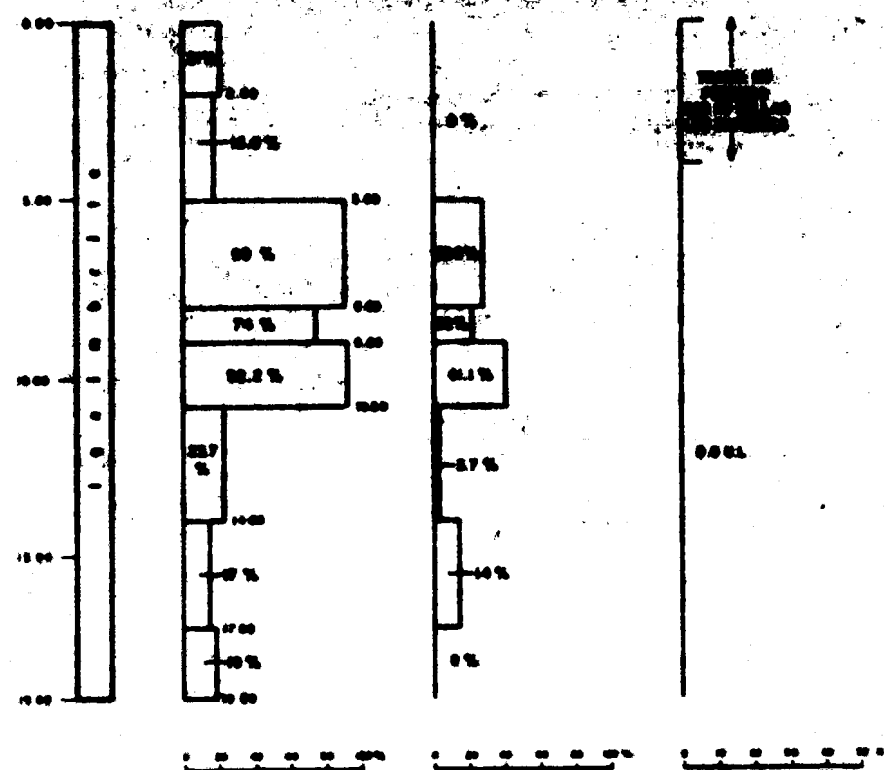
ESTE - OESTE



# CORTE GEOLOGICO PROYECTO



0  
1  
2  
3  
4  
5  
6  
7  
8  
9  
M 0 1 2 3 4

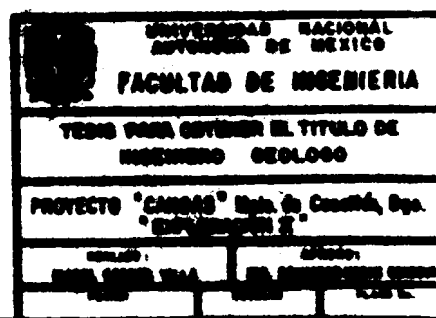


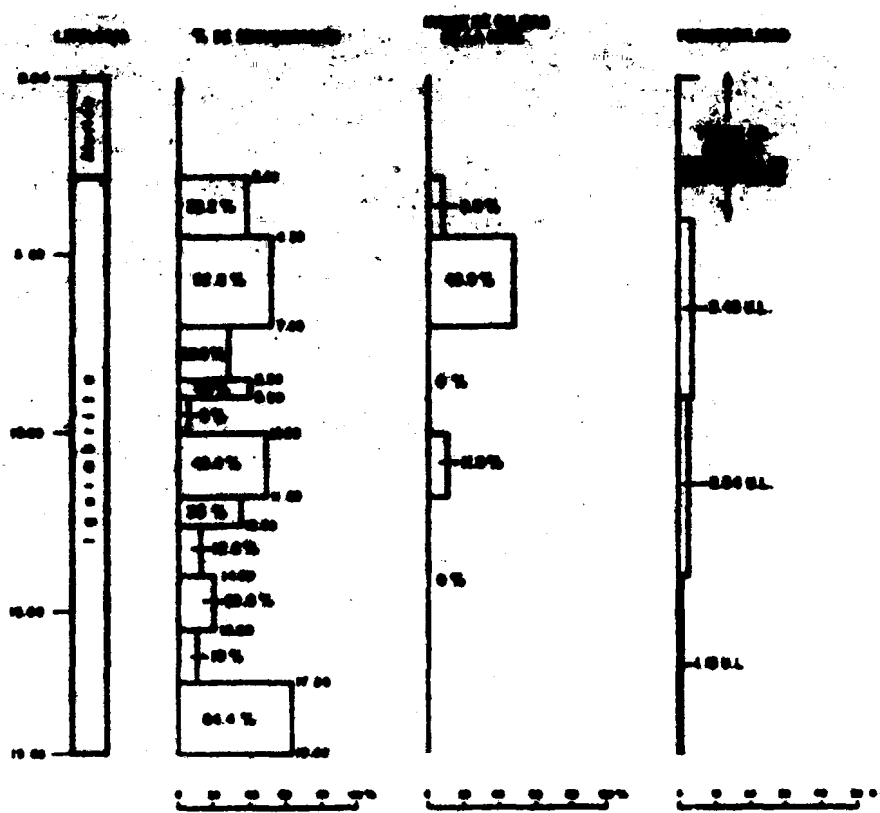
**RECUPERACION**

Tipos de rocas      Longitud      Porcentaje  
                        7.07 m      40.3 %

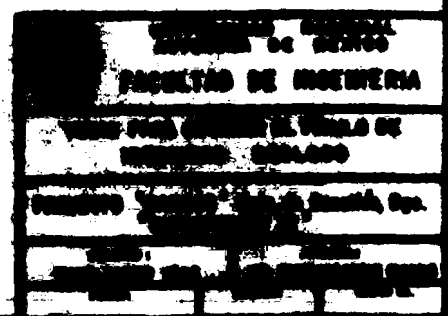
**TIPOS DE CEDIDA**

Tipos de rocas      Longitud      Porcentaje  
                        2.30 m      12.42 % (muy seca)





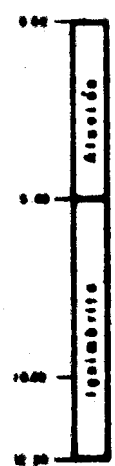
RESPUESTAS  
Largo: 0.005  
Ancho: 0.015  
  
RESPUESTAS  
Largo: 0.005  
Ancho: 0.005 (muy fino)



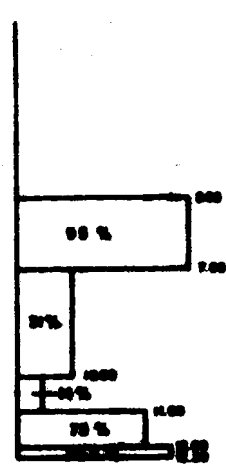
**EXPLORACIONES 601**

ENTERRADO 0+16  
ALTURA 1.070,00 m.s.m.  
PERÍODO 10.30 min.

LITÓLOGIA



% DE HUMEDAD



TIPO DE SUELO



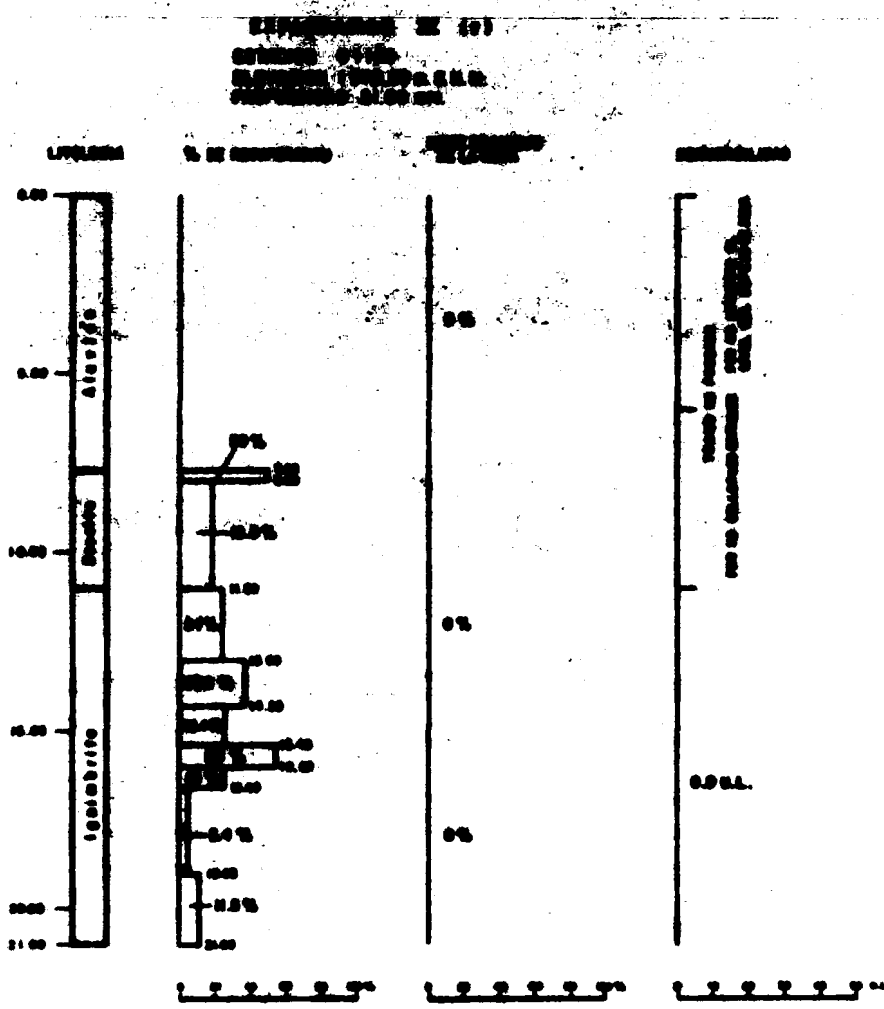
PERMISIBILIDAD



RECOPILACIÓN  
Largo: 3.00 m  
Ancho: 0.40 m

TIPO DE SUELO  
Largo: 0.00 m  
Ancho: 0.40 m (mínimo)





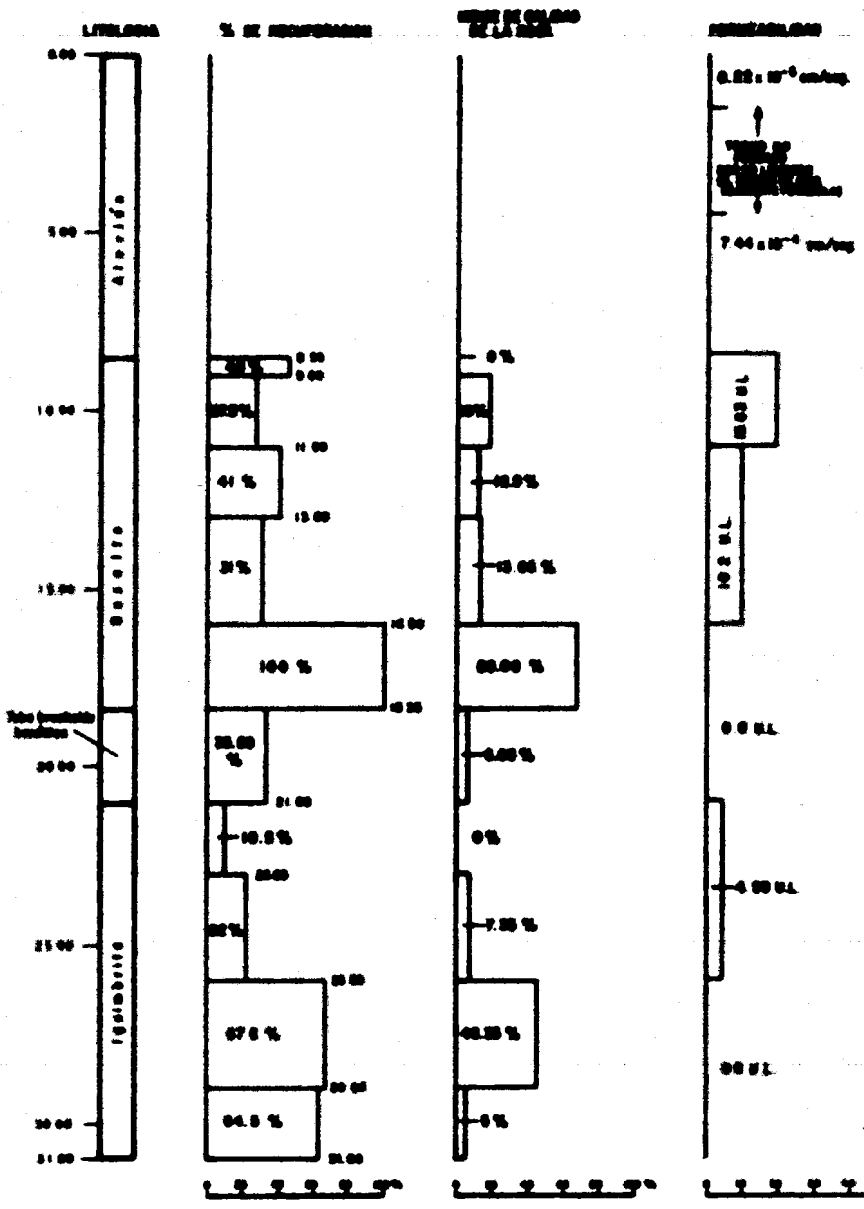
**RECUPERACIONES**

Benceno	Liquido	0.71 g.
	Residuo	0.01 g.
Tolueno	Liquido	2.00 g.
	Residuo	0.0 g.
Metanol	Liquido	0.0 g.
	Residuo	0.0 (muy poco)
Etileno	Liquido	0.0 g.
	Residuo	0.0 (muy poco)



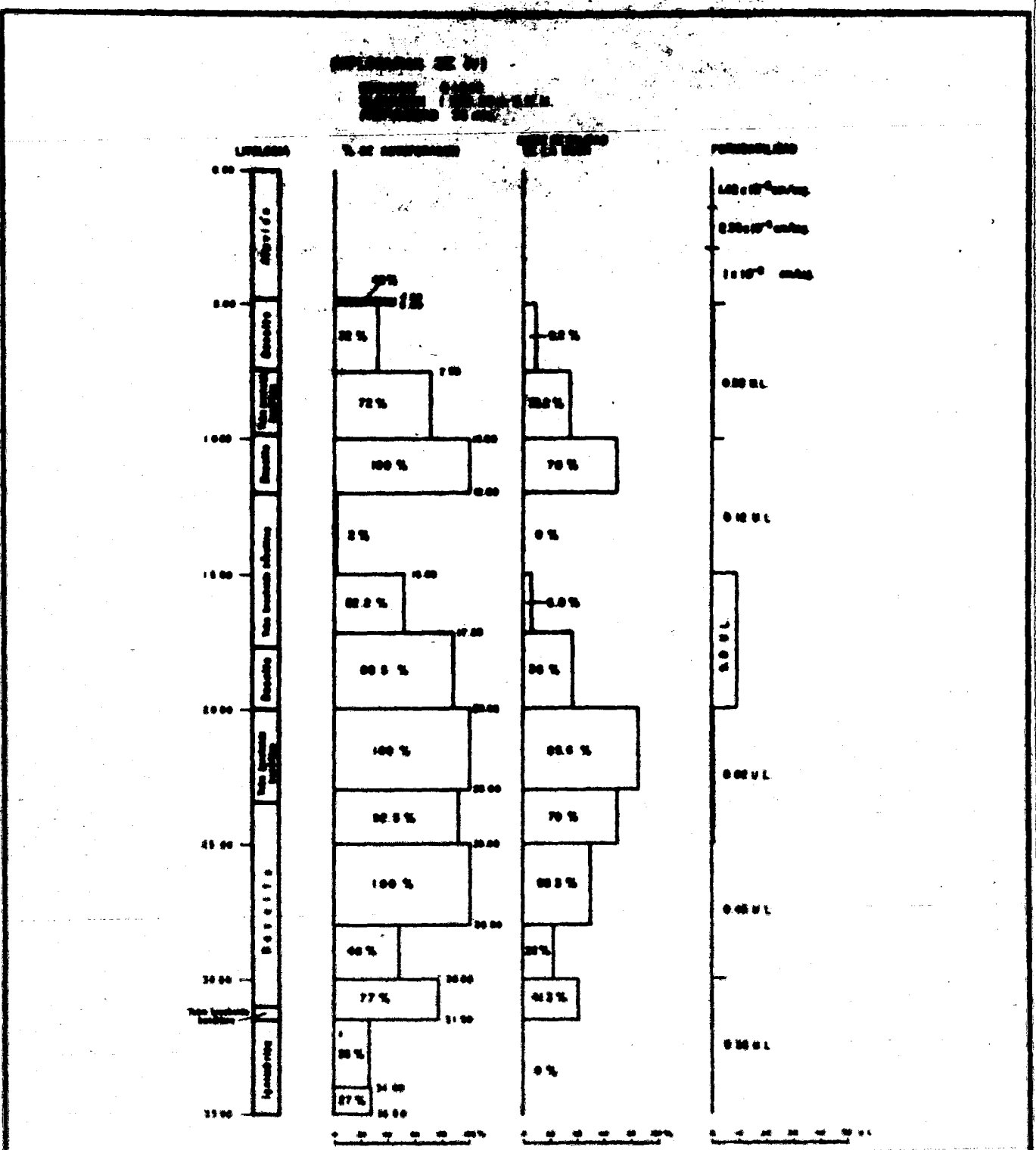
**EXPLORACION X (e)**

DIRECCION 0+150  
ALTURA 1.970,10 m.s.m.  
PROFUNDIDAD 31,00 m.s.



Agua	Largo	0.00 m
	Permeo	0.04 m
Agua	Largo	0.00 m
	Permeo	0.00 m
Agua	Largo	0.10 m
	Permeo	0.10 m
Agua	Largo	0.04 m
	Permeo	0.00 m (m.s.)
Agua	Largo	0.10 m
	Permeo	0.00 m (m.s.)
Agua	Largo	0.10 m
	Permeo	0.00 m (m.s.)





**INDICE DE CALIDAD DE LA Roca**

Basalto	Largitud	3.90 m.
	Porcentaje	41.31% (total)
Tiza Basáltica	Largitud	4.22 m
Basaltico	Porcentaje	34.68% (total)

Igneobasalto Largitud 0.00 m  
Porcentaje 0 % (muy poco)

**RECUPERACION:**

Basalto	Largitud	11.10 m
	Porcentaje	77.10%
Tiza Basáltica	Largitud	4.17 m
Basaltico	Porcentaje	34.18%

Igneobasalto Largitud 0.00 m  
Porcentaje 0 % (muy poco)

UNIVERSIDAD NACIONAL  
AUTONOMA DE MEXICO

FACULTAD DE INGENIERIA

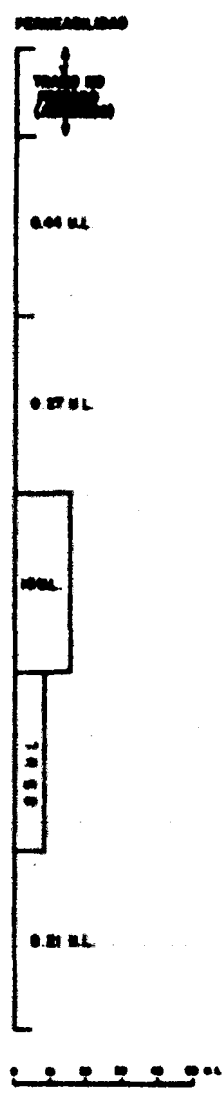
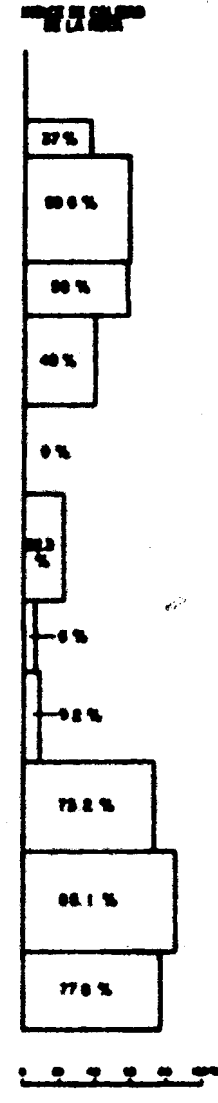
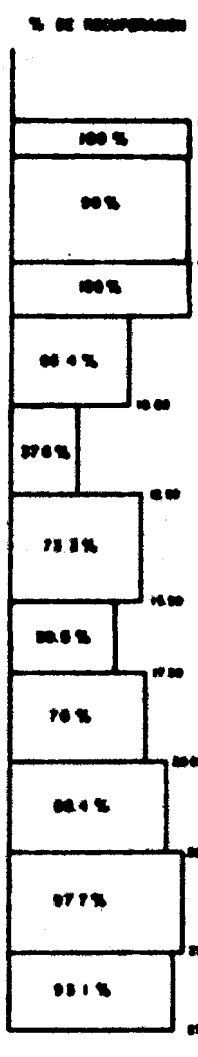
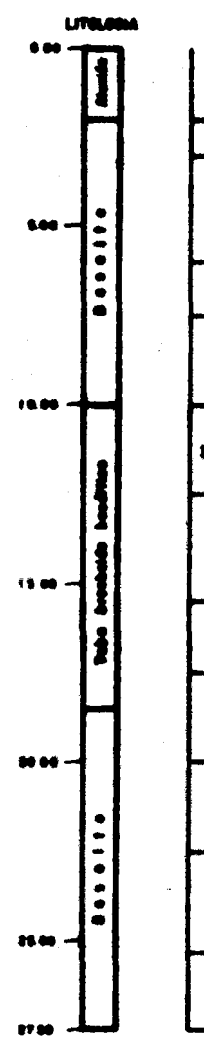
TERMO PARA OBTENER EL TITULO DE  
INGENIERO GEOLOGO

PROYECTO "CAMINAS" Ejec. de Construcción, Dgo.  
"EXPLOITACIONES DE"

ESTADO: DGO. CIUDAD: LEON. PROFESSION: GEOL.

EXPLORACION III (1) 35° Sdo. 97° W

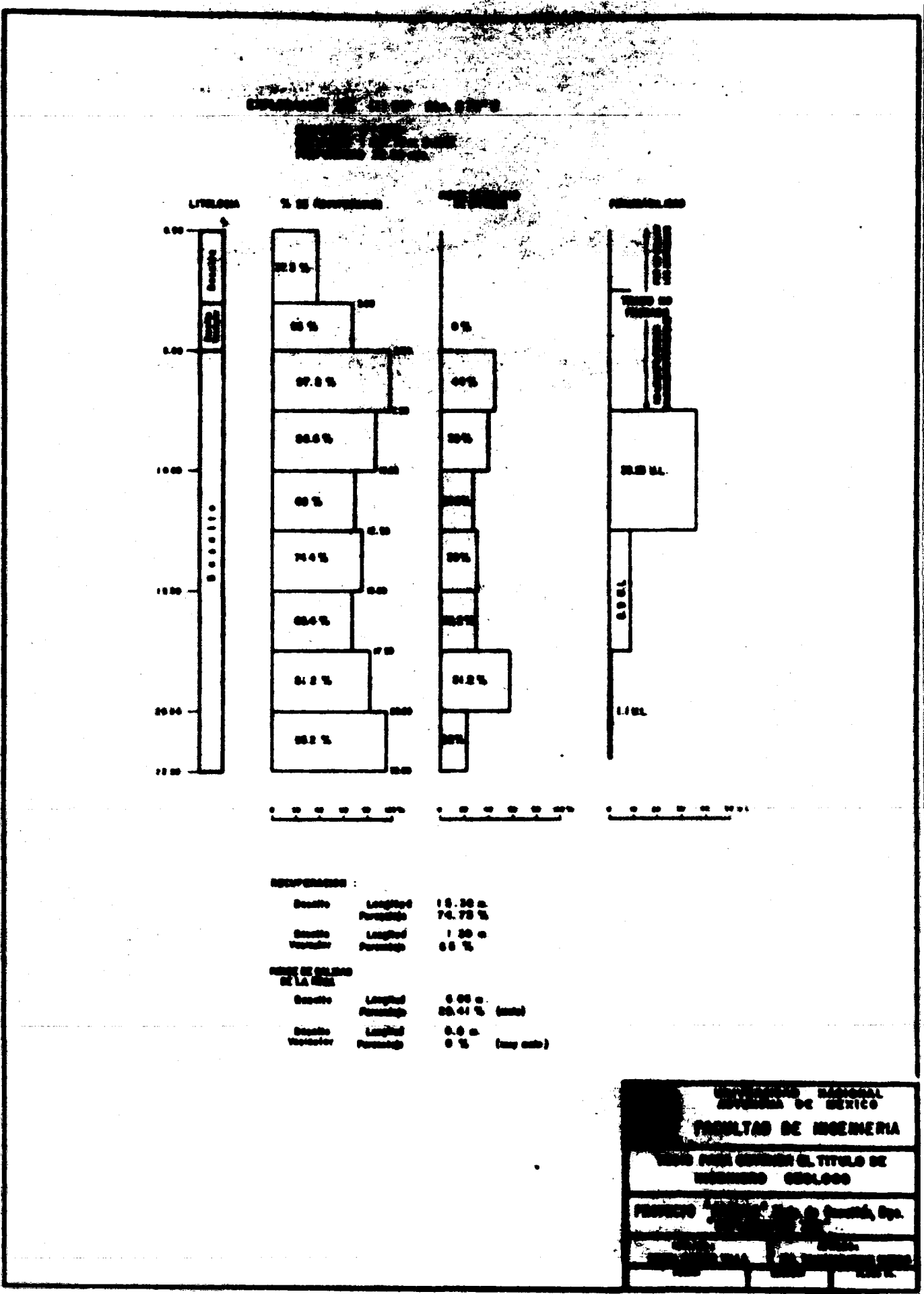
SONDAS 0-207  
PROFUNDIDAD 27.00 m. A.M.  
PERIODICIDAD 27.00 ms.



RECUPERACION

TIPO	LARGO	PERCENTAJE
Resistente	10.04 m	
Permeable	00.11 m	
Tipo general	0.93 m	
Resistente	07.78 m	
TIPO	LARGO	PERCENTAJE
Resistente	10.81 m	
Permeable	00.72 m (segundo)	
Tipo general	0.70 m	
Resistente	10.40 m (segundo)	

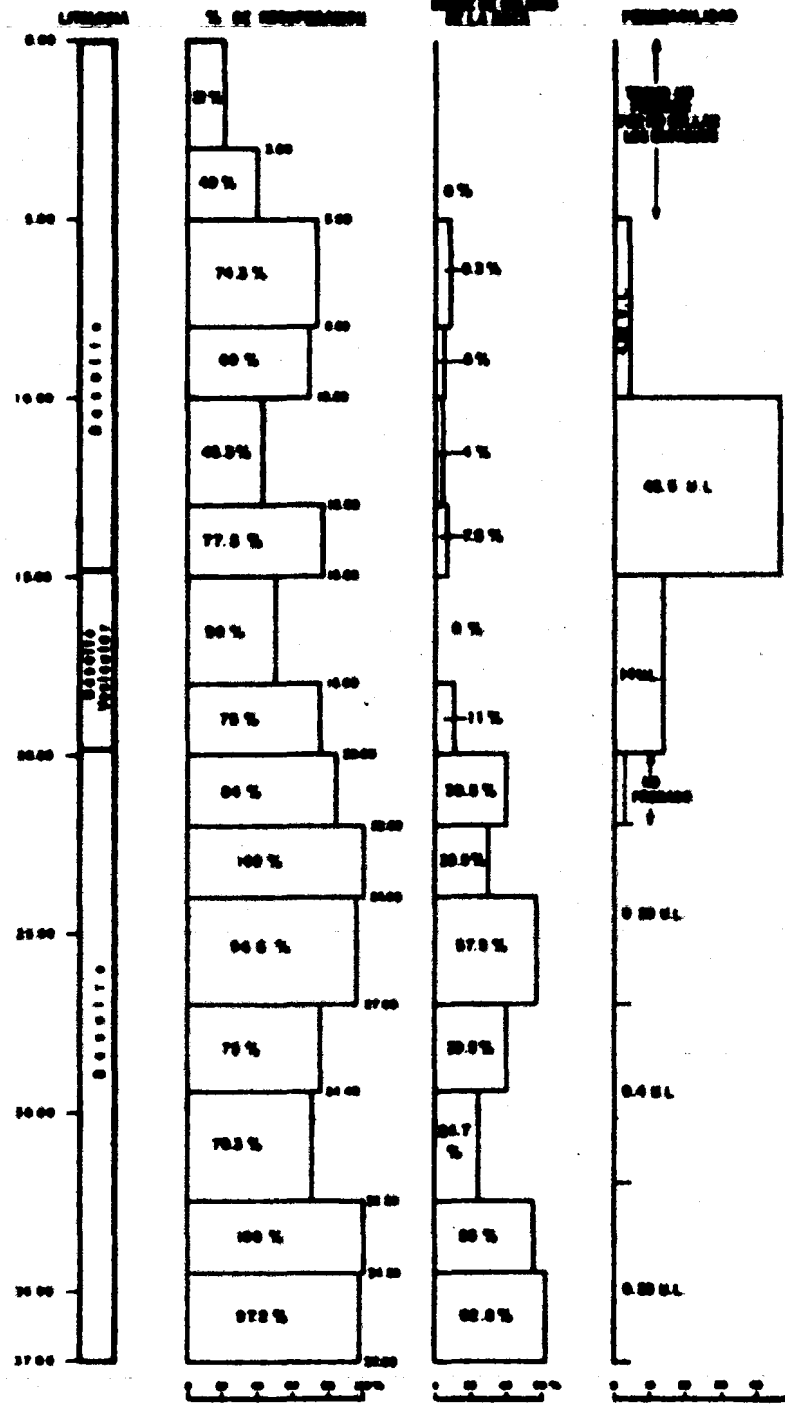




EXPLORACION DE (1) DP. Nro. 2709 W

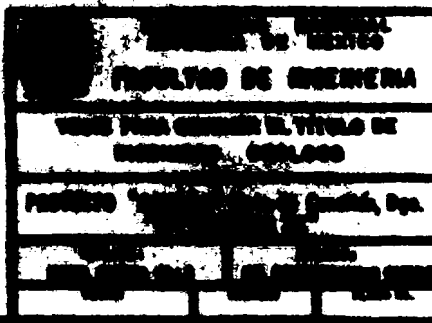
1000' 1000' 1000' 1000'

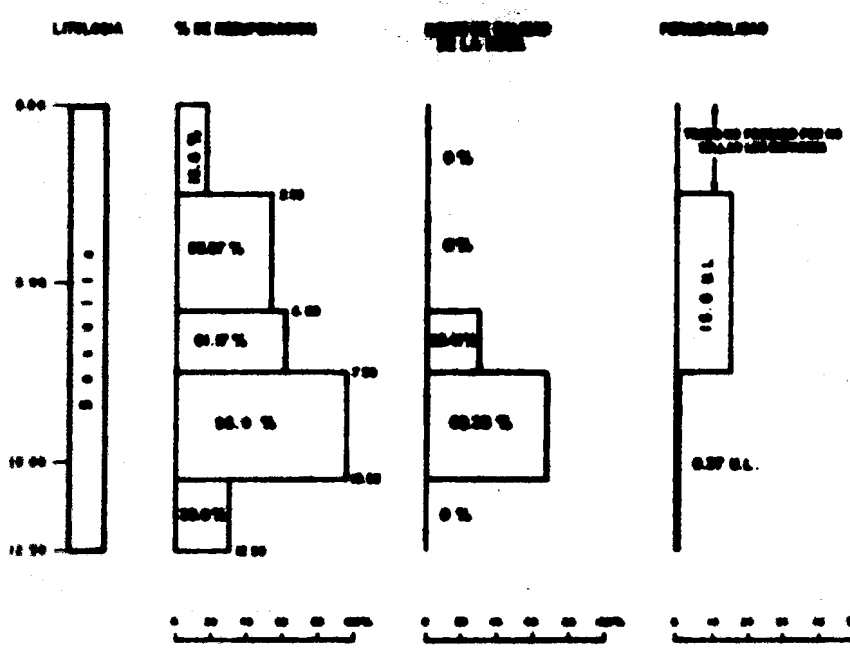
1000' 1000' 1000' 1000'



DESCRIPCIONES:

---	Longitud	20.00 m.
---	Perímetro	71.0%
---	Longitud	20.00 m.
---	Perímetro	69.0%
---	Longitud	20.00 m.
---	Perímetro	69.0%
---	Longitud	20.00 m.
---	Perímetro	69.0%
---	Longitud	20.00 m.
---	Perímetro	69.0%





Length = 0.000  
Radius = 0.000

Length = 0.000  
Radius = 0.000



## XI.- CONCLUSIONES Y RECOMENDACIONES.

- 1.- La zona de estudio tiene un clima semiseco-templado, lo cual indica la necesidad de agua; los terrenos a beneficiarse son de buena calidad para el cultivo debido a la forma que presentan estos y a sus componentes, haciendo notar que en su totalidad son de temporal, por lo que se vio la posibilidad de construir una presa de almacenamiento, lo que es factible desde el punto de visto hidrológico, ya que será alimentada por una de las corrientes más grandes del Estado (río "La Sauceda") y su régimen de escorrimiento se caracteriza por tener definido el período de avenidas, así como el de secas, lo cual se recomienda para aprovechar en la etapa constructiva. Los terrenos comprendidos dentro de la zona de embalse son poco productivos, quedando dentro de esta sólo algunos manzanos.
- 2.- Tanto la boquilla como el vaso están constituidos por ignimbrita sobre la margen izquierda, la cual se encuentra en contacto con un basalto interestratificado con tuba brechoides basáltica sobre el cauce y en la margen

derecha con barrotes de hierro.

- 3.- Sobre la margasita o ignimbrita se presenta muy fracturada, pero poco permeable hasta los 4 m, ya que a partir de esa profundidad las fracturas están selladas por arcilla, por lo que se deberá efectuar la remoción del material superficial hasta la profundidad mencionada, por lo menos en la porción del núcleo impermeable, recomendándose su análisis mecánico en el resto de las trazas de la cortina para dictaminar si se extrae o no.
- 4.- En la zona del cauce se detectó aluvión con un espesor máximo de 8,50 m, al cual le subyace la ignimbrita mencionada anteriormente y basalto, ambos presentan condiciones físicas semejantes, ya que se encuentran fracturados en sus primeros metros y sellados por arcilla a profundidad, presentando permeabilidad localizada hasta un espesor máximo de 5 y 8 m, respectivamente (ver planos). El fracturamiento en general tiende a ser vertical, encontrando durante la perforación fracturas longitudinales hasta de 60 cms, por lo que se deberá programar una pantalla de impermeabilización a partir del contacto aluvión-roca, con profundidades que varían de 20 a 30 m y extraer el aluvión también entre las trazas -- del material impermeable, analizando las porciones restantes para determinar su extracción.  
El basalto en general se encuentra muy fracturado, aunque presenta zonas de menor fracturamiento y debido a -

que está interestratificado con toba brechoide basáltica, se tuvo la necesidad de efectuar una correlación de los datos de fracturamiento y permeabilidad para su interpretación en el perfil geológico, sobre todo si tengamos en cuenta que la longitud de los tramos de las pruebas de permeabilidad no fueron dadas por una selección litológica, sino que se dió una longitud promedio de 5 m a cada tramo, por ser el método utilizado por la Institución. En función de lo anterior, se observó que la lente mayor de toba brechoide es permeable (zona del -- cauce), por lo que el tratamiento de impermeabilización deberá ser intenso en esa porción. También en el basalto encontramos pequeños espejos de falla, ya que se consideran estas rocas de edad Terciaria y durante este período la zona sufrió un fallamiento regional, pero esto no implica problema, debido a que se encuentran dentro de una zona que actualmente es de baja sismicidad.

- 5.- Sobre la margen derecha, el basalto se encuentra muy fracturado y es permeable hasta una profundidad que varía de 18 a 20 m, lo cual deberá solucionarse también con el tratamiento de inyectado de pantalla.
- 6.- Respecto al vertedor, este se ha localizado en la margen derecha, ya que las condiciones topográficas son más atractivas en dicha ladera. En esta zona, se efectuó un programa de exploraciones constituido por un barrido en la estación 0+680 a una profundidad de 12.50 m, además de siete pozos a cielo abierto.  
La información obtenida nos indica un espesor máximo de

45 cm de suelo que cubre la roca basáltica fracturada. En virtud de que superficialmente se detectaron dos fallas con rumbos N 57°E y N 47°E que posiblemente cruzan el eje del vertedor en las estaciones 0+440.50 y - - - 0+650.20, respectivamente, se recomienda excavar inicialmente una trinchera para conocer las condiciones de desplante en dicho sitio. Por otra parte, debido a que el gasto de la avenida será de 550 m<sup>3</sup>/seg y de que el basalto se encuentra fracturado, se recomienda recubrir con una losa de concreto la descarga del vertedor.

B I B L I O G R A F I A .

- D.P. Krynnine W.R. Judd.- Principios de Geología y Geotecnia para Ingenieros.
- Felipe Guerra Peña.- Fotogeología. Universidad Autónoma de - México. 1980.
- V. Beloussov.- Geología Estructural. 1979.
- Donald M. Raga.- Structural Geology. 1973.
- E.W. Heinrich.- Identificación Microscópica de los Minerales. 1965.
- Mapa de Carreteras de la República Mexicana. Escala - - - - 1:1,000,000.- Secretaría de Obras Públicas. 1976.
- Carta Edafológica CANATLAN G13061 Durango. Escala 1:50,000.- Dirección General de Geografía del Territorio Nacional.
- C.S.N.E.G.I. - S.P.P.
- Inventario Forestal Nacional de México.- Informe del estado de Durango.
- Ordóñez Ezequiel.- Principales Provincias Geográficas y Geológicas de la República Mexicana.- Instituto de Geología.- Guía del Explorador Minero.
- Tamayo Jorge L.- Geografía General de México. II Tomo. Geografía-Física. 1949.
- E. López Ramos.- Geología de México. Tomo II. 1980.
- De la Vega E.- Hoja Cuencame B R-1 (7) con Resumen de la Geología de la Parte del estado Durango.- Instituto de Geología UNAM. 1968.
- Alvarez Jr. Manuel.- Geología, Paleogeografía y Tectónica de México.

Whal Jr. D. E.- Geología de la Faja del Salto Durango. México. Boletín Núm. 96 del Instituto de Geología de la UNAM, 1976.

Carta Geológica CHIHUAHUA. Escala 1:1,000,000. Dirección General de Geografía del Territorio Nacional. C.S.N.E.G. I - S.P.P.

Carta Geológica GUAPALAJARA. Escala 1:1,000,000. Dirección General de Geografía del Territorio Nacional C.S.N.E.G. I - S.P.P.

Carta Geológica CANATLAN GI3P62 Durango. Escala 1:50,000. Dirección General de Geografía del Territorio Nacional -- C.S.N.E.G.I. - S.P.P.

Contés O.S. et.al. 1964. Recorrido Geológico Minero de Cuacán, Sinaloa a Tepehuanes, Pgo. Publ.14. E.C.R.N.N.R. Lozano V.M. 1973. Geología de la Región de Tayolita, Pgo. Tesis Profesional. Facultad de Ingeniería de la UNAM.

Pineda R.A. 1972. Contribución al conocimiento geológico de la Sierra Madre Occidental en el estado de Durango. Mem. II. Convención de la Soc. Geol. Mex. Mazatlán, Sinaloa.

Smith D.M. 1972. Comentario sobre la Geología Histórica de la Parte Central de la Sierra Madre Occidental y sobre la nueva Tectónica Global. Mem II. Conv. Nac. Soc. Geol. Mex. Mazatlán, Sinaloa.

Barret T.W. 1972. Geología entre los kilómetros 125 y 152 a lo largo de la carretera Durango-Mazatlán-México. Soc. Geol. Mex. II. Convención Nacional. Mazatlán, Sinaloa.

Córdoba Diego A. 1963. Geología de la región entre Río "Chico" y "Llano Grande". Municipio de Durango, Estado de

Durango. UNAM.- Instituto de Geología.- Boletín Núm. 71.  
Roldan-Quintana Jaime. 1968.- Estudio Geológico de Reconoci-  
miento de la Región de "Peñón Blanco", estado de Duran-  
go. México. Soc. Geol. Bol. 31.